



**Departamento de Engenharia Física**

## **Sumários e Exames de Física 1, 2016**

Jaime E. Villate

Porto, julho de 2016

Copyright © 2016, Jaime E. Villate

E-mail: villate@fe.up.pt

Publicado sob a licença *Creative Commons Atribuição-Partilha* (versão 3.0). Para obter uma cópia desta licença, visite

<http://creativecommons.org/licenses/by-sa/3.0/>

ou envie uma carta para Creative Commons, 559 Nathan Abbott Way, Stanford, California 94305, USA.

# Conteúdo

<b>1</b>	<b>Sumários</b>	<b>1</b>
1.1	Cinemática . . . . .	3
1.2	Cinemática vetorial . . . . .	16
1.3	Movimento curvilíneo . . . . .	24
1.4	Mecânica vetorial . . . . .	32
1.5	Dinâmica dos corpos rígidos . . . . .	39
1.6	Trabalho e energia . . . . .	50
1.7	Sistemas dinâmicos . . . . .	58
1.8	Mecânica lagrangiana . . . . .	68
1.9	Sistemas lineares . . . . .	75
1.10	Sistemas não lineares . . . . .	83
1.11	Ciclos limite e dinâmica populacional . . . . .	91
<b>2</b>	<b>Exames</b>	<b>99</b>
2.1	Exame de época normal . . . . .	99
2.1.1	Enunciado . . . . .	100
2.1.2	Resolução . . . . .	102
2.1.3	Cotações . . . . .	105
2.2	Exame de época de recurso . . . . .	106
2.2.1	Enunciado . . . . .	107
2.2.2	Resolução . . . . .	109
2.2.3	Cotações . . . . .	112
	<b>Bibliografia</b>	<b>115</b>



# Capítulo 1

## Sumários

**Disciplina** Física 1.

**Curso** Mestrado Integrado em Engenharia Informática e Computação. Segundo semestre do primeiro ano.

**Ano académico** 2015–2016, segundo semestre.

**Regente** Jaime E. Villate.

**Docentes** Joana Ascenso, Victor Hugo Granados Fernandez e Jaime E. Villate.

**Número de alunos** 211.

**Método de avaliação** Distribuída (dois testes, 40%) com exame final (60%).

Aula 1. 18-2-2016

## FÍSICA I, MIEIC. 2015/2016

página Web: <http://def.fe.up.pt/eic0010>

**Programa.**

- Mecânica vetorial.
- Mecânica lagrangiana.
- Sistemas dinâmicos.

### Metodologia.

Usa-se software de Álgebra Computacional (CAS, em inglês, Computer Algebra System).

Maxima → <http://maxima.sourceforge.net>

### Importância.

- Bases para software de simulação (computer graphics, jogos).
- Visualização gráfica de dados.
- Desenvolvimento da capacidade de analisar sistemas e criar modelos matemáticos

### Avaliação.

2 testes (13 de abril e 1 de junho)	40%
exame final	60%

### Bibliografia.

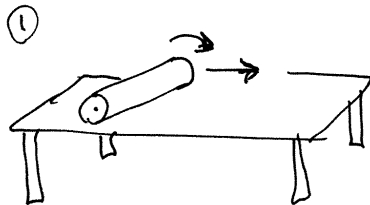
J. Villate (2016). Dinâmica e Sistemas Dinâmicos.  
(<http://def.fe.up.pt/dinamica>)

## Capítulo 1. Cinemática.

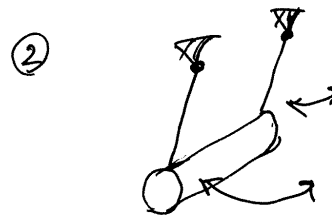
Movimento. Mudança de posição de um objeto.  
É um conceito relativo, porque a posição é diferente para diferentes observadores.

### TIPOS DE MOVIMENTOS.

Dois exemplos:

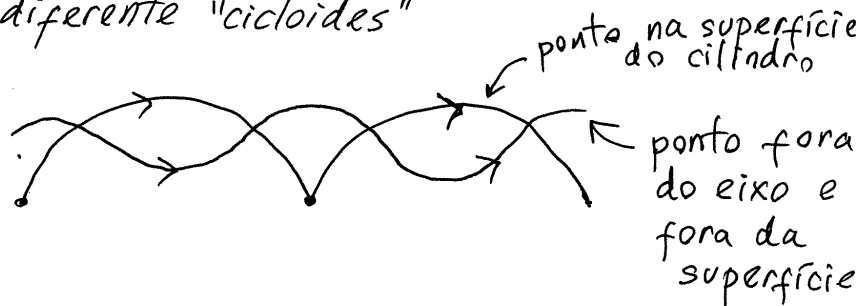


cilindro a rodar  
sobre uma mesa



O mesmo cilindro, pen-  
durado de dois fios,  
em movimento pendular

No primeiro caso, a trajetória de diferentes pontos no cilindro é diferente. O centro (pon-  
tos no eixo do cilindro) segue uma trajetória  
retilínea, mas os outros pontos têm trajetórias  
com diferente "cicloides"

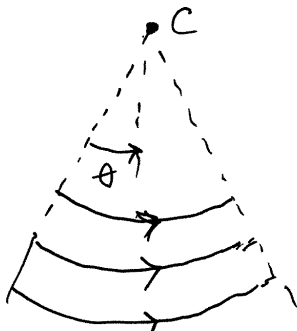


- No entanto, todas as trajetórias podem ser obtidas pela sobreposição de dois movimentos mais simples: o movimento retilíneo do centro + movimento circular uniforme em torno do eixo



- Diz-se então que o movimento tem DOIS GRAUS DE LIBERDADE, porque basta conhecer como variam duas variáveis no tempo ( $x$  e  $\theta$ ) para descrever o movimento de qualquer ponto no cilindro.  
 $x =$  ~~data~~ posição do centro.  
 $\theta =$  ângulo que o cilindro roda.

- O segundo movimento é ainda mais simples, porque a trajetória de todos os pontos no cilindro é um arco de círculo (com diferentes raios) todos com o mesmo centro.



- trajetórias de  $\geq$  pontos

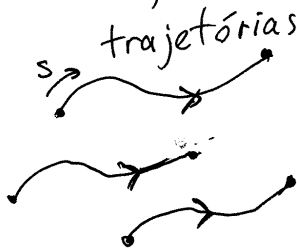
Este movimento tem um único grau de liberdade, porque basta saber como varia o ângulo  $\theta$  em função do tempo para conhecer a trajetória de todos os pontos no cilindro.



## SISTEMAS COM 1 GRAU DE LIBERDADE

$s(t) \rightarrow$  posição de um ponto qualquer no objeto, em função do tempo.

É igual para todos os pontos, porque num objeto com um único grau de liberdade, as trajetórias de todos os pontos é a mesma curva (repetida em diferentes partes)



$s$  pode ser o comprimento de arco, medido ao longo da trajetória, ou um ângulo.

DESLOCAMENTO. Diferença entre as posições em dois instantes diferentes.

$$\Delta s = s(t_2) - s(t_1) \quad \left( \begin{array}{l} \text{admite-se, por conveniência,} \\ \text{que } t_2 > t_1 \end{array} \right)$$

A posição depende do ponto  $s=0$  que seja escolhido como origem, mas o deslocamento não depende dessa escolha.

VELOCIDADE MÉDIA

$$\bar{v} = \frac{\Delta s}{\Delta t} = \frac{s(t_2) - s(t_1)}{t_2 - t_1}$$

como  $\Delta s$  pode ser negativo ( $\Delta t$  não porque  $t_2 > t_1$ ) então  $\bar{v}$  pode ser negativa.

$$|\bar{v}| = \text{RAPIDEZ}$$

Aula 2. 19-2-2016

## MAXIMA

Instalação: obter o pacote em  
<http://maxima.sourceforge.net/download.html>  
 ou (Ubuntu, Debian, Mint) o pacote DEB na página  
 Web de Física I ([def.fe.up.pt/eic0010](http://def.fe.up.pt/eic0010))

Interfaces incluídas: rmaxima (terminal), xmaxima  
 Emacs → maxima, imaxima

É também necessário instalar alguns pacotes  
 externos:

- gnuplot (para os gráficos)
- rlwrap (se usar rmaxima)
- emacs (se quiser usar maxima ou  
 imaxima dentro de Emacs)
- LaTeX (pacote livetex ou miktex, etc.)  
 para poder usar imaxima)

A interface gráfica Wxmaxima é um projeto  
 independente de Maxima e pode ser obtida na  
 página desse projeto.

Exemplos.

(%i1) eq:  $x^3 - 13 \cdot x^2 / 6 - 5 \cdot x / 3 + 4 = 0$  ;  
 associa a equação  $x^3 - \frac{13}{6}x^2 - \frac{5}{3}x + 4 = 0$   
 ao símbolo eq

(%i2) solve(eq);

resolve a equação associada a eq, dando 3 respostas numa lista:

(%o2)  $[x=2, x=\frac{3}{2}, x=-\frac{4}{3}]$

Para seleccionar a segunda resposta:

(%i3) %o2[2]; (a numeração na lista começa em 1)

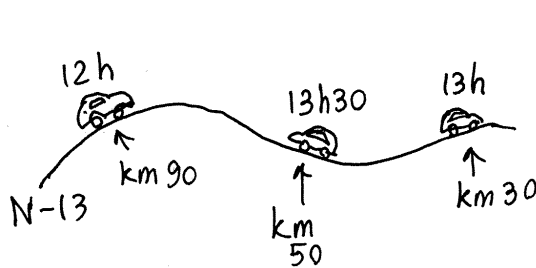
(%o3)  $x=3/2$

Ou apenas o valor numérico:

(%i4) rhs(%o2[2]); (rhs quer dizer "right hand side" = lado direito numa equação)

Aula 3.25-2-2016

Exemplo de movimento com um grau de liberdade:  
Automóvel numa estrada.



$$\begin{aligned} t_0 &= 12h, \quad s_0 = 90 \text{ km} \\ t_1 &= 13h, \quad s_1 = 30 \text{ km} \\ t_2 &= 13.5h, \quad s_2 = 50 \text{ km} \end{aligned}$$

velocidades médias:

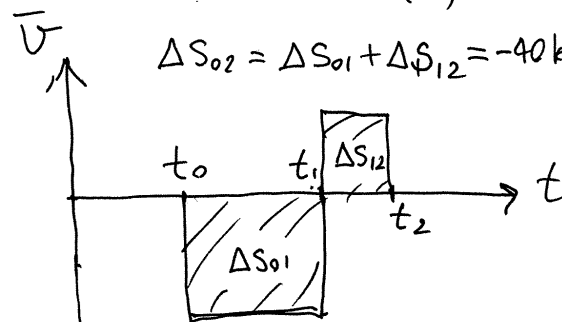
$\bar{U}_{01} < 0$  indica movimento  
no sentido oposto ao que  
é definido como positivo.

$$\bar{U}_{01} = \frac{30 - 90}{13 - 12} = -60 \frac{\text{km}}{\text{h}}$$

$\bar{U}_{12} > 0 \Rightarrow$  sentido positivo.

$$\bar{U}_{12} = \frac{50 - 30}{13.5 - 13} = 40 \frac{\text{km}}{\text{h}}$$

$$\Delta S_{01} = \bar{U}_{01} \Delta t_{01} = -60 \frac{\text{km}}{\text{h}} \cdot 1 \text{ h} = -60 \text{ km}, \quad \Delta S_{12} = \bar{U}_{12} \Delta t_{12} = 40 \text{ km}$$

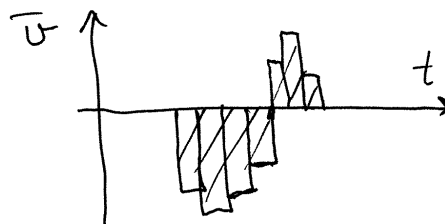


$$\Delta S_{02} = \Delta S_{01} + \Delta S_{12} = -20 \text{ km}$$

$\Delta S$  é a área  
entre a velocidade  
e o eixo das  
abscissas.

$U$  deve ser uma  
função contínua,  
mas apenas consegui-  
mos medir  $\bar{U}$

com maior precisão seria:



$$\Delta S = \sum_{i=1}^n U_i \Delta t_i$$

## ● VELOCIDADE INSTANTÂNEA

$v(t)$  = função contínua que depende de  $t$ .

$$\Delta S = \lim_{\{\Delta t_i\} \rightarrow 0} \sum_{i=1}^n v_i \Delta t_i \Rightarrow \boxed{S_f - S_0 = \int_{t_0}^{t_f} v \, dt} \quad (1)$$

integral de  $v(t)$   
em ordem a  $t$ .

$$v(t) = \lim_{\Delta t \rightarrow 0} \frac{S(t+\Delta t) - S(t)}{\Delta t} \Rightarrow \boxed{v = \frac{ds}{dt} = \dot{s}} \quad (2)$$

derivada de  $S(t)$   
em ordem a  $t$ .

As equações (1) e (2) são equivalentes. A partir de (2) pode multiplicar-se os dois lados por  $dt$  e integrar-se desde a condição inicial até a condição final:

$$\int_{t_0}^{t_f} v \, dt = \int_{S_0}^{S_f} ds \Rightarrow S_f - S_0 = \int_{t_0}^{t_f} v \, dt$$

## ● ACELERAÇÃO TANGENCIAL

$$\bar{a}_t = \frac{\Delta v}{\Delta t} = \frac{v_f - v_0}{t_f - t_0} \quad \left( \begin{array}{l} \text{aceleração tangencial} \\ \text{média.} \end{array} \right)$$

aceleração tangencial instantânea:

$$\boxed{a_t = \frac{dv}{dt} = \dot{v}} \quad (\text{não tem de ser contínua!})$$

chama-se "tangencial" porque, como veremos, é apenas uma parte da aceleração total

$$\Rightarrow dv = a_t dt \Rightarrow \int_{v_0}^{v_f} dv = \int_{t_0}^{t_f} a_t dt$$

$$\boxed{v_f - v_0 = \int_{t_0}^{t_f} a_t dt}$$

**Exemplo.** Um ciclista com velocidade inicial de 5 m/s aplica os travões, fazendo com que a velocidade diminua de acordo com a função:

$v = \frac{1}{2} \sqrt{100 - s^2}$  (SI), onde  $s$  é a posição, medida desde o ponto onde começa a travagem. Determine:

- (a) a aceleração tangencial em função da posição
- (b) o tempo que demora até parar completamente.

Resolução.  $a_t = \frac{dv}{dt} = \frac{dv}{ds} \frac{ds}{dt} = \frac{dv}{ds} v$

$$\Rightarrow a_t = \left( \frac{1}{4} (100 - s^2)^{-1/2} (-2s) \right) \left( \frac{1}{2} (100 - s^2)^{1/2} \right) = -\frac{s}{4}$$

(negativa porque está a diminuir).

$$\textcircled{b} \quad v = \frac{ds}{dt} \Rightarrow \frac{1}{2} \sqrt{100 - s^2} = \frac{ds}{dt}$$

$$\Rightarrow \frac{1}{2} dt = \frac{ds}{\sqrt{100 - s^2}} \quad \left( \begin{array}{l} \text{agrupa-se todo o} \\ \text{que depende de } s \\ \text{num lado da equação} \end{array} \right)$$

Integrar desde  $t=0$  até  $t_f$ , onde pára:

$$\frac{1}{2} \int_0^{t_f} ds = \int_0^{s_f} \frac{ds}{\sqrt{100-s^2}} \quad s_f = \text{posição onde pára.}$$

Esta equação tem duas incógnitas,  $t_f$  e  $s_f$ . É necessária outra relação entre  $t_f$  e  $s_f$  que vem do facto que  $v_f = 0$  quando  $t = t_f$  e  $s = s_f$ :

$$\Rightarrow \frac{1}{2} \sqrt{100-s_f^2} = 0$$

### Resolução no Maxima

```
(%i1) v: sqrt(100-s^2)/2$
```

```
(%i2) solve(v=0,s); (neste caso, bastava solve(v,
```

```
(%o2) [s=-10, s=10]
```

Apenas interessa aqui a solução com  $s > 0$

```
(%i3) sf: subst(%[2], s);
```

(%[2] → segunda parte da lista obtida no comando anterior)

```
(%o3) 10
```

```
(%i4) tf: integrate(1/v, s, 0, tf);
```

```
(%o4) %pi (π)
```

```
(%i5) float(tf);
```

```
(%o5) 3.141592653589793
```

A alínea (a) resolvia-se no Maxima assim:

```
(%i6) gradef(s,t,v);
```

(define derivada de s, em ordem a t, igual à expressão v)

```
(%o6) s
```

```
(%i7) at: diff(v,t);
```

```
(%o7) -s/4
```

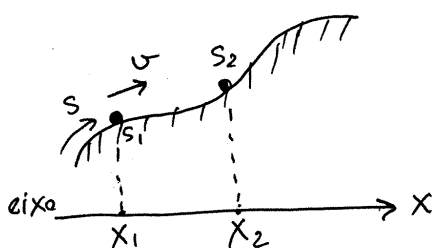
Aula 4 . 26-2-2016

## EQUAÇÕES CINEMÁTICAS

$$v = \dot{s} \quad a_t = \dot{v} \quad a_t = v \frac{dv}{ds}$$

Em cada uma estão incluídas 3 das quatro variáveis  $t, s, v$  e  $a_t$ . Para poder resolver uma destas equações é necessário ter uma relação para uma das 3 variáveis em função das outras duas, para ficar com uma equação com duas variáveis.

## PROJEÇÃO DO MOVIMENTO NUM EIXO



$$s(t) \rightarrow x(t) \text{ (projeção no eixo } x \text{)}$$

$$v_x = \dot{x} \text{ (projeção da velocidade no eixo } x \text{)}$$

$$a_x = \dot{v}_x$$

As 3 equações cinemáticas para a projeção do movimento são semelhantes às do movimento na trajetória:

$$v_x = \dot{x} \quad a_x = \dot{v}_x \quad a_x = v_x \frac{da_x}{dx}$$

Também pode projetar-se num eixo vertical:  $y(t)$

$$v_y = \dot{y} \quad a_y = \dot{v}_y \quad a_y = v_y \frac{da_y}{dy}$$

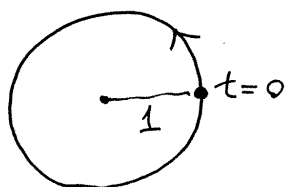
Neste caso, há uma relação entre  $x(t)$  e  $y(t)$  porque o movimento tem um único grau de liberdade.



- Em alguns casos, a projeção do movimento pode resultar mais complicada do que o movimento original.

Exemplo. Movimento circular uniforme, num círculo de raio  $r=1$ , com velocidade constante  $v=1$

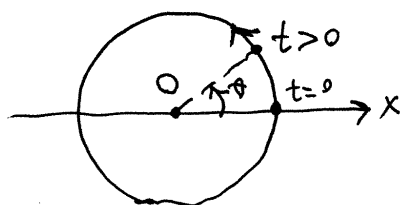
$s$  = comprimento de arco medido desde o ponto onde se encontra em  $t=0$ .



$$v = 1 = \frac{ds}{dt}$$

$$\Rightarrow \int_0^s ds = \int_0^t dt$$

$$\Rightarrow s = t \quad a_t = \frac{dv}{dt} = 0$$

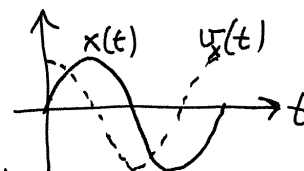


projeção do movimento em  $x$ :

$$x = 1 \cos \theta = \cos(s) = \cos(t)$$

$$v_x = -\sin(t)$$

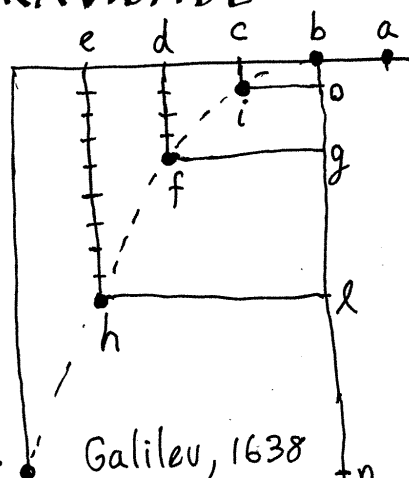
$$a_x = -\cos(t)$$



$x(t) \rightarrow$  movimento harmônico simples.

## ACELERAÇÃO DA GRAVIDADE

Um objeto lançado no ar na horizontal, segue uma trajetória plana que pode ser decomposta nas projeções horizontal e vertical



Galileu descobriu que, se a trajetória for curta, a resistência do ar é desprezável e o movimento na projeção horizontal é com velocidade constante; na figura,  $\overline{ab}$ ,  $\overline{bc}$ ,  $\overline{cd}$ ,  $\overline{de}$  são os deslocamentos horizontais em intervalos de tempo iguais

$$\overline{ab} = \overline{bc} = \overline{cd} = \overline{de} \Rightarrow v_x = \text{constante}$$

$$\Rightarrow dx = v_x dt \quad \int_0^x dx = v_x \int_0^t dt$$

$$\boxed{x = v_x t} \quad (\text{se } x=0 \text{ em } t=0) \quad a_x = 0$$

(movimento uniforme)

Na projeção vertical, Galileu observou que os deslocamentos  $\overline{bo}$ ,  $\overline{og}$ ,  $\overline{gl}$ ,  $\overline{ln}$  estão na proporção  $1, 3, 5, 7, \dots$

ou seja, a coordenada  $y$  é proporcional a  $t^2$

$$\{\overline{bo}, \overline{df}, \overline{eh}, \dots\} \rightarrow \{1, 4, 9, \dots\}$$

$$y = -\frac{g}{2} t^2 \quad (\text{onde } g \text{ é uma constante positiva})$$

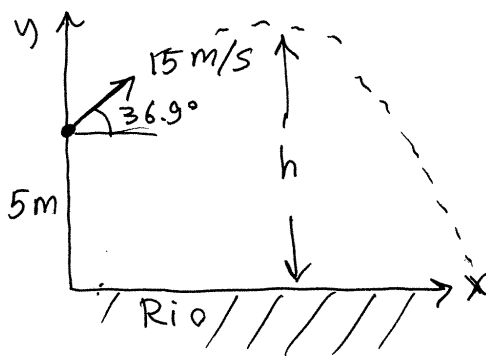
( $y=0$ , em  $t=0$ )

$$\boxed{v_y = -gt} \quad \boxed{a_y = -g} \quad (\text{movimento uniformemente acelerado.})$$

O valor observado para a **aceleração da gravidade**  $g$  é aproximadamente:

$$g \approx 9.8 \frac{\text{m}}{\text{s}^2} \quad (\text{igual para todos os objetos, independentemente da peso})$$

- **Exemplo.** Atira-se uma pedra desde uma ponte a 5m por cima de um rio, com velocidade de 15 m/s, em direção inclinada  $36.9^\circ$  por cima da horizontal. Determine a velocidade com que a pedra entrará na água e a altura máxima na sua trajetória, medida desde a superfície do rio (admita que a resistência do ar pode ser desprezada).



Posição inicial:

$$x_0 = 0, y_0 = 5 \text{ m}$$

Velocidade inicial:

$$v_{0x} = 15 \cos 36.9^\circ \approx 12 \frac{\text{m}}{\text{s}}$$

$$v_{0y} = 15 \sin 36.9^\circ \approx 9 \frac{\text{m}}{\text{s}}$$

Aceleração em qualquer instante ou posição:

$$a_x = 0, a_y = -9.8 \text{ (SI)}$$

- Quando entra na água,  $v_x = 12$  (constante) e  $v_y$  calcula-se a partir de:

$$-9.8 = v_y \frac{dv_y}{dy} \Rightarrow -9.8 \int_5^0 dy = \int_9^{v_{fy}} dv_y$$

$$\Rightarrow v_{fy} = -13.38 \quad v_f = \sqrt{v_{fx}^2 + v_{fy}^2} \approx 18.0 \frac{\text{m}}{\text{s}}$$

No ponto de altura máxima,  $y = h$  e  $v_y = 0$

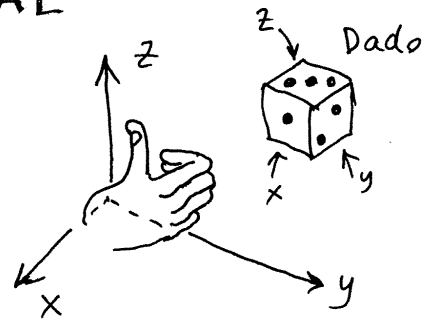
$$\Rightarrow -9.8 \int_5^h dy = \int_9^0 dv_y \Rightarrow 9.8(5-h) = -\frac{81}{2}$$

$$\Rightarrow h = 9.13 \text{ m}$$

Aula 5. 3-3-2016

## CINEMÁTICA VECTORIAL

Em três dimensões, as coordenadas cartesianas definem-se de forma que quando os dedos da mão direita rodam do eixo  $x$  para o eixo  $y$ ,

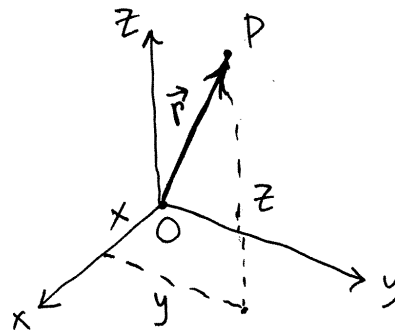


o polegar aponta no sentido do eixo  $z$ .

Em vez de resolver as equações cinemáticas das projeções  $x$ ,  $y$  e  $z$  por separado, é conveniente combinar as 3 projeções num vetor.

### Vetor posição

Cada posição no espaço (ponto  $P$ ). Representa-se por um vetor que vai desde  $O$  até  $P$ :



$\vec{r}$  = vetor posição

Os versores (vetores unitários)  $\hat{i}$ ,  $\hat{j}$  e  $\hat{k}$  apontam na direção positiva dos eixos  $x$ ,  $y$  e  $z$ .

$$\Rightarrow \boxed{\vec{r} = x\hat{i} + y\hat{j} + z\hat{k}}$$

O deslocamento de um ponto, num intervalo  $[t_1, t_2]$

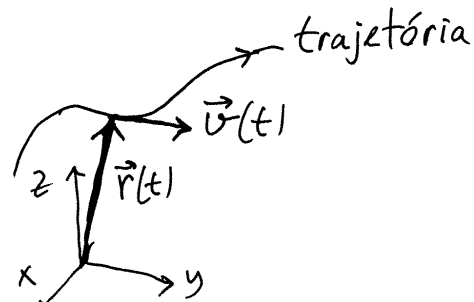
$$\Delta \vec{r} = \vec{r}(t_2) - \vec{r}(t_1) = \Delta x\hat{i} + \Delta y\hat{j} + \Delta z\hat{k}$$

- Observe-se que  $\vec{r}$  depende da posição da origem, mas  $\Delta \vec{r}$  não.

### Vetor velocidade

A cada instante  $t$ , o vetor velocidade é:

$$\vec{v} = \lim_{\Delta t \rightarrow 0} \frac{\vec{r}(t+\Delta t) - \vec{r}(t)}{\Delta t}$$



- $\Rightarrow \boxed{\vec{v} = \frac{d\vec{r}}{dt} = \dot{x}\hat{i} + \dot{y}\hat{j} + \dot{z}\hat{k}}$   $\vec{v}$  é tangente à trajetória.

### Vetor aceleração

$$\vec{a} = \lim_{\Delta t \rightarrow 0} \frac{\vec{v}(t+\Delta t) - \vec{v}(t)}{\Delta t}$$

$$\boxed{\vec{a} = \frac{d\vec{v}}{dt} = \ddot{x}\hat{i} + \ddot{y}\hat{j} + \ddot{z}\hat{k} = \ddot{x}\hat{i} + \ddot{y}\hat{j} + \ddot{z}\hat{k}}$$

- o módulo da velocidade é:

$$|\vec{v}| = \left| \frac{d\vec{r}}{dt} \right| = \left| \frac{ds}{dt} \right| = |\dot{s}| \Rightarrow |\vec{v}| = |\dot{s}|$$

mas o módulo da aceleração,  $|\vec{a}|$  não é igual ao valor absoluto de  $a_t$ .

As 3 equações  $a_x = v_x \frac{dv_x}{dx}$ ,  $a_y = v_y \frac{dv_y}{dy}$ ,  $a_z = v_z \frac{dv_z}{dz}$

também podem combinar-se numa única equação vetorial,  $\vec{a} \cdot d\vec{r} = \vec{v} \cdot d\vec{v}$ , mas isso fica para

- o capítulo 6. Neste capítulo, quando seja necessário essas equações serão resolvidas por separado.

As expressões para  $\vec{v}$  e  $\vec{a}$  são equivalentes a:

$$\int_{t_1}^{t_2} \vec{v} dt = \int_{\vec{r}_1}^{\vec{r}_2} d\vec{r} \Rightarrow \boxed{\vec{r}_2 = \vec{r}_1 + \int_{t_1}^{t_2} \vec{v} dt}$$

$$\int_{t_1}^{t_2} \vec{a} dt = \int_{\vec{v}_1}^{\vec{v}_2} d\vec{v} \Rightarrow \boxed{\vec{v}_2 = \vec{v}_1 + \int_{t_1}^{t_2} \vec{a} dt}$$

Os integrais podem ser calculados quando se conhece a expressão para  $\vec{v}$  (ou  $\vec{a}$ ) em função de  $t$ .

### Exemplo 2.1.

A expressão da velocidade de uma partícula, em função do tempo  $t$ , é:

$$\vec{v} = (5 - t^2 e^{-t/5}) \hat{i} + (3 - e^{-t/12}) \hat{j} \quad (\text{SI})$$

a partícula passa pela posição  $(2\hat{i} + 5\hat{j})$  em  $t=0$ .

Determine  $\vec{r}$ ,  $\vec{v}$  e  $\vec{a}$  em  $t=15\text{s}$ , e quando  $t$  for muito elevado. Trace o gráfico da trajetória durante os primeiros 60 segundos.

No Maxima, os vetores podem ser representados por listas. Neste caso, listas com dois elementos, em que o primeiro é a componente  $x$  e o segundo a componente  $y$ .

(%i1) v: [5-t^2\*exp(-t/5), 3-exp(-t/12)];

(%i2) a: diff(v,t);

(%o2)  $\left[ \frac{t^2 e^{-t/5}}{5} - 2t e^{-t/5}, \frac{e^{-t/12}}{12} \right]$

- O vetor posição,  $\vec{r}(t)$ , obtém-se integrando  $\vec{v}(t)$ .  
 (%i3) assume(t>0) \$ (integrate precisará saber se t é positivo ou negativo)

(%i4) r: [2,5] + integrate(v, t, 0, t);

(%o4) [%e<sup>-t/5</sup>((5t-250)%e<sup>t/5</sup> + 5t<sup>2</sup> ...

O comando expand reduz isto numa forma mais simples:

- (%i5) r: expand(r);

(%o5) [5t<sup>2</sup> %e<sup>-t/5</sup> + 50t %e<sup>-t/5</sup> + 250 %e<sup>-t/5</sup> + 5t - 248,  
 12 %e<sup>-t/12</sup> + 3t - 7]

Em t=15,

(%i6) float(subst(t=15, [r, v, a]));

(%o6) [[-67.202..., 41.43...], [-6.20..., 2.71...], [0.74..., 0.023...]]

$\vec{r} = -67.2\hat{i} + 41.4\hat{j}$ ,  $\vec{v} = -6.20\hat{i} + 2.71\hat{j}$ ,  $\vec{a} = 0.75\hat{i} + 0.024\hat{j}$

- Quando t for muito elevado (infinito),

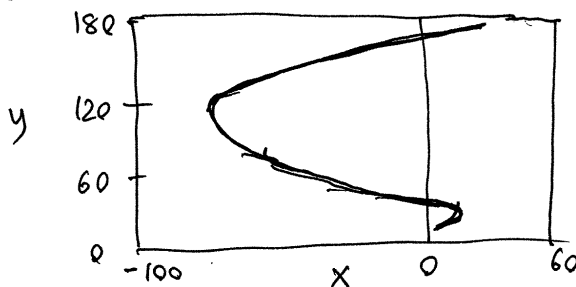
(%o7) limit([r, v, a], t, inf);

(%o7) [[inf, inf], [5, 3], [0, 0]]

$\left( \begin{array}{l} \vec{r} \rightarrow \text{infinito} \\ \vec{v} \rightarrow 5\hat{i} + 3\hat{j}, \vec{a} \rightarrow 0 \end{array} \right)$

Gráfico da trajetória:

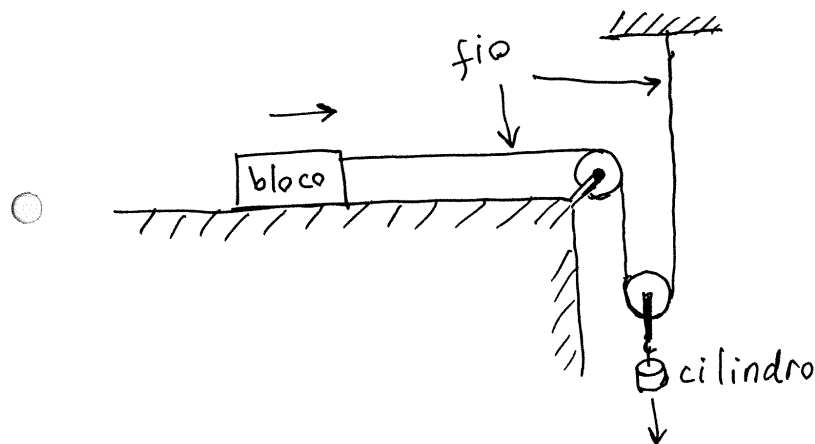
(%i8) plot2d([parametric, r[1], r[2]], [t, 0, 60], [xlabel, "x",  
 [ylabel, "y"]];





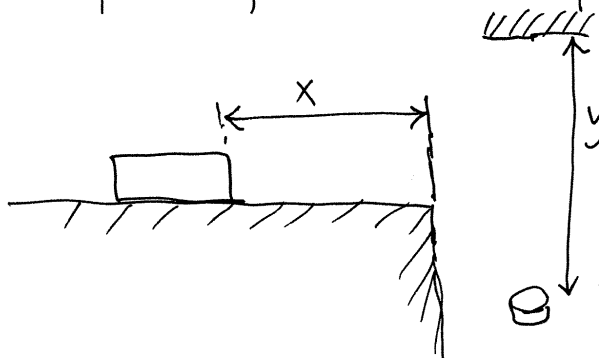
## MOVIMENTOS DEPENDENTES

Exemplo. Sistema com um bloco sobre uma mesa e um cilindro a descer na vertical.



O movimento horizontal do bloco e o movimento vertical do cilindro estão relacionados.

Para descrever esses dois movimentos são necessárias duas variáveis  $x$  e  $y$ , medidas desde dois pontos fixos. Por exemplo:



$x$  = distância desde o bloco até o fim da mesa

$y$  = distância desde o cilindro até o suporte do fio.

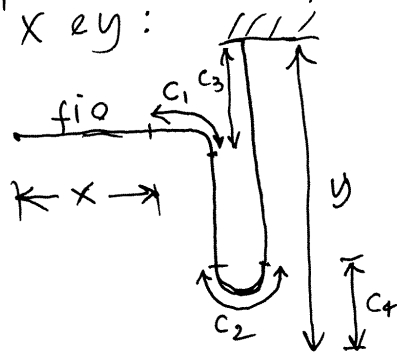


As velocidades do bloco e do cilindro são então  $\dot{x}$  e  $\dot{y}$



Mas como as variáveis  $x$  e  $y$  estão relacionadas, este sistema tem apenas um grau de liberdade e basta saber uma das velocidades para determinar a outra.

A relação entre  $x$  e  $y$  encontra-se escrevendo a expressão do comprimento do fio,  $L$ , em função de  $x$  e  $y$ :



$$L = x + c_1 + (y - c_3 - c_4) + c_2 + (y - c_4)$$

$$L = x + 2y + c_1 + c_2 - c_3 - 2c_4$$

Como  $L, c_1, c_2, c_3$  e  $c_4$  permanecem constantes, derivando em ordem ao tempo obtêm-se:

$$\dot{x} + 2\dot{y} = 0 \Rightarrow \boxed{v_{\text{bloco}} = -2v_{\text{cilindro}}}$$

o sinal negativo indica que se o cilindro desce ( $v_{\text{cilindro}} > 0$ ), o bloco desloca-se para a direita ( $v_{\text{bloco}} < 0$ )

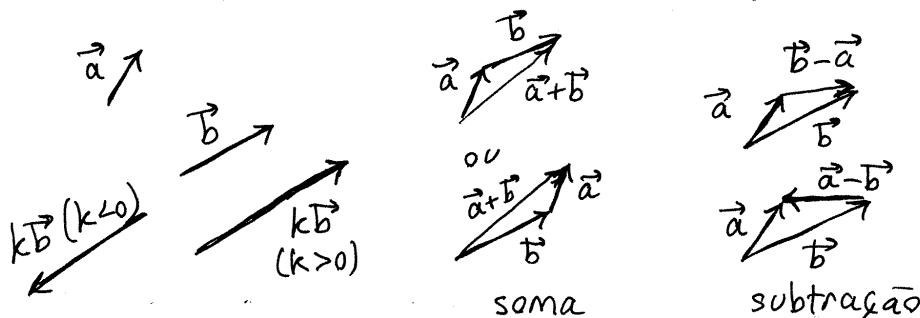
Derivando novamente,

$$\ddot{x} = -2\ddot{y}$$

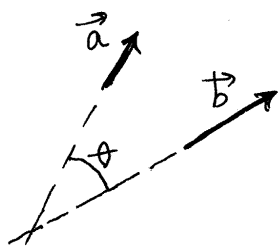
$$a_{t \text{ bloco}} = -2a_{t \text{ cilindro}} \quad \left( \text{nenhuma das duas acelerações é igual a } g. \right)$$

Aula 6. 4-3-2016

## ● OPERAÇÕES ENTRE VETORES



### ● produto escalar



$$\vec{a} \cdot \vec{b} = |\vec{a}| |\vec{b}| \cos \theta$$

= escalar (número igual em qualquer referencial)

$|\vec{a}| \cos \theta$  = projeção de  $\vec{a}$  na direção de  $\vec{b}$

$|\vec{b}| \cos \theta$  = projeção de  $\vec{b}$  na direção de  $\vec{a}$

o produto escalar é a projeção de um dos vetores na direção do outro, vezes o módulo desse outro vetor.

É um produto comutativo, associativo e distributivo em relação à soma.

$$\hat{i} \cdot \hat{j} = \hat{i} \cdot \hat{k} = \hat{j} \cdot \hat{k} = 0 \quad (\text{porque } \cos 90^\circ = 0)$$

$$\hat{i} \cdot \hat{i} = \hat{j} \cdot \hat{j} = \hat{k} \cdot \hat{k} = 1 \quad (\text{porque } \cos 0 = 1 \text{ e } |\hat{i}| = |\hat{j}| = |\hat{k}| = 1)$$

$$\vec{a} \cdot \vec{b} = (a_x \hat{i} + a_y \hat{j} + a_z \hat{k}) \cdot (b_x \hat{i} + b_y \hat{j} + b_z \hat{k}) = a_x b_x + a_y b_y + a_z b_z$$

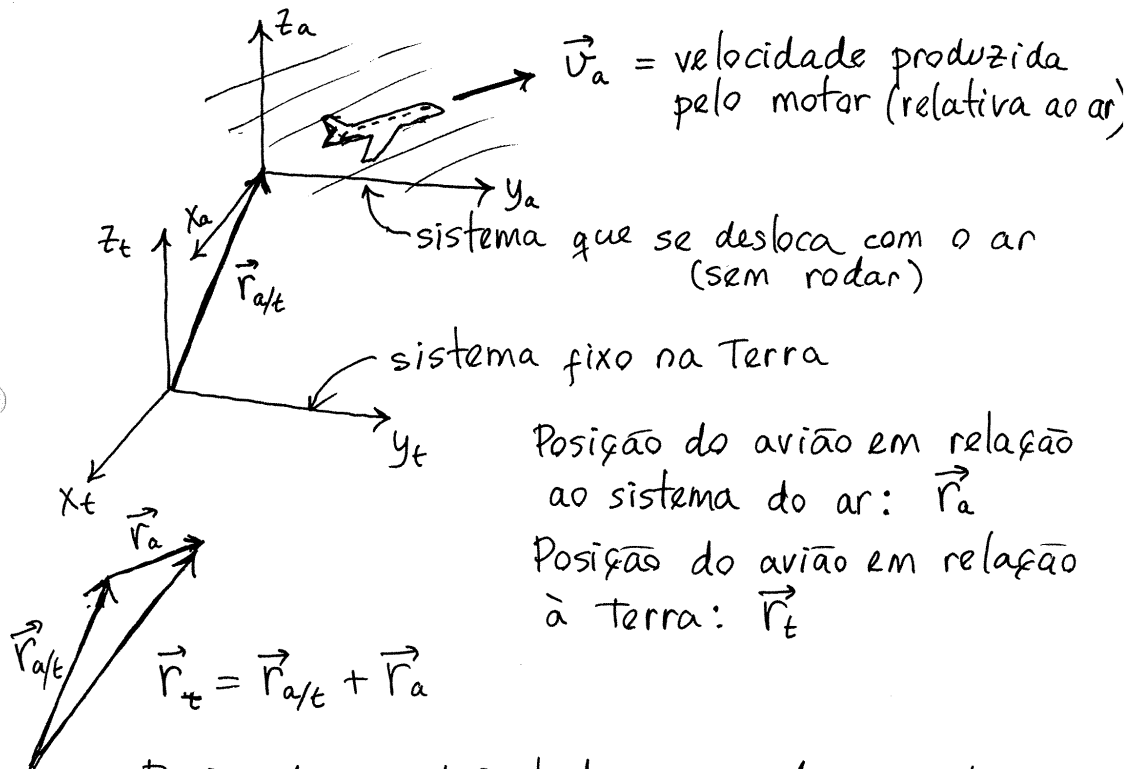
$$|\vec{a}| = \sqrt{\vec{a} \cdot \vec{a}} = \sqrt{a_x^2 + a_y^2 + a_z^2}$$

ângulo entre os vetores  $\vec{a}$  e  $\vec{b}$

$$\theta = \cos^{-1} \left( \frac{a_x b_x + a_y b_y + a_z b_z}{\sqrt{(a_x^2 + a_y^2 + a_z^2)(b_x^2 + b_y^2 + b_z^2)}} \right)$$

No Maxima usa-se um ponto para o produto escalar entre duas listas, e  $\text{acos}()$  para o cosseno inverso.

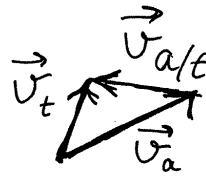
## MOVIMENTO RELATIVO



Derivando os dois lados, em ordem ao tempo,

$$\boxed{\vec{v}_t = \vec{v}_a + \vec{v}_{a/t}}$$

↑                      ↑                      ↑  
 vel. do avião relativa à Terra    vel. do avião relativa ao ar    velocidade do ar, relativa à Terra



Derivando novamente,

$$\boxed{\vec{a}_t = \vec{a}_a + \vec{a}_{a/t}}$$

Exemplo: se o avião está em queda livre,

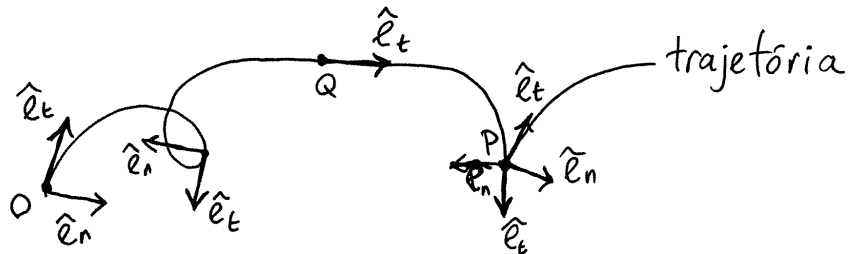
$$\vec{a}_{\text{avião/terra}} = \vec{g}$$

e a aceleração de um

passageiro em relação à Terra é também  $\vec{a}_t = \vec{g}$   
 $\Rightarrow \vec{a}_a = 0$  (o passageiro flutua, sem peso, no avião)

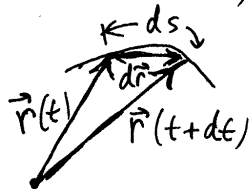
Aula 7. 10-3-2016

## MOVIMENTO CURVILÍNEO



Em cada ponto da trajetória, definem-se o versor tangencial,  $\hat{e}_t$ , tangente à trajetória e no sentido positivo de  $S$ , e o versor normal,  $\hat{e}_n$ , perpendicular a  $\hat{e}_t$ , no plano da trajetória (nesse ponto) e no sentido em que a trajetória se curva.

Em Q,  $\hat{e}_n$  está indefinido (trajetória reta) e em P há dois versores  $\hat{e}_t$  e dois versores  $\hat{e}_n$  e  $\vec{e}$ , necessariamente, nula.



$$d\vec{r} = \vec{r}(t+dt) - \vec{r}(t) = ds \hat{e}_t$$

$$\Rightarrow \boxed{\vec{v} = \frac{d\vec{r}}{dt} = \dot{s} \hat{e}_t} \quad \vec{v} = v \hat{e}_t$$

$$\vec{a} = \frac{d\vec{v}}{dt} = \dot{v} \hat{e}_t + v \frac{d\hat{e}_t}{dt} \quad (\text{porque } \hat{e}_t \text{ depende de } t)$$

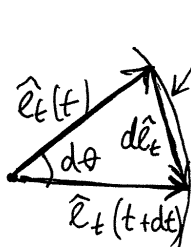
$$\hat{e}_t \cdot \hat{e}_t = 1 \Rightarrow \hat{e}_t \cdot \frac{d\hat{e}_t}{dt} + \frac{d\hat{e}_t}{dt} \cdot \hat{e}_t = 2 \hat{e}_t \cdot \frac{d\hat{e}_t}{dt} = 0$$

$\Rightarrow \frac{d\hat{e}_t}{dt}$  é perpendicular a  $\hat{e}_t$



$$d\hat{e}_t = \hat{e}_t(t+dt) - \hat{e}_t(t)$$

para subtrair os dois versores, colocam-se no mesmo ponto:

- 

$\hat{e}_t$  roda um ângulo  $d\theta$ , descrevendo um arco de comprimento  $= r d\theta = d\theta$

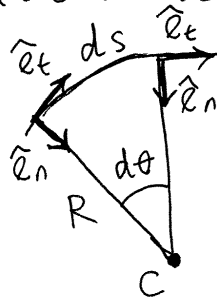
$$d\hat{e}_t = d\theta \hat{e}_n \Rightarrow \frac{d\hat{e}_t}{dt} = \dot{\theta} \hat{e}_n$$

$$\dot{\theta} = \text{velocidade angular}$$

$$\vec{a} = \dot{v} \hat{e}_t + v \dot{\theta} \hat{e}_n = a_t \hat{e}_t + a_n \hat{e}_n$$

↑ aceleração tangencial
 ↑ aceleração normal

- Para determinar a velocidade angular, observa-se que  $d\theta$  é também o ângulo que  $\hat{e}_n$  roda:



$C$  = centro de curvatura local (pode ser diferente a cada instante).

$R$  = raio de curvatura

$ds$  = deslocamento na trajetória  
= arco com raio  $R$  e ângulo  $d\theta$

$$\Rightarrow ds = R d\theta \Rightarrow d\theta = \frac{ds}{R}$$

- $$\dot{\theta} = \frac{\dot{s}}{R} = \frac{v}{R} \Rightarrow a_n = \frac{v^2}{R}$$

aceleração normal, ou centrípeta.

Como  $\hat{e}_t$  é perpendicular a  $\hat{e}_n$ , então

$$|\vec{a}| = \sqrt{a_t^2 + a_n^2}$$

**Exemplo.** A posição de uma partícula, em função do tempo  $t$ , é:  $\vec{r} = 5t\hat{i} + \frac{3}{2}t^2\hat{j} + 2(1-t^2)\hat{k}$  (SI)

em  $0 \leq t \leq 1$ . Determine (a)  $v(t)$  (b)  $R(t)$  (c)  $\dot{\theta}(t)$

- (d) O deslocamento ao longo da trajetória, no intervalo  $0 \leq t \leq 1$ .

● (a)  $\vec{v} = \frac{d\vec{r}}{dt} = 5\hat{i} + 3t\hat{j} - 4t\hat{k}$

$$v^2 = |\vec{v}|^2 = \vec{v} \cdot \vec{v} = 25 + 25t^2$$

Arbitrando sentido positivo desde  $\vec{r}(0)$  até  $\vec{r}(1)$ ,

$$\boxed{v = 5\sqrt{1+t^2}}$$

● (b)  $\vec{a} = \frac{d\vec{v}}{dt} = 3\hat{j} - 4\hat{k} \quad |\vec{a}| = \sqrt{9+16} = 5$

●  $a_t = \frac{dv}{dt} = \frac{d}{dt}(5(1+t^2)^{1/2}) = \frac{5t}{\sqrt{1+t^2}}$

$$a_n = \sqrt{|\vec{a}|^2 - a_t^2} = \sqrt{25 - \frac{25t^2}{1+t^2}} = \sqrt{\frac{25}{1+t^2}} = \frac{5}{\sqrt{1+t^2}}$$

$$R = \frac{v^2}{a_n} = \frac{25(1+t^2)}{\left(\frac{5}{\sqrt{1+t^2}}\right)} = 5(1+t^2)^{3/2}$$

● (c)  $\dot{\theta} = \frac{v}{R} = \frac{5(1+t^2)^{1/2}}{5(1+t^2)^{3/2}} = \frac{1}{1+t^2}$

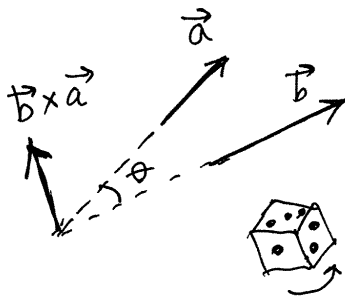
● (d)  $v = \frac{ds}{dt} \Rightarrow 5\sqrt{1+t^2} dt = ds$

$$\int_0^{\Delta s} ds = \int_0^1 5\sqrt{1+t^2} dt = \frac{5}{2}(\sqrt{2} + \ln(\sqrt{2}+1)) \approx 5.739$$

Observe-se que, como  $\vec{a}$  é constante, a trajetória neste caso é uma parábola, com eixo paralelo a  $\vec{a} = 3\hat{j} - 4\hat{k}$  e vértice no ponto onde  $\vec{v} \cdot \vec{a} = 0$

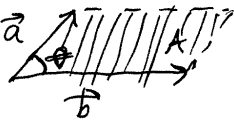
●  $\Rightarrow 15 - 12t = 0, t = \frac{5}{4} \quad \vec{r}_{\text{vértice}} = \frac{25}{4}\hat{i} + \frac{75}{32}\hat{j} - \frac{9}{8}\hat{k}$

## ● PRODUTO VETORIAL



$\vec{b} \times \vec{a}$  = vetor perpendicular a  $\vec{a}$  e  $\vec{b}$ , seguindo a regra da mão direita de  $\vec{b}$  para  $\vec{a}$  e com módulo

$$|\vec{b} \times \vec{a}| = |\vec{a}| |\vec{b}| \sin \theta$$

-   $|\vec{a}| |\vec{b}| \sin \theta = \text{área do paralelogramo com lados } \vec{a} \text{ e } \vec{b}.$

É associativo, distributivo em relação à soma e anticomutativo ( $\vec{b} \times \vec{a} = -\vec{a} \times \vec{b}$ )

$$\hat{i} \times \hat{i} = \hat{j} \times \hat{j} = \hat{k} \times \hat{k} = \vec{0} \quad (\text{porque } \sin 0 = 0)$$

$$\hat{i} \times \hat{j} = \hat{k}, \quad \hat{j} \times \hat{k} = \hat{i}, \quad \hat{k} \times \hat{i} = \hat{j}, \quad \hat{j} \times \hat{i} = -\hat{k}, \dots$$

- $$\begin{aligned} \vec{a} \times \vec{b} &= (a_x \hat{i} + a_y \hat{j} + a_z \hat{k}) \times (b_x \hat{i} + b_y \hat{j} + b_z \hat{k}) \\ &= a_x (b_y \hat{k} - b_z \hat{j}) + a_y (-b_x \hat{k} + b_z \hat{i}) + a_z (b_x \hat{j} - b_y \hat{i}) \\ &= \begin{vmatrix} \hat{i} & \hat{j} & \hat{k} \\ a_x & a_y & a_z \\ b_x & b_y & b_z \end{vmatrix} \end{aligned}$$

Caso particular: vetores  $\vec{a}$  e  $\vec{b}$  no plano  $xy$ :

$$\Rightarrow \vec{a} \times \vec{b} = \begin{vmatrix} a_x & a_y \\ b_x & b_y \end{vmatrix} \hat{k} = (a_x b_y - a_y b_x) \hat{k}$$

●

Aula 8. 11-3-2016

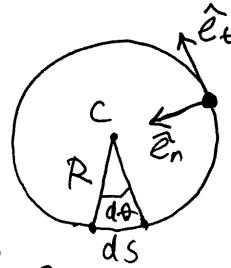
## MOVIMENTO CIRCULAR

$C$  fixo e  $R$  constante

$$ds = R d\theta$$

$$\Rightarrow \int_0^s ds = R \int_0^\theta d\theta$$

$$\boxed{s = R\theta} \quad (\text{se } \theta=0 \text{ quando } s=0)$$



velocidade angular

$$\boxed{\omega = \dot{\theta}}$$

aceleração angular

$$\boxed{\alpha = \dot{\omega}}$$

$$\Rightarrow \alpha = \omega \frac{d\omega}{d\theta}$$

resolven-se  
igual que  
as equações  
do capítulo 1.

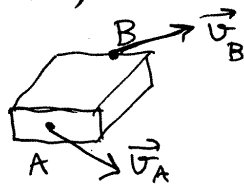
Movimento circular uniforme:  $\alpha = 0 \Rightarrow \omega = \text{constante}$

$$\Rightarrow \theta = \theta_0 + \omega t$$

quando  $\theta$  aumenta  $2\pi$ ,  $\omega t = 2\pi$ , a partícula dá uma volta completa.

$$\Rightarrow \text{período} = T = \frac{2\pi}{\omega}$$

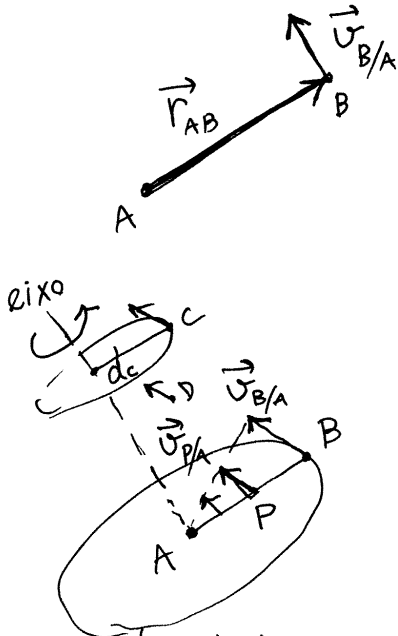
## ROTAÇÃO DOS CORPOS RÍGIDOS



$$\vec{v}_B = \vec{v}_A + \vec{v}_{A/B}$$

em qualquer instante, a velocidade de um ponto  $B$  no corpo, em relação a outro ponto  $A$  no mesmo corpo tem de ser perpendicular a  $\vec{r}_{AB}$ , porque  $|\vec{r}_{AB}|$  permanece constante.





E como todas as distâncias relativas entre pontos do corpo permanecem constantes, todos os pontos no segmento  $\overline{AB}$  tem velocidades no mesmo plano (plano de rotação) e proporcionais à distância até A.

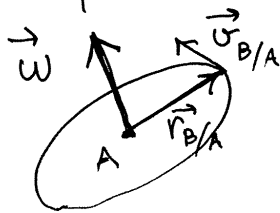
$$v_{P/A} = \omega d_P$$

distância de P até eixo

↑  
constante = velocidade angular do corpo

A velocidade angular  $\omega$  e o plano de rotação são iguais independentemente do ponto A escolhido como referência.

É útil representar  $\omega$  como vetor  $\vec{\omega}$ , perpendicular ao plano de rotação, e seguindo a regra da mão direita no sentido da rotação. Como tal,



$$\vec{v}_{B/A} = \vec{\omega} \times \vec{r}_{B/A}$$

**Rotação plana:**  $\vec{\omega}$  pode mudar de módulo mas não de direção (plano de rotação fixo).

$$\Rightarrow \vec{\alpha} = \frac{d\vec{\omega}}{dt} = \text{vetor paralelo a } \vec{\omega}$$

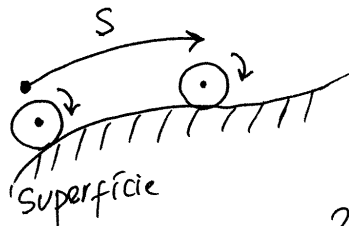
$$\vec{a}_{B/A} = \frac{d\vec{v}_{B/A}}{dt} = \vec{\alpha} \times \vec{r}_{B/A} + \vec{\omega} \times \vec{v}_{B/A}$$

↑                      ↑  
acel. tangencial    aceleração normal

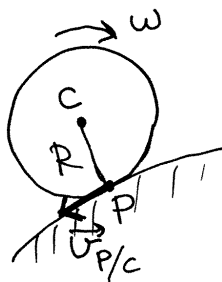
## MOVIMENTOS DE TRANSLAÇÃO E ROTAÇÃO DEPENDENTES

Exemplo:

cilindro de raio  $R$  rodar sobre uma superfície, sem deslizar.



2 variáveis  $\left\{ \begin{array}{l} s = \text{deslocamento na superfície} \\ \theta = \text{ângulo de rotação do cilindro} \end{array} \right.$



Se  $s$  for o deslocamento do centro  $C$ ,  $\Rightarrow \dot{s} = U_C$

$$\vec{U}_C = \dot{s} \hat{e}_t$$

$$\vec{U}_{P/C} = -R\omega \hat{e}_t$$

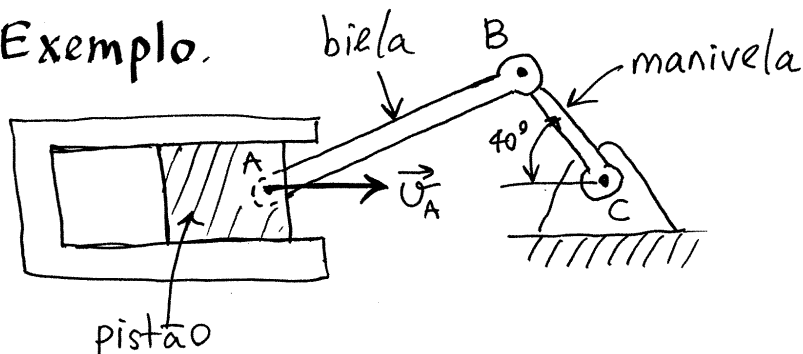
Mas o ponto  $P$  está em repouso em relação à superfície (não desliza):

$$\vec{U}_P = \vec{U}_C + \vec{U}_{P/C} = (\dot{s} - R\omega) \hat{e}_t = 0$$

$$\Rightarrow \boxed{\dot{s} = R\dot{\theta}} \Rightarrow \left\{ \begin{array}{l} \boxed{s = R\theta} \\ \boxed{a_t = R\alpha} \end{array} \right.$$

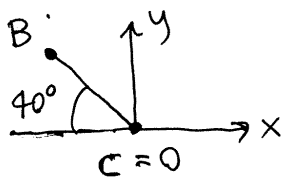
(movimento com um único grau de liberdade)

Exemplo.



No mecanismo biela-manivela da figura, o movimento oscilatório do pistão faz rodar a manivela. Determine as velocidades angulares da biela e da manivela, no instante em que a velocidade do pistão é  $|\vec{v}_A| = 12 \frac{m}{s}$  (para a direita), sabendo que  $\overline{AB} = 200 \text{ mm}$ ,  $\overline{BC} = 75 \text{ mm}$  e a manivela está inclinada  $40^\circ$  em relação à horizontal.

**Resolução.**

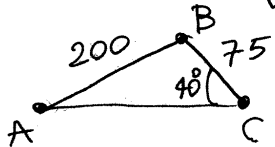


$$\vec{v}_{B/C} = \vec{\omega}_{maniv.} \times \vec{CB} = \vec{v}_B \quad \left( \begin{array}{l} \text{porque} \\ \vec{v}_C = \vec{0} \end{array} \right)$$

$$\vec{\omega}_{maniv.} = \omega_m \hat{k}$$

$$\vec{CB} = 75 (-\cos 40^\circ \hat{i} + \sin 40^\circ \hat{j}) \quad (\text{dist. em mm})$$

$$\Rightarrow \vec{v}_B = \omega_m \hat{k} \times (-57.45 \hat{i} + 48.21 \hat{j}) = -48.21 \omega_m \hat{i} - 57.45 \omega_m \hat{j}$$



$$\begin{aligned} \vec{AB} &= \sqrt{200^2 - 48.21^2} \hat{i} + 48.21 \hat{j} \\ &= 194.10 \hat{i} + 48.21 \hat{j} \end{aligned}$$

$$\begin{aligned} \vec{v}_B &= \vec{v}_{B/A} + \vec{v}_A = \omega_b \hat{k} \times \vec{AB} + 12000 \hat{i} \\ &= (12000 - 48.21 \omega_b) \hat{i} + 194.10 \omega_b \hat{j} \end{aligned}$$

$$\Rightarrow \begin{cases} 12000 - 48.21 \omega_b = -48.21 \omega_m \\ 194.10 \omega_b = -57.45 \omega_m \end{cases}$$

$$\Rightarrow \begin{cases} \omega_b = 56.85 \text{ s}^{-1} & (\text{roda em sentido oposto aos ponteiros do relógio}) \\ \omega_m = -192.075 \text{ s}^{-1} & (\text{no sentido dos ponteiros do relógio}) \end{cases}$$

Aula 9. 17-3-2016

## LEIS DE NEWTON

**LEI I.** Todo corpo mantém o seu estado de repouso ou de movimento uniforme segundo uma linha reta, se não for compelido a mudar o seu estado por forças nele impressas.

(também chamada lei da inércia).

**Referencial inercial:** sistema de referência em que os objetos permanecem em repouso ou movimento uniforme, se não houver forças que alterem esse estado.

Exemplo: Comboio com velocidade retilínea e uniforme.

Numa curva, ou quando o comboio acelera, já não é referencial inercial.

A força necessária para mudar o estado depende da massa do objeto

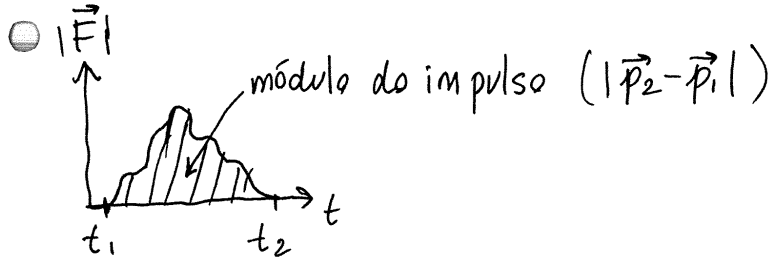
**LEI II.** A mudança na quantidade de movimento é proporcional à força motora impressa e faz-se na direção da linha reta segundo a qual a força motora é aplicada.

**quantidade de movimento:**  $\vec{p} = m \vec{v}$

(também chamada momento linear).

Uma força  $\vec{F}(t)$ , atuando durante o intervalo  $[t_1, t_2]$  produz <sup>(ou diminuição)</sup> aumento da quantidade de movimento:

$$\vec{p}_2 - \vec{p}_1 = \int_{t_1}^{t_2} \vec{F} dt \quad \left( \begin{array}{l} \vec{p}_1 = m \vec{v}_1 \\ \vec{p}_2 = m \vec{v}_2 \end{array} \right)$$



Se houver várias forças,  $\vec{F}$  será a soma de todas elas. (vetorial)

A forma diferencial da equação anterior é:

● 
$$\vec{F} = \frac{d\vec{p}}{dt} \quad (\text{força resultante no instante } t)$$

Se a massa  $m$  permanece constante,

$$\vec{F} = m \frac{d\vec{v}}{dt} \Rightarrow \boxed{\vec{F} = m\vec{a}}$$

**Unidade SI de força**

$$1 \text{ N} = 1 \frac{\text{kg} \cdot \text{m}}{\text{s}^2} = \text{um newton.}$$

peso = força de atração gravítica =  $\vec{P} = m\vec{g}$

● Um objeto com massa de 1 kg tem peso de 9.8 N.

Exemplo:

Bloco em repouso sobre uma mesa

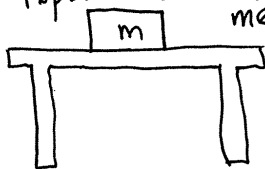
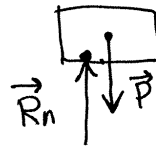


Diagrama de corpo livre:



●  $\vec{P} = m\vec{g}$  = peso do bloco

$\vec{R}_n$  = reação normal da mesa sobre o bloco

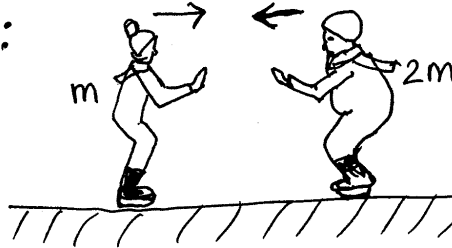
$$\vec{R}_n + \vec{P} = \vec{0} \Rightarrow \vec{a} = 0. \text{ Se } \vec{v}_0 = \vec{0} \Rightarrow \vec{v}(t) = \vec{0}$$

- **LEI III.** A toda ação opõe sempre uma igual reação. Isto é, as ações mútuas de dois corpos um sobre o outro são sempre iguais e opostas.

(também chamada lei de ação e reação).

Exemplos  $2\text{ m/s}$   $2\text{ m/s}$

①  $t_1$ :



admitindo que a força do gelo nos patins em  $[t_1, t_2]$  produz impulso desprezável.

$t_2$ :



$$\vec{F}_{2\text{sobre } 1} \quad \vec{F}_{1\text{sobre } 2}$$

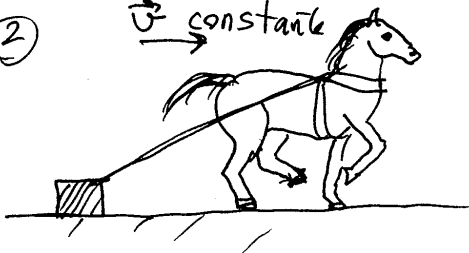
$$|\vec{F}_{2/1}| = |\vec{F}_{1/2}|$$

- As forças que cada patinador exerce sobre o outro são iguais mas de sentidos opostos

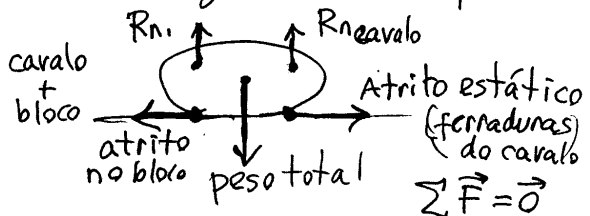
$$\Delta p_1 = -\Delta p_2 \quad m(2 - (-4)) = 2m(-2 - (-1))$$

②

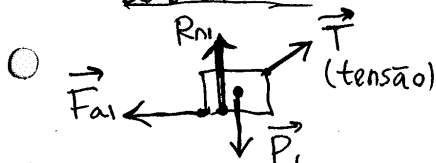
$\vec{v}$  constante



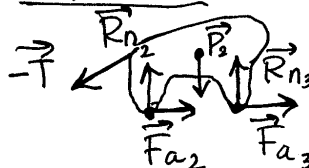
Diagramas de corpo livre



só o bloco:



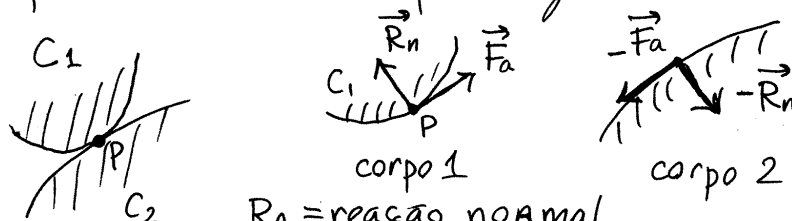
só o cavalo



Aula 10. 18-3-2016

**FORÇA DE ATRITO**

Componente tangencial da força de contacto entre as superfícies de dois corpos rígidos



$R_n$  = reação normal  
 $F_a$  = força de atrito

- **Atrito estático.** Quando as superfícies não deslizam. Pode ter qualquer direção no plano tangente as superfícies e módulo menor ou igual a:

a:

$$F_{ae} \leq \mu_e R_n$$

$\mu_e$  = coeficiente de atrito estático.

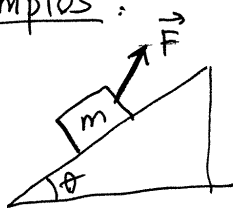
- **Atrito cinético.** Quando as superfícies deslizam. É sempre no sentido oposto da velocidade relativa entre as superfícies e com módulo igual a:

$$F_{ac} = \mu_c R_n$$

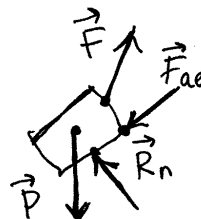
$\mu_c$  = coef. de atrito cinético  
 $(\mu_c < \mu_e)$

Exemplos:

①



$$\sum \vec{F} = \vec{0}$$



duas incógnitas:

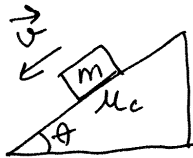
 $R_n$  e  $F_{ae}$ 

( $F_{ae}$  pode ser positiva ou neg.)

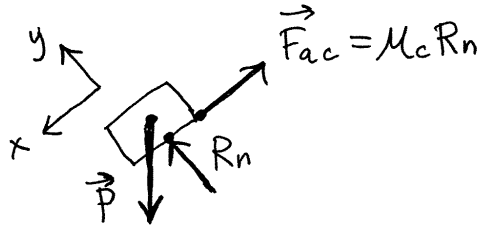
bloco de massa  $m$ , em repouso, com uma força externa  $\vec{F}$ .

●

②



bloco a deslizar  
num plano inclinado

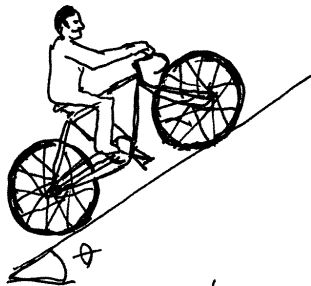


Duas incógnitas:  $R_n$  e  $a$  (aceler.)  
e duas equações:

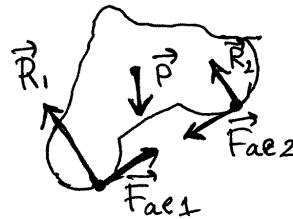
$$\begin{cases} R_n - P_y = 0 \\ P_x - \mu_c R_n = m a \end{cases}$$

●

③



bicicleta a subir uma  
rampa, com velocidade cons-  
tante



4 incógnitas:  $R_1, R_2, F_{ac1}, F_{ac2}$

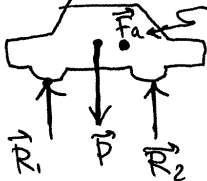
e apenas 2 equações

$$\begin{cases} \sum F_x = 0 \\ \sum F_y = 0 \end{cases}$$

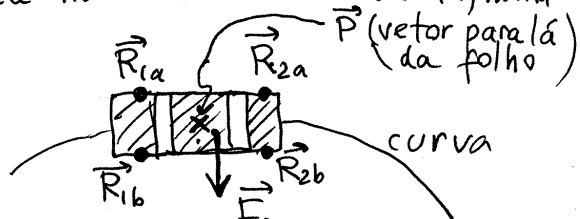
No capítulo seguinte explicar-se-á como calcular  $\vec{R}_1, \vec{R}_2$   
e  $(\vec{F}_{ac1} + \vec{F}_{ac2})$ .

④ Automóvel com  $v$  constante numa curva de raio  $R$ , numa  
estrada horizontal

vista lateral



vetor para  
cá da folha



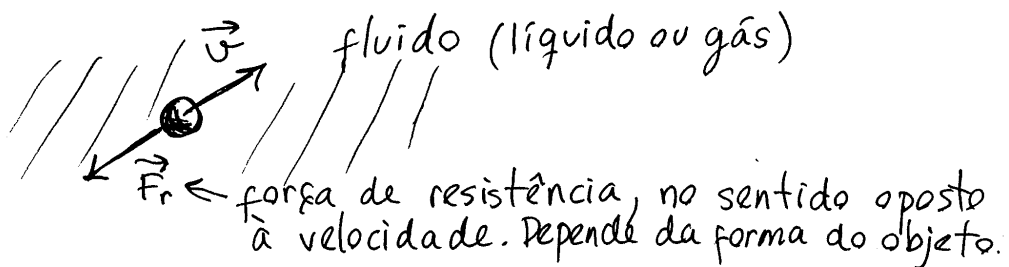


$$\begin{cases} R_{1a} + R_{2a} + R_{1b} + R_{2b} = P \\ F_a = m a_n = m \frac{v^2}{R} \quad (\text{força de atrito estático}) \end{cases}$$

$$\Rightarrow m \frac{v^2}{R} \leq \mu_e (R_{1a} + R_{1b} + R_{2a} + R_{2b})$$

$$v \leq \sqrt{\mu_e g R} \quad (\text{não depende da massa})$$

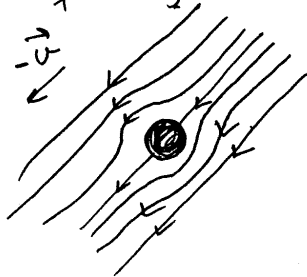
## FORÇA DE RESISTÊNCIA NOS FLUIDOS



$F_r$  aumenta com o aumento de  $v$  e depende do valor do **número de Reynolds**:

$$N_R = l v \left( \frac{\rho}{\eta} \right) \quad \begin{aligned} \rho &= \text{massa volúmica do fluido} \\ \eta &= \text{coeficiente de viscosidade} \\ l &= \text{tamanho do objeto.} \end{aligned}$$

① Número de Reynolds próximo de zero (basta com que seja menor que 100).  $\Rightarrow$  fluxo laminar.



Em relação ao objeto, o fluido desloca-se com velocidade  $-v$ . O fluido "cola-se" à superfície do objeto e a força resulta pelo deslizamento entre a parte do fluido próxima do objeto e

- as partes do fluido que passam mais longe do objeto. (viscosidade).

O fator determinante do valor de  $F_R$  é a viscosidade do fluido. No caso de uma esfera de raio  $R$ :

$$F_R = 6\pi\eta Rv \quad \text{força diretamente proporcional a } v.$$

- ② Número de Reynolds elevado:  $N_R \gg 100$

- A viscosidade já não é tão importante. O fator mais importante é o aumento da pressão do fluido à frente do objeto e a diminuição da pressão atrás do objeto. A diferença de pressões produz força proporcional a  $v^2$ . No caso de uma esfera de raio  $R$ :

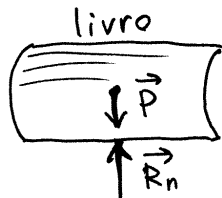
$$F_R = \frac{\pi}{4} \rho R^2 v^2$$

- Para determinar qual das duas expressões deverá ser usada, pode começar-se por usar a expressão para  $N_R \approx 0$ , determina-se  $v$  e  $N_R$ ; se o valor obtido para  $N_R$  for elevado, a expressão para  $F_R$  deverá ser substituída pela equação para  $N_R$  elevado e  $v$  deverá ser calculada novamente.

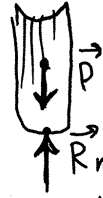
- No caso do ar ( $\rho = 10^3 \frac{\text{kg}}{\text{m}^3}$ ,  $\eta = 1.8 \times 10^{-5} \frac{\text{kg}}{\text{m} \cdot \text{s}}$ ),  $N_R$  cresce rapidamente em função de  $v$  e pode admitir-se que  $N_R \gg 100$ .

Aula 11. 31-3-2016

## FORÇAS NUM CORPO RÍGIDO



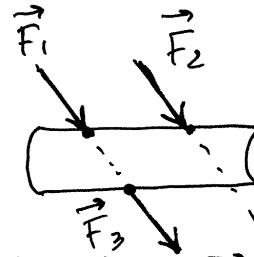
equilíbrio estável  
 $\vec{P} = -\vec{R}_n$



equilíbrio instável, porque  
 o peso  $\vec{P}$  e a reação normal  
 $\vec{R}_n$  não atuam na mesma  
 linha.

## Vetores deslizantes.

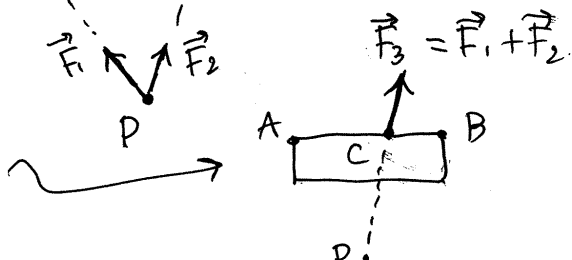
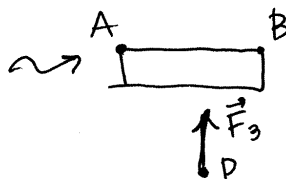
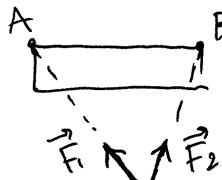
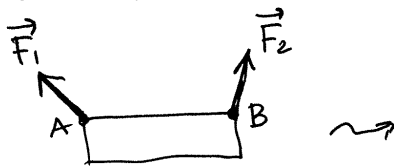
- módulo
- direção
- sentido
- linha de ação



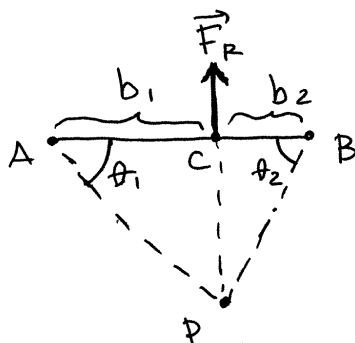
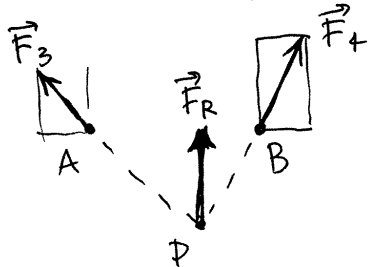
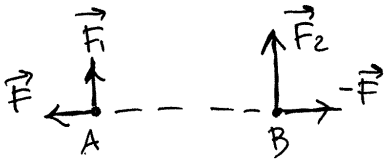
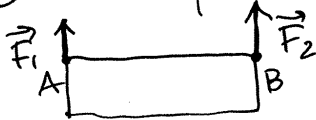
$|\vec{F}_1| = |\vec{F}_2| = |\vec{F}_3|$   
 as três forças  $\vec{F}_1$ ,  $\vec{F}_2$  e  $\vec{F}_3$   
 têm a mesma direção e sentido,  
 mas  $\vec{F}_1$  não é equivalente a  $\vec{F}_2$ .  
 ( $\vec{F}_1$  sim é equivalente a  $\vec{F}_3$ )

## ADIÇÃO DE FORÇAS

① Forças concorrentes (as linhas de ação cruzam-se  
 num, ou vários, pontos.

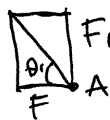


② Forças paralelas

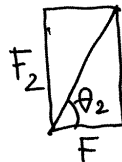


$$b_1 \tan \theta_1 = b_2 \tan \theta_2$$

Mas os ângulos  $\theta_1$  e  $\theta_2$  são também os ângulos na soma das forças  $\vec{F} + \vec{F}_1$  e  $-\vec{F} + \vec{F}_2$ :



$$\tan \theta_1 = \frac{F_1}{F}$$



$$\tan \theta_2 = \frac{F_2}{F}$$

$\Rightarrow$

$$F_1 b_1 = F_2 b_2$$

Lei das alavancas

$b_1$  = braço de  $\vec{F}_1$

$b_2$  = braço de  $\vec{F}_2$

adicionam-se duas forças  $\vec{F}$  e  $-\vec{F}$ , em A e B, com a mesma linha de ação.

Isso não altera nada, porque  $\vec{F}$  e  $-\vec{F}$  anulam-se.

Em A somam-se  $\vec{F}$  e  $\vec{F}_1$  e em B somam-se  $-\vec{F}$  e  $\vec{F}_2$ .

As forças obtidas,  $\vec{F}_3$  e  $\vec{F}_4$  são concorrentes

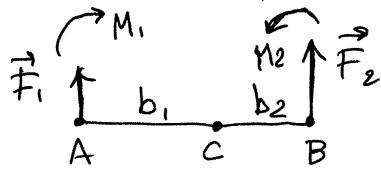
A força resultante é:

$$\vec{F}_R = \vec{F}_3 + \vec{F}_4 = (\vec{F} + \vec{F}_1) + (\vec{F}_2 - \vec{F})$$

$$\Rightarrow \vec{F}_R = \vec{F}_1 + \vec{F}_2$$

E atua num ponto C que está a uma distância  $b_1$  de A e  $b_2$  de B.

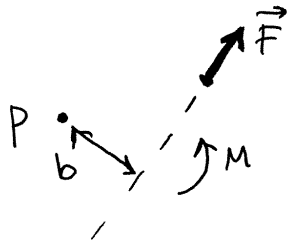
Este resultado pode interpretar-se assim:



Em relação ao ponto de aplicação da resultante (C) a força  $\vec{F}_1$  produz

uma tendência a rodar no sentido dos ponteiros do relógio, com valor  $F_1 b_1 = M_1$ . A força  $\vec{F}_2$  produz tendência a rodar no sentido oposto, com valor  $M_2 = F_2 b_2$ . O ponto de aplicação da resultante é o ponto onde  $M_1 = M_2$  ( $F_1 b_1 = F_2 b_2$ ).

### MOMENTO DE UMA FORÇA



Momento de  $\vec{F}$  em relação a P:

$$M_P = Fb$$

$b$  = braço = distância entre P e a linha de ação de  $\vec{F}$

- Neste caso,  $M$  é no sentido oposto aos ponteiros do relógio.

### BINÁRIO

O procedimento usado para somar forças paralelas falha quando  $\vec{F}_1 = -\vec{F}_2$  (ou seja,  $\vec{F}_1 + \vec{F}_2 = \vec{0}$ ) porque os momentos  $M_1$  e  $M_2$  não se anulam em relação a nenhum ponto.



De facto, nesse caso o momento total ( $M_1 + M_2$ ) tem o mesmo valor em relação a qualquer ponto:

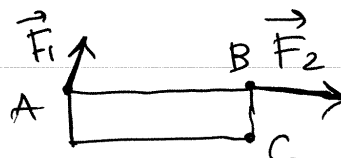
$$M = M_1 + M_2 = F_1 d = F_2 d \quad (F_1 = F_2)$$

- Esse sistema de duas forças  $\vec{F}_1 + \vec{F}_2 = \vec{0}$  com linhas de ação paralelas chama-se um BINÁRIO e corresponde a uma rotação, sem translação, com valor:

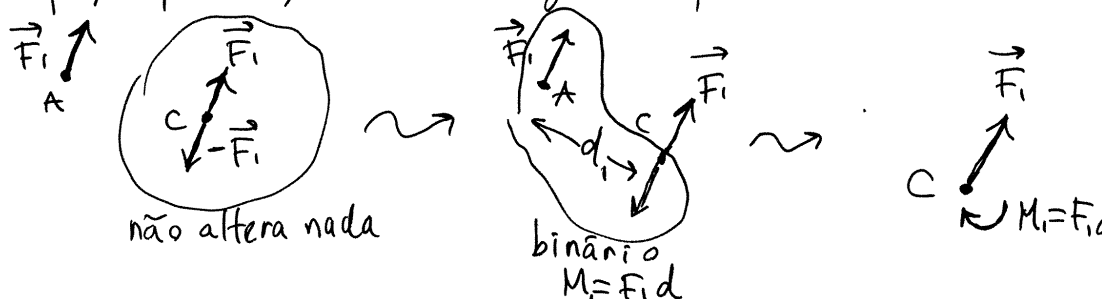
$$M = Fd$$

$M$  = momento do binário  
 $F$  = módulo de  $\vec{F}_1$  e  $\vec{F}_2$   
 $d$  = distância entre as linhas de ação.

- ③ Adição de quaisquer forças, em qualquer ponto:

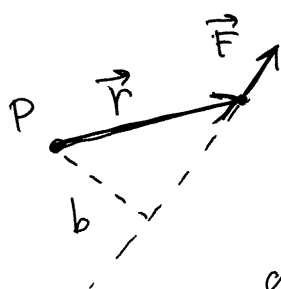


Para somar  $\vec{F}_1$  e  $\vec{F}_2$  no ponto C, desloca-se cada força para C, usando o seguinte procedimento:



Ou seja,  $\vec{F}_1$  em A substitui-se por  $\vec{F}_1$  em C, mais um binário  $M_1 = F_1 d_1$ . Em C somam-se  $\vec{F}_1 + \vec{F}_2$  e  $M_1 + M_2$ . Obtendo-se assim uma força resultante e um binário.

### VECTOR MOMENTO



$$\vec{M}_P = \vec{r} \times \vec{F}$$

$\vec{r}$  posição da força  $\vec{F}$  relativa a P

É um vetor para cá da folha, que representa rotação no sentido anti-horário (regra da mão direita)

Aula 12. 1-4-2016

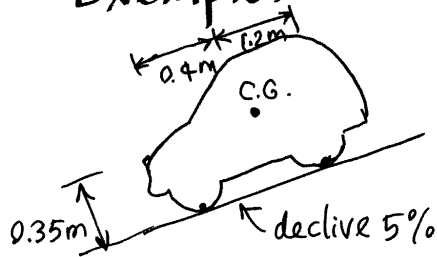
## CORPOS RÍGIDOS EM EQUILÍBRIO

Quando um corpo rígido está em equilíbrio, não é necessária nenhuma força adicional nem binário em nenhum ponto, para manter  $\vec{v}$  constante. Isso implica que a soma vetorial das forças, e o seu binário em qualquer ponto deverão ser nulos.

$$\begin{cases} \sum \vec{F} = \vec{0} \\ \sum M = 0 \end{cases} \Rightarrow \begin{cases} \vec{a} = 0 \\ \alpha = 0 \end{cases} \quad \begin{array}{l} \text{movimento de translação} \\ \text{uniforme, ou repouso} \end{array}$$

(em qualquer ponto)

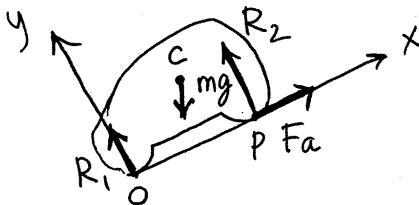
### Exemplo.



O automóvel na figura tem peso de 9000 N e o centro de gravidade está a 0.4 m dos pneus da frente, a 1.2m dos pneus de trás e a 0.35m de altura.

Determine as reações normais nos 4 pneus e as forças de atrito: (a) quando o automóvel está parado (b) quando o automóvel tem velocidade constante

### Resolução:



### forças:

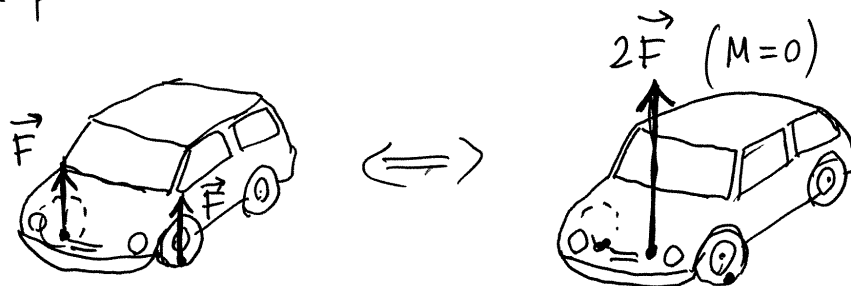
$mg$ : peso, no ponto  $(0.4, 0.35)$

$R_1$ : soma das reações nos 2 pneus da frente, na origem.

$R_2$ : reações normais nos 2 pneus traseiros, no ponto  $(1.6, 0) = P$

$F_a$ : atrito nos 4 pneus, em  $(1.6, 0)$  ou na origem.

- Observe-se que as reações normais podem ser deslocadas para o centro do automóvel e, admitindo que sejam iguais, na produzem binário:



- Peso:  $C$

$\Leftrightarrow$

$\vec{P} = \left( -\frac{45000}{\sqrt{10025}}, -\frac{9 \times 10^5}{\sqrt{10025}} \right)$

Soma de binários na origem:

$$\vec{r}_c \times \vec{P} + \vec{r}_p \times \vec{R}_2 = \vec{0}$$

$$\frac{1}{\sqrt{10025}} \begin{vmatrix} \hat{i} & \hat{j} & \hat{k} \\ 0.4 & 0.35 & 0 \\ -45000 & -900000 & 0 \end{vmatrix} + \begin{vmatrix} \hat{i} & \hat{j} & \hat{k} \\ 1.6 & 0 & 0 \\ 0 & R_2 & 0 \end{vmatrix} = 0\hat{i} + 0\hat{j} + 0\hat{k}$$

$$\Rightarrow \frac{1}{\sqrt{10025}} \begin{vmatrix} 0.4 & 0.35 \\ -45000 & -900000 \end{vmatrix} + \begin{vmatrix} 1.6 & 0 \\ 0 & R_2 \end{vmatrix} = 0$$

$$1.6 R_2 = \frac{0.4 \times 900000 - 0.35 \times 45000}{\sqrt{10025}} \Rightarrow \boxed{R_2 = 2149 \text{ N}}$$

Soma de binários no ponto P:

$$(\vec{r}_c - \vec{r}_p) \times \vec{P} + (\vec{0} - \vec{r}_p) \times \vec{R}_1 = \vec{0}$$

$$\frac{1}{\sqrt{10025}} \begin{vmatrix} -1.2 & 0.35 \\ -45000 & -90000 \end{vmatrix} + \begin{vmatrix} -1.6 & 0 \\ 0 & R_1 \end{vmatrix} = 0$$



$$1.6 R_1 = \frac{1.2 \times 90000 + 0.35 \times 45000}{\sqrt{10025}} \Rightarrow \boxed{R_1 = 6840 \text{ N}}$$

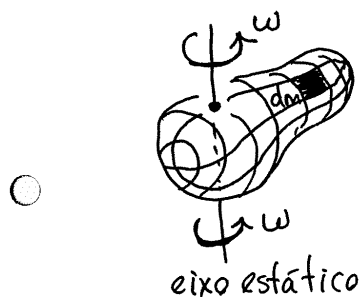
observe-se que  $R_1 + R_2 = P_y$

Soma de componentes x das forças:

$$F_a = \frac{45000}{\sqrt{10025}} = 0 \Rightarrow \boxed{F_a = 449 \text{ N}}$$

- Resposta: a reação normal é 3420 N nos pneus da frente e 1074.5 nos pneus traseiros. A força de atrito total é 449 N. Quando o automóvel estiver em movimento, a resistência do ar faz diminuir a força de atrito e produz momento no sentido dos ponteiros do relógio, que faz aumentar  $R_2$  e diminuir  $R_1$ .

### ROTAÇÃO EM TORNO DE UM EIXO FIXO



força resultante sobre um pequeno pedaço do corpo, com massa  $dm$ :

$$d\vec{f} = (\underbrace{R \propto \hat{e}_\theta}_{a_n \uparrow \text{versor perpendic. a } \vec{r} \text{ e } \hat{k}} - \underbrace{R\omega^2 \hat{e}_R}_{a_t \uparrow \text{versor desde o eixo até } dm}) dm$$

$R$  = distância desde  $dm$  até o eixo

Binário no eixo:  $d\vec{M} = \vec{r} \times d\vec{f}$  ( $\vec{r} = R\hat{e}_R + z\hat{k}$ )

componente  $\hat{k}$ :  $dM = \begin{vmatrix} R & 0 \\ -R\omega^2 & R\propto \end{vmatrix} dm = R^2 \propto dm$

$$\Rightarrow M_{\text{eixo}} = \int dM = \propto \int R^2 dm$$

$$\boxed{M_{\text{eixo}} = I_{\text{eixo}} \propto}$$

### Momento de inércia

$$I_{\text{eixo}} = \int R^2 dm = \iiint R^2 \rho \, dx \, dy \, dz$$

massa  $\uparrow$  volúmica

(tem unidades de massa vezes dist. ao quadrado)

Aula 13. 7-4-2016

## Volante de inércia (em Inglês, flywheel)



$$I = \frac{1}{2} m r^2$$

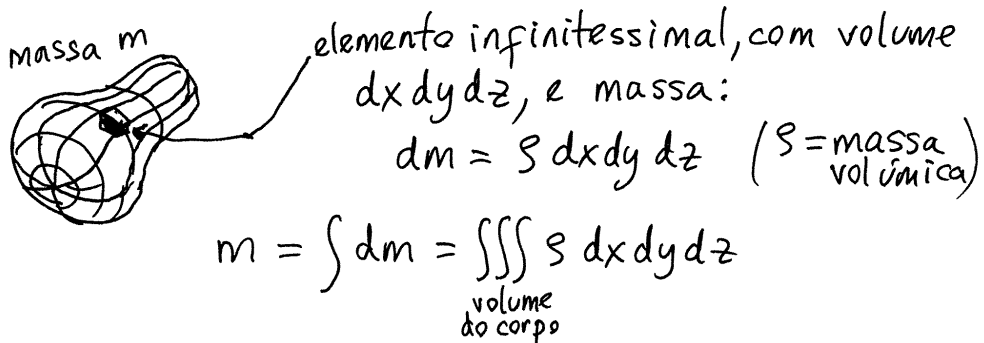
exemplo:  $r = 16.5 \text{ cm}$ ,  $m = 1.6 \text{ kg}$

$$\Rightarrow I = 0.0218 \text{ kg} \cdot \text{m}^2$$

O atrito no eixo produz um binário  $M_e$  que conduz a aceleração negativa:  $\alpha = -\frac{M_e}{I}$

Se o raio do eixo for muito menor que  $r$  e  $m$  elevada,  $\alpha$  é muito baixa (a resistência do ar é muito baixa também)

## CENTRO DE MASSA

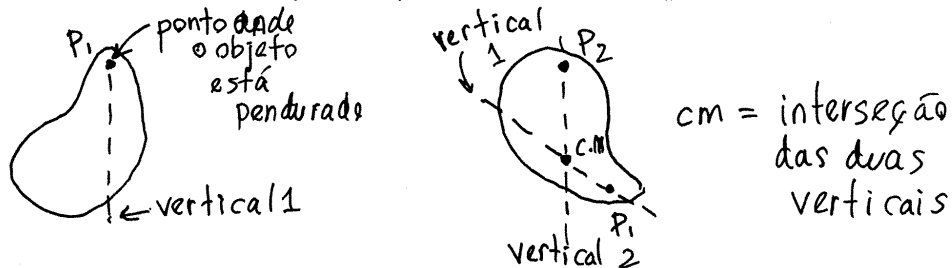


Define-se o CENTRO DE MASSA no ponto na posição:

$$\vec{r}_{cm} = \frac{1}{m} \int \vec{r} dm \Rightarrow \begin{cases} x_{cm} = \frac{1}{m} \iiint_{\text{vol.}} x \rho dx dy dz \\ y_{cm} = \frac{1}{m} \iiint_{\text{vol.}} y \rho dx dy dz \\ z_{cm} = \frac{1}{m} \iiint_{\text{vol.}} z \rho dx dy dz \end{cases}$$

Nos corpos simétricos, o c.m. está no centro de simetria.

Se a gravidade  $\vec{g}$  for constante, o c.m. é o mesmo CENTRO DE GRAVIDADE.



Velocidade e aceleração do centro de massa:

$$\vec{v}_{cm} = \frac{d\vec{r}_{cm}}{dt} = \frac{1}{m} \int_{vol.} \frac{d\vec{r}}{dt} dm = \frac{1}{m} \int_{vol.} \vec{v} dm$$

$$\vec{a}_{cm} = \frac{d\vec{v}_{cm}}{dt} = \frac{1}{m} \int_{vol.} \frac{d\vec{v}}{dt} dm = \frac{1}{m} \int_{vol.} \vec{a} dm$$

A força resultante no objeto é igual à massa  $m$  vezes a aceleração do centro de massa:

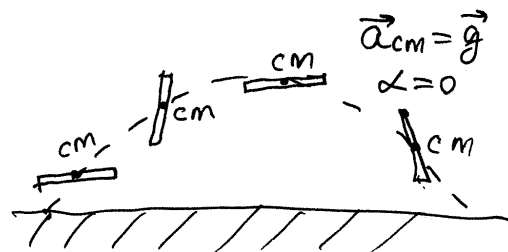
$$\sum_{i=1}^n \vec{F}_i = m \vec{a}_{cm}$$

Demonstração:  $d\vec{f} = \vec{a} dm$  (força total no elemento  $dx dy dz$ )

$$\int_{vol.} d\vec{f} = \sum_{i=1}^n \vec{F}_i + \sum \vec{F}_{internas} \quad \leftarrow \text{igual a zero}$$

$$\Rightarrow \sum_{i=1}^n \vec{F}_i = \int_{vol.} \vec{a} dm = m \vec{a}_{cm}$$

Exemplo: barra lançada no ar. A barra roda mas o centro de massa segue uma parábola porque  $\sum \vec{F}_i = m\vec{g} \Rightarrow \boxed{\vec{a}_{cm} = \vec{g}}$



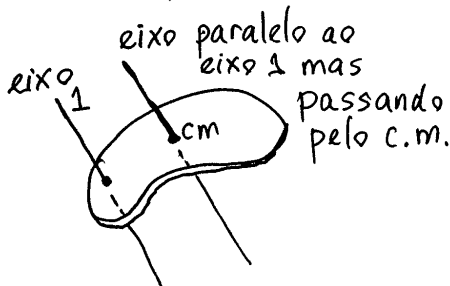
## MOVIMENTOS SEM ACELERAÇÃO ANGULAR

$\vec{a}_{cm}$  diferente de zero, mas  $\alpha$  (aceleração angular) nula ( $\omega = \text{constante}$  ou nula). Pode demonstrar-se que a soma de binários no centro de massa (unicamente) é nula. Assim sendo, as equações de movimento são:

$$\sum \vec{F}_i = m \vec{a}_{cm}$$

$$\sum M_{cm} = 0$$

## TEOREMA DOS EIXOS PARALELOS



Quando o corpo roda com o eixo 1 fixo:

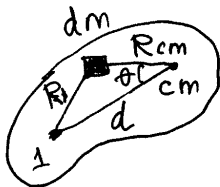
$$\sum M_1 = I_1 \alpha_1$$

$$I_1 = \int_{vol.} R_i^2 dm \quad (R_i = \text{distância até o eixo 1})$$

Quando roda com o eixo que passa pelo centro de massa fixo:

$$\sum M_{cm} = I_{cm} \alpha_{cm}$$

$$I_{cm} = \int_{vol.} R_{cm}^2 dm \quad (R_{cm} = \text{dist. até o c.m.})$$



$$R_i^2 = d^2 + R_{cm}^2 - 2 \cdot R_{cm} d \cos \theta$$

$$d = \text{distância entre 1 e o c.m.}$$

$$\Rightarrow I_1 = \int R_{cm}^2 dm + d^2 \int dm - 2d \int R_{cm} \cos \theta dm$$

← integral = 0

$$\Rightarrow \boxed{I_1 = I_{cm} + md^2} \quad I \text{ é mínimo quando o eixo passa pelo c.m.}$$

Aula 14. 8-4-2011

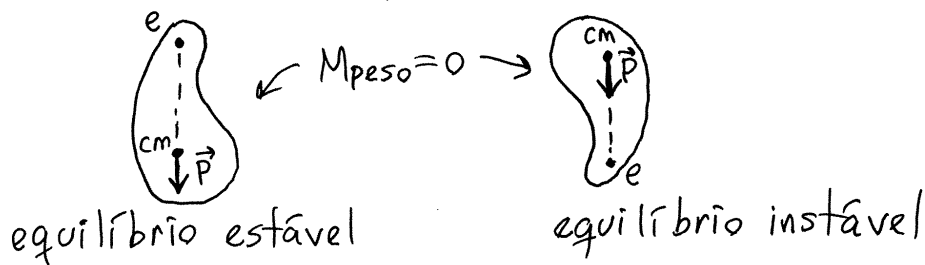
## PÊNDULOS

Um pêndulo é um corpo rígido que pode rodar em torno de um eixo horizontal fixo.

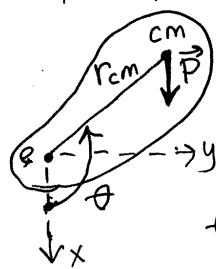
Equação de movimento (desprezando a resistência do ar e o binário das forças no eixo):

$$M_{\text{peso}} = I_e \alpha = (I_{\text{cm}} + m r_{\text{cm}}^2) \alpha \quad \left( \begin{array}{l} r_{\text{cm}} = \text{dist.} \\ \text{entre o eixo} \\ \text{e o c.m.} \end{array} \right)$$

O pêndulo tem duas posições de equilíbrio, em que a linha de ação do peso (vertical) passa pelo eixo:



Em qualquer outra posição diferente,



$$\vec{r}_{\text{cm}} = r_{\text{cm}} \sin \theta \hat{i} - r_{\text{cm}} \cos \theta \hat{j}$$

$$M_{\text{peso}} = \begin{vmatrix} r_{\text{cm}} \cos \theta & r_{\text{cm}} \sin \theta \\ mg & 0 \end{vmatrix} = -mg r_{\text{cm}} \sin \theta$$

$\theta$  = ângulo entre  $\vec{r}_{\text{cm}}$  e a vertical para baixo

$$\Rightarrow -mg r_{\text{cm}} \sin \theta = (I_{\text{cm}} + m r_{\text{cm}}^2) \alpha \quad \left( \begin{array}{l} I_{\text{cm}} = m r_g^2 \\ r_g = \text{RAIO DE} \\ \text{GIRAÇÃO} \end{array} \right)$$

$$\alpha = -\frac{g}{\ell} \sin \theta$$

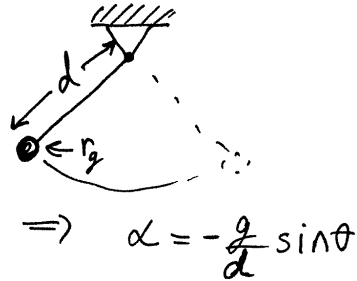
$$\ell = \text{comprimento eficaz do pêndulo} = \frac{r_g^2 + r_{\text{cm}}^2}{r_{\text{cm}}}$$

quanto menor for  $r_{\text{cm}}$ , maior  $\ell$  e menor aceleração.

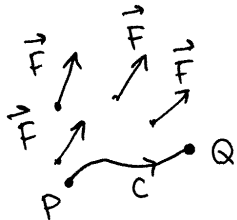
- O pêndulo simples:

$$d \gg r_g$$

$$\Rightarrow l = \frac{r_g^2 + d^2}{d} \approx d$$



## TRABALHO



Se  $\vec{F}$  é uma força que depende da posição  $\vec{r}$ , define-se o trabalho de  $\vec{F}$ , numa curva  $C$  entre dois pontos  $P$  e  $Q$ , igual

ao integral de linha:

$$W_{PQ} = \int_{P(Curva)}^Q \vec{F} \cdot d\vec{r}$$

Se, por exemplo, a curva  $C$  for definida por  $y = f(x)$ , com  $x$  desde  $x_1$  até  $x_2$ , e  $\vec{F} = F_x \hat{i} + F_y \hat{j}$

$$d\vec{r} = dx \hat{i} + dy \hat{j} = \left( \hat{i} + \frac{df}{dx} \hat{j} \right) dx$$

$$W_{PQ} = \int_{x_1}^{x_2} (F_x \hat{i} + F_y \hat{j}) \cdot \left( \hat{i} + \frac{df}{dx} \hat{j} \right) dx = \int_{x_1}^{x_2} F_x dx + \int_{x_1}^{x_2} F_y \frac{df}{dx} dx$$

## ENERGIA CINÉTICA

A energia cinética de um corpo rígido que se desloca com velocidade  $\vec{v}$ , sem rodar, é:

$$E_c = \frac{1}{2} m v^2$$

## Teorema do trabalho e a energia cinética

A soma dos trabalhos de todas as forças sobre um corpo em movimento, calculados entre um ponto inicial  $P$  e um ponto final  $Q$ , ao longo da trajetória do corpo, é igual ao aumento da energia cinética:

$$\sum_{i=1}^n W_i(P \rightarrow Q) = \frac{1}{2} m v_Q^2 - \frac{1}{2} m v_P^2$$

Demonstração:

$$\sum_{i=1}^n W_i = \int_P^Q \vec{F}_1 \cdot d\vec{r} + \dots + \int_P^Q \vec{F}_n \cdot d\vec{r} = \int_P^Q \vec{F} \cdot d\vec{r} = \int_P^Q m \vec{a} \cdot d\vec{r}$$

força resultante

ao longo da trajetória:  $d\vec{r} = v dt = v \hat{e}_t dt = \hat{e}_t ds$

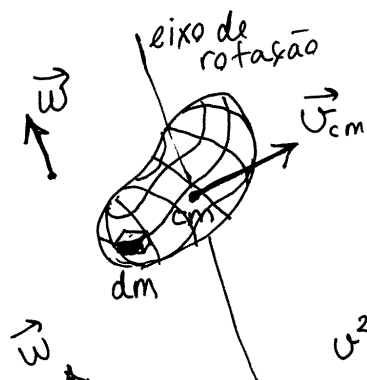
$$\vec{a} = a_t \hat{e}_t + a_n \hat{e}_n = \frac{dv}{dt} \hat{e}_t + \frac{v^2}{R} \hat{e}_n$$

$$\Rightarrow \vec{a} \cdot d\vec{r} = a_t ds = v dv$$

$$\sum_{i=1}^n W_i = m \int_P^Q a_t ds = m \int_P^Q v dv = m \left( \frac{v_Q^2}{2} - \frac{v_P^2}{2} \right)$$

Aula 15. 14-4-2016

## ENERGIA CINÉTICA DE ROTAÇÃO



A velocidade do elemento infinitesimal com massa  $dm$  é:

$$\vec{v} = \vec{v}_{cm} + \vec{\omega} \times \vec{r}$$

$\vec{r}$  vai desde o cm até  $dm$

$$v^2 = (\vec{v}_{cm} + \vec{\omega} \times \vec{r}) \cdot (\vec{v}_{cm} + \vec{\omega} \times \vec{r})$$

$$= v_{cm}^2 + \omega^2 R^2 + 2 \vec{v}_{cm} \cdot (\vec{\omega} \times \vec{r})$$

( $R = r \sin \theta$  = distância desde  $dm$  até o eixo)

A energia total do corpo é o integral de volume da energia do elemento com massa  $dm$ :

$$E_c = \int_{vol} \frac{1}{2} v^2 dm = \underbrace{\frac{v_{cm}^2}{2} \int_{vol} dm}_{\text{massa total}} + \underbrace{\frac{\omega^2}{2} \int_{vol} R^2 dm}_{\text{momento de inércia em relação ao c.m.}} + \underbrace{\vec{v}_{cm} \cdot (\vec{\omega} \times \int_{vol} \vec{r} dm)}_{\text{posição do cm relativo ao cm} = 0}$$

$$\Rightarrow E_c = \frac{1}{2} m v_{cm}^2 + \frac{1}{2} I_{cm} \omega^2$$

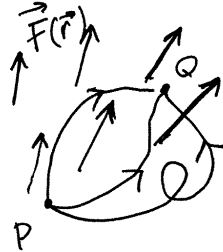
a energia cinética de translação é  $\frac{1}{2} m v_{cm}^2$   
e a energia cinética de rotação é  $\frac{1}{2} I_{cm} \omega^2$

$$E_{rot} = \frac{1}{2} I_{cm} \omega^2 = \frac{1}{2} m (r_g \omega)^2$$

( $r_g$  = raio de giração em relação ao cm)



## FORÇAS CONSERVATIVAS



Uma força  $\vec{F}(\vec{r})$  diz-se conservativa, se o integral de linha entre dois pontos quaisquer:

$$\int_P^Q \vec{F} \cdot d\vec{r}$$

da o mesmo resultado em qualquer percurso entre  $P$  e  $Q$

## ENERGIA POTENCIAL

Se uma força  $\vec{F}(\vec{r})$  é conservativa, pode definir-se a energia potencial  $U(\vec{r})$  associada a essa força:

$$U(\vec{r}) = - \int_{P_0}^{\vec{r}} \vec{F} \cdot d\vec{r} \quad P_0 = \text{ponto escolhido arbitrariamente.}$$

Observe-se que  $U(P_0) = - \int_{P_0}^{P_0} \vec{F} \cdot d\vec{r} = 0$

Unidade SI de trabalho, energia cinética e energia potencial:

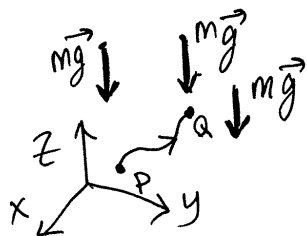
$$1 \text{ joule} = 1 \text{ J} = 1 \text{ N} \cdot \text{m} = 1 \text{ kg} \cdot \frac{\text{m}^2}{\text{s}^2}$$

O trabalho realizado por uma força conservativa  $\vec{F}(\vec{r})$ , entre dois pontos  $P$  e  $Q$ , pode escrever-se

$$\int_P^Q \vec{F} \cdot d\vec{r} = \int_P^{P_0} \vec{F} \cdot d\vec{r} + \int_{P_0}^Q \vec{F} \cdot d\vec{r} = U(P) - U(Q)$$

ou seja, é igual à diminuição da energia potencial

## ENERGIA POTENCIAL GRAVÍTICA



O peso é  $\vec{P} = -mg\hat{k}$   
igual em qualquer posição

$$\vec{P} \cdot d\vec{r} = -mg\hat{k} \cdot (dx\hat{i} + dy\hat{j} + dz\hat{k}) \\ = -mg dz$$

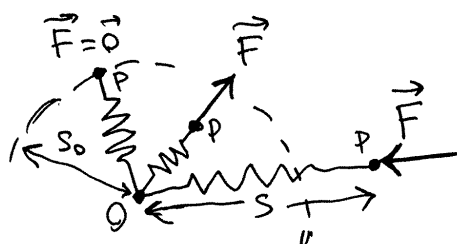
$$\Rightarrow \int_P^Q \vec{P} \cdot d\vec{r} = -mg \int_P^Q dz = -mg(z_Q - z_P) \quad \left( \begin{array}{l} \text{no depende} \\ \text{do percurso} \end{array} \right)$$

$\Rightarrow$  O peso é uma força conservativa, com energia potencial gravítica  $U_g$  igual a:

$$U_g(\vec{r}) = + \int_{z_0}^z mg dz = mg(z - z_0)$$

$$\Rightarrow \boxed{U_g(\vec{r}) = mgh} \quad \begin{array}{l} h = \text{altura em} \\ \text{relação ao ponto} \\ P_0. \end{array}$$

## ENERGIA POTENCIAL ELÁSTICA



mola elástica em diferentes posições

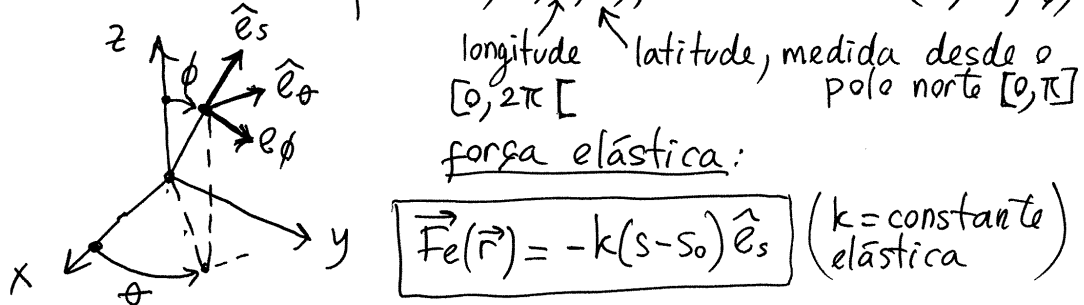
Uma mola elástica com

um dos extremos fixos (O), produz no outro extremo uma força na direção de O, e no sentido de O, se a mola está esticada (comprimento  $S > s_0$ )

ou no sentido que se afasta de O, se a mola estiver comprimida (comprimento  $S < s_0$ )

Se a mola não estiver nem esticada nem comprimida ( $S = s_0$ ), a força é nula.

- Coordenadas esféricas,  $(s, \theta, \phi)$ , com versores  $(\hat{e}_s, \hat{e}_\theta, \hat{e}_\phi)$



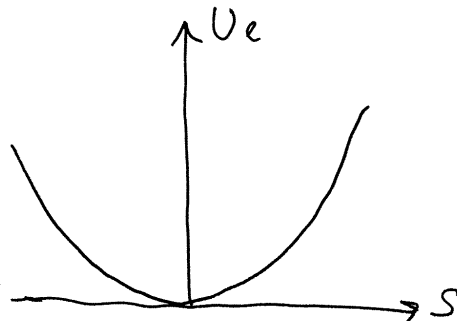
$$d\vec{r} = ds\hat{e}_s + r d\phi \hat{e}_\phi + r \sin \phi d\theta \hat{e}_\theta$$

- $\int_P^Q \vec{F}_e \cdot d\vec{r} = -k \int_P^Q (s-s_0) ds$  (não depende do percurso de integração)

A força elástica é conservativa, com energia potencial elástica ( $P_0$  = ponto com  $s=s_0$ ):

$$U_e = \frac{1}{2} k (s-s_0)^2 \quad (s-s_0 = \text{alongamento da mola})$$

- $U_e$  é mínima quando a mola não está esticada nem comprimida ( $s=s_0$ ). Arbitrando  $U_e=0$  em  $s=s_0$ ,  $U_e$  é sempre positiva ou zero.



Aula 16 . 15-4-2016

## ENERGIA MECÂNICA

$$E_m = \frac{1}{2} m v_{cm}^2 + \frac{1}{2} I_{cm} \omega^2 + U_g + U_e + \dots \quad \left( \begin{array}{l} \text{outras} \\ \text{energias} \\ \text{potenciais} \end{array} \right)$$

### Teorema do trabalho e a energia mecânica

A soma dos trabalhos de todas as forças não conservativas, ao longo da trajetória, desde um ponto inicial até um ponto final, é igual ao aumento da energia mecânica.

$$\sum_{i=1}^n W_i(P \rightarrow Q) = E_m(Q) - E_m(P)$$

(forças não conservativas)

Demonstração:  $\sum_{\text{não cons.}} W_i + \sum_{\text{conservat.}} W_j = E_c(Q) - E_c(P)$

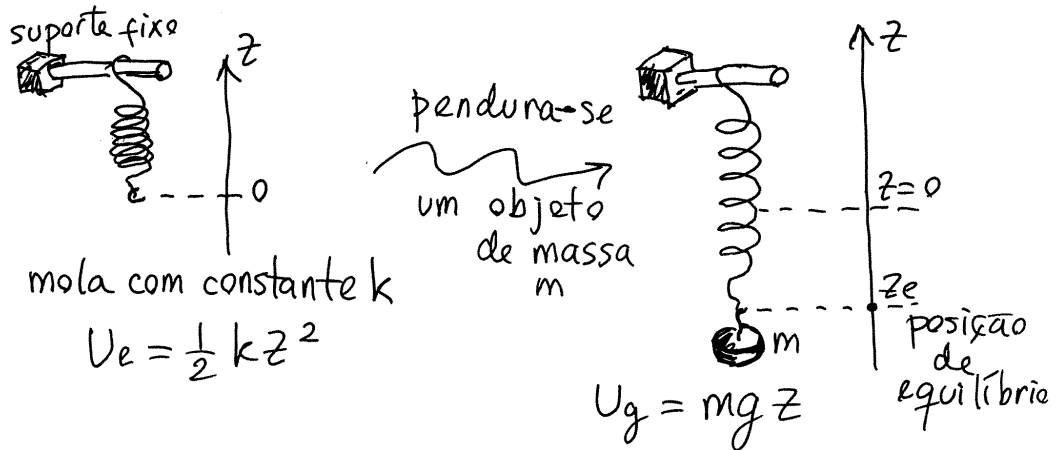
$$\sum_{\text{n.c.}} W_i + U(P) - U(Q) = E_c(Q) - E_c(P)$$

↖ energia potencial total

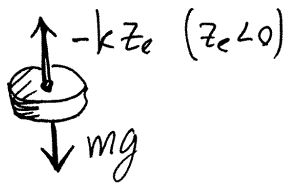
$$\Rightarrow \sum_{\text{n.c.}} W_i = (E_c(Q) + U(Q)) - (E_c(P) + U(P)) = E_m(Q) - E_m(P)$$

- Se  $E_m$  diminui, as forças não conservativas realizam trabalho negativo (dissipam energia)
- Se  $E_m$  aumenta, as forças não conservativas realizam trabalho positivo (fornecem energia)
- Se as forças não conservativas não realizam trabalho, há **conservação da energia mecânica**.

## OSCILADOR HARMÔNICO SIMPLES



Energia potencial total:  $U = U_e + U_g = \frac{k}{2} z^2 + mgz$



na posição de equilíbrio, a força elástica anula o peso:

$$mg = -kz_e$$

$$\Rightarrow z_e = -\frac{mg}{k}$$

e observa-se que  $U$  é mínima em  $z = z_e$ :

$$\frac{dU}{dz} = kz + mg = 0 \Rightarrow z = -\frac{mg}{k} (= z_e)$$

Define-se:  $s = z - z_e = z + \frac{mg}{k}$

$$\Rightarrow U = \frac{k}{2} \left(s - \frac{mg}{k}\right)^2 + mg \left(s - \frac{mg}{k}\right) = \frac{1}{2} ks^2 - \frac{m^2 g^2}{2k}$$

o termo  $-\frac{m^2 g^2}{2k}$ , constante, pode ignorar-se:

$$\boxed{U = \frac{1}{2} ks^2}$$

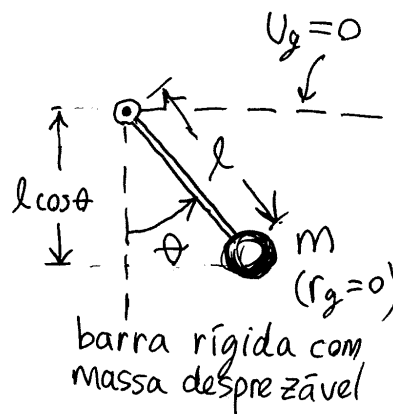
$$E_m = \frac{m}{2} \dot{s}^2 + \frac{k}{2} s^2$$

Não depende de  $g$ !  
a gravidade o único que faz é estabelecer a posição de equilíbrio

## ● PÊNDULO



é equivalente  
a um pêndulo  
simples de  
comprimento,  
 $l = \frac{r_g^2 + r_{cm}^2}{r_{cm}}$



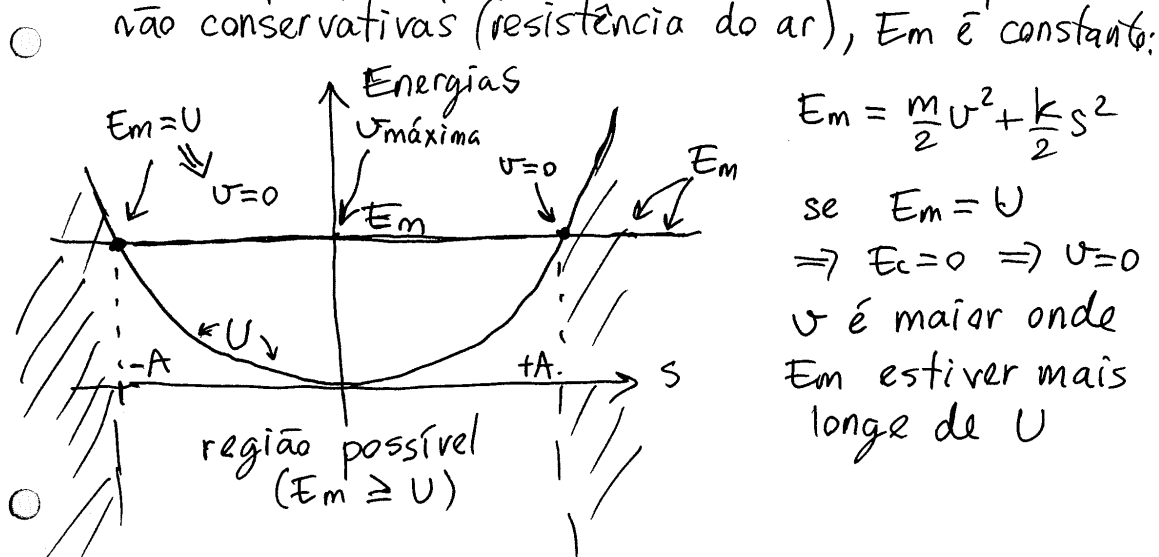
●  $U_g = -mgl \cos \theta$  ,  $v = l \dot{\theta}$

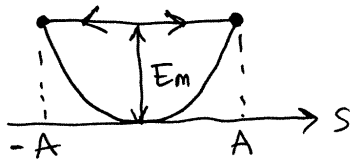
$\Rightarrow E_m = m \left( \frac{1}{2} l^2 \dot{\theta}^2 - gl \cos \theta \right)$

(a esfera de massa)  
m tem  $r_g \neq 0$   
 $\Rightarrow E_{rotação} \neq 0$

## ANÁLISE GRÁFICA

No gráfico da energia potencial total,  $U$ , a energia mecânica deve estar sempre acima de  $U$ , porque  $E_c \geq 0$ . Por exemplo, no oscilador harmônico simples, desprezando o trabalho das forças não conservativas (resistência do ar),  $E_m$  é constante:





O objeto oscila entre  $s = -A$   
e  $s = A$  ( $A = \text{amplitude}$ )  
em  $s = \pm A$ :  $E_m = U$

$$\Rightarrow \frac{k}{2} A^2 = E_m$$

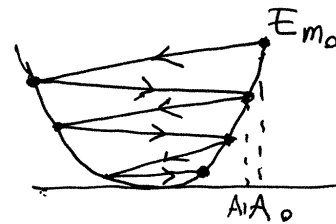
em qualquer outra posição  $s$ , onde  $-A \leq s \leq A$

$$\Rightarrow \frac{1}{2} m v^2 + \frac{1}{2} k s^2 = \frac{1}{2} k A^2$$

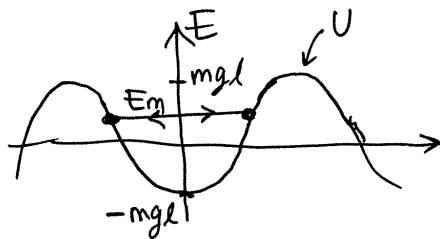
$v$  é máxima em  $s = 0$ :  $\frac{m}{2} v_{\max}^2 = \frac{k}{2} A^2$

$$\Rightarrow v_{\max} = \sqrt{\frac{k}{m}} A$$

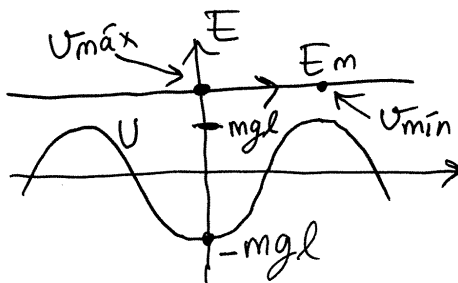
O trabalho da força  
não conservativa (dissipativa)  
faz diminuir  $E_m$  até zero:



### Pêndulo



Se  $E_m < mgL$ ,  
o pêndulo oscila



Se  $E_m > mgL$ , o  
pêndulo roda sempre  
no mesmo sentido.

$E_m = -mgL \Rightarrow \text{repouso}$

$E_m$  não pode ser menor  
que  $-mgL$ .

Aula 17. 21-4-2016

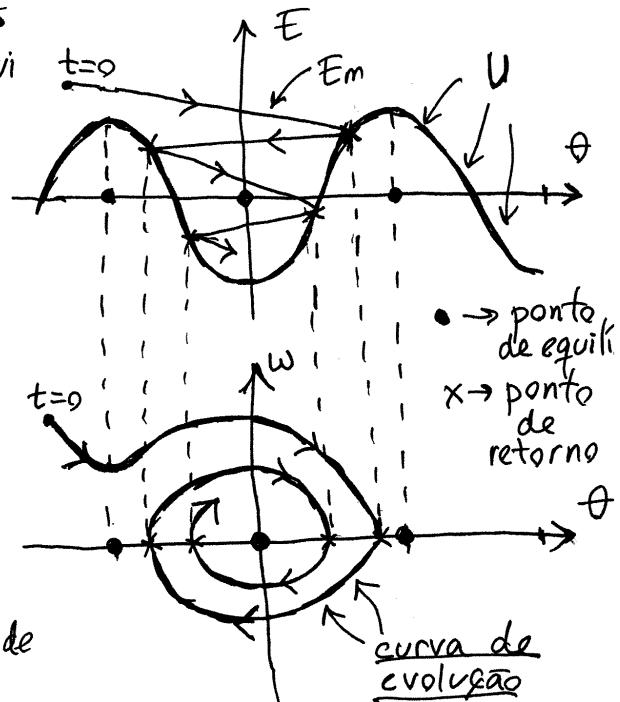
Pêndulo com força de atrito constante no eixo.

### Gráfico de energias

$E_m \geq U$  e  $E_m(t)$  diminui

$$U = -mg\ell \cos \theta$$

$E_c$  está implícita no gráfico (distância entre  $E_m$  e  $U$ )



### Retrato de fase

É mais útil mostrar o gráfico no espaço de fase,  $(\theta, \omega)$

$$E_c = \frac{m}{2} \ell^2 \omega^2$$

$\omega$  diminui ou aumenta onde  $E_c$  diminui ou aumenta.

Cada possível movimento do pêndulo corresponde a uma curva de evolução no espaço de fase.

Dado o estado inicial, em  $t=0$ , pode obter-se a curva de evolução usando o seguinte método:

- (a) Determina-se a equação de movimento, ou seja, a expressão da aceleração  $\ddot{\theta}$ , em função de  $\theta$  e  $\omega$ ; no pêndulo com atrito é:

$$\ddot{\theta} = -\frac{g}{\ell} \sin \theta - k \frac{\omega}{|\omega|} \quad \left( \begin{array}{l} k = \text{constante de atrito} \\ \frac{\omega}{|\omega|} = \pm 1, 0; +1 \text{ se } \omega > 0 \\ -1, \text{ se } \omega < 0, 0 \text{ se } \omega = 0 \end{array} \right)$$

atrito

- (b) A equação de movimento, de 2ª ordem,



- transforma-se num sistema de duas equações diferenciais de 1ª ordem, usando a definição da velocidade angular  $\omega$ :

$$\begin{cases} \dot{\theta} = \omega \\ \dot{\omega} = -\frac{g}{L} \sin \theta - k \frac{\omega}{|\omega|} \end{cases} \quad \left( \begin{array}{l} \text{duas equações} \\ \text{diferenciais de} \\ \text{1ª ordem} \end{array} \right)$$

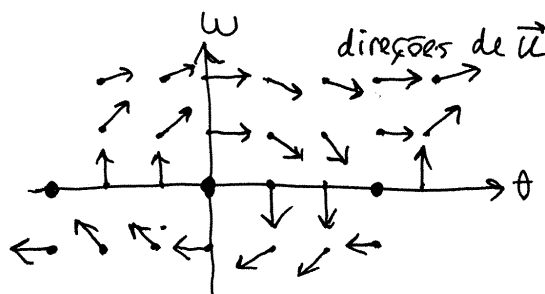
- (c) Define-se a **velocidade de fase**:

$$\vec{u} = (\dot{\theta}, \dot{\omega}) = \left( \omega, -\frac{g}{L} \sin \theta - k \frac{\omega}{|\omega|} \right)$$

$\vec{u}$  é um vetor com diferentes componentes ( $u_x, u_y$ ) em diferentes pontos do espaço de fase.

A direção de  $\vec{u}$  é a direção em que o estado do sistema  $(\theta, \omega)$  se desloca.

- (d) Representa-se a direção de  $\vec{u}$  em vários pontos do espaço de fase, obtendo-se o **campo de direções**



em cada ponto (estado), o sistema evolui na direção de  $\vec{u}$ .

- (e) A partir do estado inicial  $(\theta_0, \omega_0)$  determina-se, numericamente, o estado  $(\theta_1, \omega_1)$  num instante  $\Delta t$  mais tarde:

$$(\theta_1, \omega_1) \approx (\theta_0, \omega_0) + \Delta t \vec{u}_0 \quad \leftarrow \begin{array}{l} \text{valor de } \vec{u} \\ \text{em } (\theta_0, \omega_0) \end{array}$$

e assim sucessivamente em  $t = 2\Delta t, t = 3\Delta t, \dots$

$$(\theta_2, \omega_2) \approx (\theta_1, \omega_1) + \Delta t \vec{u}_1$$

$$(\theta_3, \omega_3) \approx (\theta_2, \omega_2) + \Delta t \vec{u}_2$$

$\vdots$

### Programa plotdf do Maxima.

Dada a expressão de  $\vec{u}$  (lista de duas expressões) e a lista das duas variáveis de estado, plotdf cria o campo de direções e no ponto onde se clicar com o rato, traça a curva de evolução.

Exemplo. Pêndulo com  $l = 61.25 \text{ cm}$  e  $k = 0.4 \text{ s}^{-2}$

$$\Rightarrow \dot{q} = w, \quad \dot{w} = -\frac{9.8}{0.6125} \sin(q) - 0.4 \frac{w}{|w|}$$

$(q \rightarrow \theta)$   $\leftarrow 16$

Comando do Maxima:

$$\text{plotdf}([w, -16 * \sin(q) - 0.4 * w / \text{abs}(w)], [q, w]);$$

## SISTEMAS DINÂMICOS AUTÔNOMOS

Quaisquer sistemas com duas variáveis  $x_1$  e  $x_2$ , que podem ter quaisquer valores num instante inicial, mas nos ... instantes seguintes têm variações conhecidas, dadas por duas funções  $f_1$  e  $f_2$ :

$$\dot{x}_1 = f_1(x_1, x_2) \quad \dot{x}_2 = f_2(x_1, x_2) \quad (\text{equações de evolução})$$

Quando  $f_1$  e/ou  $f_2$  depende também de  $t$ , o sistema é não autónomo.

Espaço de fase : plano  $(x_1, x_2)$

Velocidade de fase : vetor  $(f_1, f_2)$  (tem um valor conhecido em cada ponto  $(x_1, x_2)$ )

Cada curva de evolução, no retrato de fase, representa uma possível solução do sistema.

## PONTOS DE EQUILÍBRIO

São os pontos do espaço de fase onde  $x_1$  e  $x_2$  não variam, ou seja, as soluções do sistema:

$$\begin{cases} f_1(x_1, x_2) = 0 \\ f_2(x_1, x_2) = 0 \end{cases}$$

Nesses pontos,  $\vec{u}$  é nula. Se o estado inicial do sistema for um ponto de equilíbrio, o sistema permanece sempre no mesmo estado.

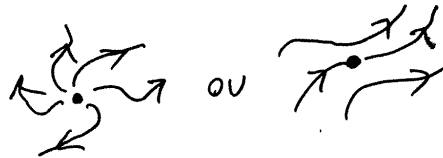
Há dois tipos de pontos de equilíbrio:

① Estável. Na vizinhança do ponto, as curvas de evolução aproximam-se do ponto, ou permanecem na vizinhança.



② Instável.

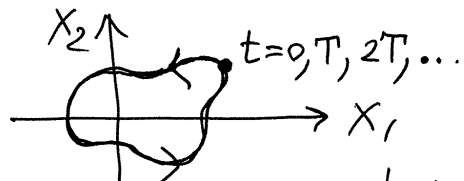
Todas as curvas na vizinhança do ponto (ou algumas delas) afastam-se sem nunca regressar ao ponto.



## CICLOS

qualquer curva de evolução fechada é um ciclo.

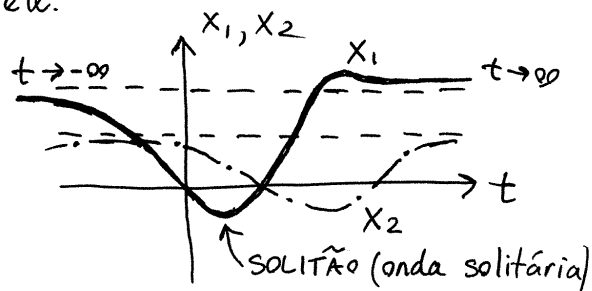
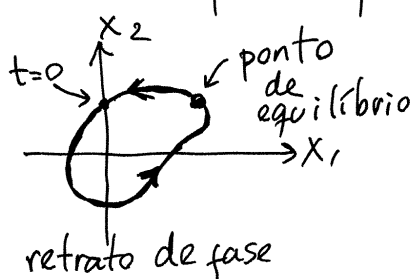
O estado do sistema volta a ser o mesmo estado inicial após um período  $T$  e repete a mesma evolução até  $2T$ ,  $3T$ , etc.



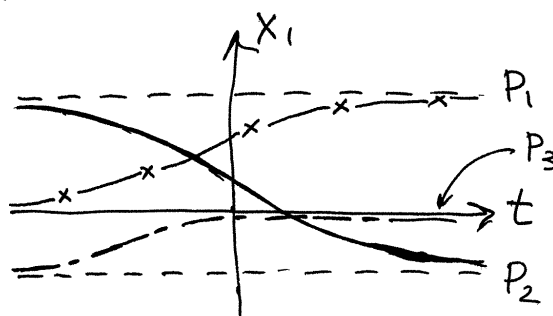
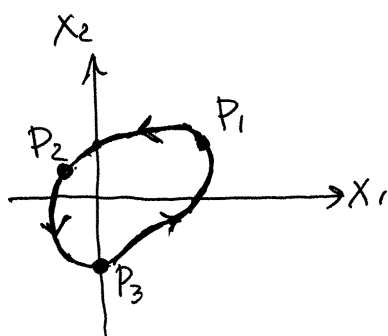
Representam oscilações das variáveis de estado  $x_1$  e  $x_2$ , com período  $T$ .

Aula 18. 22-4-2016

**Órbita homoclínica.** Curva de evolução fechada mas com um ponto de equilíbrio. O sistema não oscila periodicamente, porque quando a curva se aproxima (assintoticamente) do ponto de equilíbrio, não chega nunca a passar por ele.



**Órbita heteroclínica.** Curva de evolução fechada, com dois ou mais pontos de equilíbrio. Se, por exemplo, tiver 3 pontos de equilíbrio,  $P_1$ ,  $P_2$  e  $P_3$ , a curva corresponde realmente a três possíveis soluções diferentes. Uma que evolui de  $P_1$  para  $P_2$ , outra de  $P_2$  para  $P_3$  e a terceira de  $P_3$  para  $P_1$ .



Os pontos de equilíbrio numa órbita homoclínica ou heteroclínica são necessariamente instáveis.

- Exemplo. Analise o retrato de fase do sistema:

$$\dot{x} = -0.2x \sin(0.2xy) + 1.9 \cos(0.8x) \cos(1.9y) - 0.9 \sin(1.3x) \sin(0.9y)$$

$$\dot{y} = 0.2y \sin(0.2xy) + 0.8 \sin(0.8x) \sin(1.9y) - 1.3 \cos(1.3x) \cos(0.9y)$$

Na região  $-5 \leq x \leq 2$ ,  $-2 \leq y \leq 5$ .

Resolução:

$$f: -0.2 * x * \sin(0.2 * x * y) + 1.9 * \cos(0.8 * x) * \cos(1.9 * y) - 0.9 * \sin(1.3 * x) * \sin(0.9 * y);$$

$$g: 0.2 * y * \sin(0.2 * x * y) + 0.8 * \sin(0.8 * x) * \sin(1.9 * y) - 1.3 * \cos(1.3 * x) * \cos(0.9 * y);$$

$$\text{plotdf}([f, g], [x, y], [x, -5, 2], [y, -2, 5]);$$

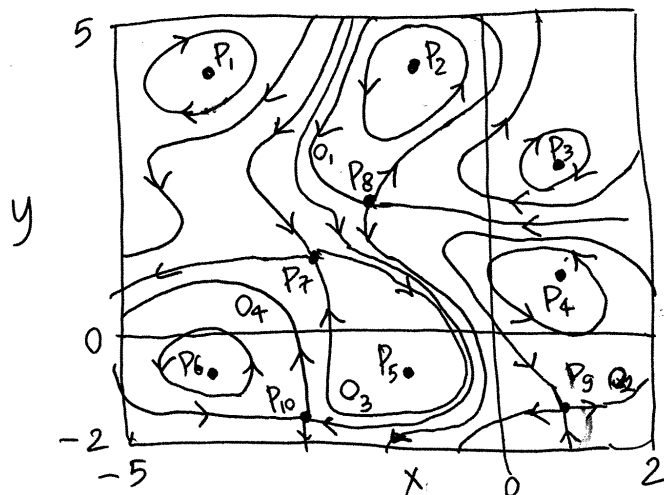
Há seis pontos de equilíbrio estável aproximadamente

$$\text{em: } (-3.72, 4.02), (-0.65, 4.02), (1.08, 2.80), (0.85, 0.64), (-0.82, 0.69) \text{ e } (-3.65, -0.62)$$

e 4 pontos de equilíbrio instável:

$$(-2.43, 1.02), (-1.47, 1.80), (1.25, -1.59), (-2.07, -1.62)$$

- Ciclos à volta dos 6 pontos de equilíbrio estável e 4 órbitas homoclínicas



## SISTEMAS CONSERVATIVOS

Sistema dinâmico com duas variáveis de estado:

$$\begin{aligned}\dot{x}_1 &= f_1(x_1, x_2) & \vec{u} &= f_1 \hat{e}_1 + f_2 \hat{e}_2 \\ \dot{x}_2 &= f_2(x_1, x_2) & & \text{(velocidade de fase)}\end{aligned}$$

Diz-se que o sistema é conservativo se existir uma função  $H(x_1, x_2)$ , chamada função hamiltoniana, que define todas as curvas de evolução:

$$H(x_1, x_2) = C$$

onde  $C$  é uma constante real. Cada possível valor de  $C$  corresponde a uma curva de evolução. Como  $C$  é constante,

$$\Rightarrow \frac{dH}{dt} = 0 \Rightarrow \frac{\partial H}{\partial x_1} \dot{x}_1 + \frac{\partial H}{\partial x_2} \dot{x}_2 = 0$$

$$\Rightarrow \frac{\partial H}{\partial x_1} f_1 + \frac{\partial H}{\partial x_2} f_2 = 0 \quad \text{ou seja, o gradiente de } H, \\ \frac{\partial H}{\partial x_1} \hat{e}_1 + \frac{\partial H}{\partial x_2} \hat{e}_2 \text{ é perpendicular à velocidade de fase.}$$

Um possível vetor perpendicular a  $\vec{u}$  é:

$$-f_2 \hat{e}_1 + f_1 \hat{e}_2 = \frac{\partial H}{\partial x_1} \hat{e}_1 + \frac{\partial H}{\partial x_2} \hat{e}_2$$

$$\Rightarrow \boxed{f_1 = \frac{\partial H}{\partial x_2}, \quad f_2 = -\frac{\partial H}{\partial x_1}} \quad \text{equações de Hamilton}$$

mas nem sempre é possível encontrar  $H$  que verifique essas condições. A condição necessária e suficiente para que exista  $H$  é:

$$\boxed{\frac{\partial f_1}{\partial x_1} + \frac{\partial f_2}{\partial x_2} = 0} \quad \text{divergência da velocidade de fase nula.}$$

Exemplo. No sistema dinâmico estudado no exemplo anterior, a velocidade de fase tem divergência:

$$\text{diff}(f, x) + \text{diff}(g, y)$$

que é exatamente igual a zero. Como tal, é um sistema conservativo. A função hamiltoniana determina-se integrando  $f$  em ordem a  $y$  e comparando com o integral de  $-g$  em ordem a  $x$ .

$$\Rightarrow H(x, y) = \cos(0.2xy) + \cos(0.8x)\sin(1.9y) + \sin(1.3x)\cos(0.9y)$$

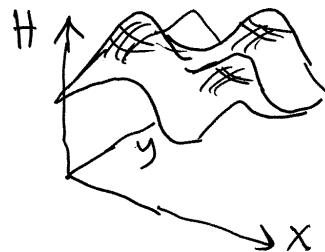
As curvas de evolução do sistema são as curvas de nível de  $H$ . Os pontos de equilíbrio são os máximos, mínimos e pontos de sela de  $H$ .

`plot3d(H, [x, -5, 2], [y, -2, 5]);`

3 máximos  $\rightarrow P_2, P_4, P_6$

3 mínimos  $\rightarrow P_1, P_3, P_5$

4 pontos de sela  $\rightarrow P_7, P_8, P_9, P_{10}$



As curvas de nível de  $H$  podem ser obtidas com o programa `ploteq`:

`ploteq(H, [x, -5, 2], [y, -2, 5]);`

clicar num ponto para traçar a curva de nível que passa por esse ponto.

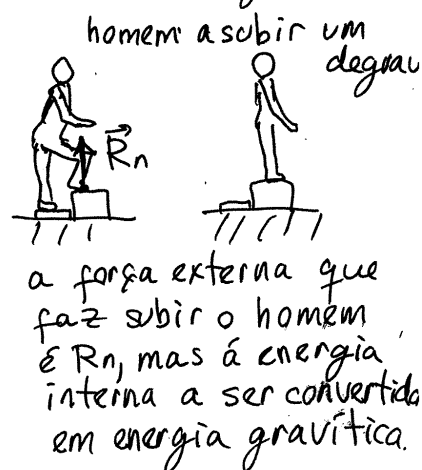
Aula 19. 28-4-2016

## MECÂNICA LAGRANGIANA

O teorema do trabalho e a energia é muito útil mas dá a relação entre as variáveis de estado  $(x, v)$  e não a dependência do tempo.

As equações de Hamilton fornecem as equações de evolução, mas são válidas unicamente em sistemas conservativos e a função hamiltoniana em alguns casos não é a energia mecânica.

A segunda lei de Newton fornece a equação de movimento, mas pode ser necessário dividir o sistema em vários subsistemas e analisar vários diagramas de corpo livre para explicar um sistema



As equações de Lagrange permitem obter as equações de movimento mais facilmente, usando o seguinte método.

- ① Escolhem-se  $n$  coordenadas generalizadas, se o sistema tem  $n$  graus de liberdade:

$\{q_1, q_2, \dots, q_n\}$  podem ser distâncias ou ângulos

- ② As velocidades generalizadas são:

$\{\dot{q}_1, \dot{q}_2, \dots, \dot{q}_n\}$



- escreve-se a expressão da energia cinética total do sistema, em função de  $\{q_1, q_2, \dots, q_n\}$  e  $\{\dot{q}_1, \dot{q}_2, \dots, \dot{q}_n\}$   
 $\nwarrow E_c$

③ Ignoram-se as forças de ligação que reduzem o número de coordenadas; por exemplo, reacção normal, atrito estático, tensão num cabo, etc

Para cada força que não seja de ligação definem-se as respectivas forças generalizadas:

- $Q_j = \vec{F} \cdot \frac{\partial \vec{r}}{\partial q_j} \quad (j=1, 2, \dots, n) \quad \vec{r} = \text{ponto onde é aplicada } \vec{F}$

se houver, por exemplo, 3 forças  $\vec{F}_1, \vec{F}_2$  e  $\vec{F}_3$  nos pontos  $\vec{r}_1, \vec{r}_2$  e  $\vec{r}_3$  as forças generalizadas são:

$$Q_j = \vec{F}_1 \cdot \frac{\partial \vec{r}_1}{\partial q_j} + \vec{F}_2 \cdot \frac{\partial \vec{r}_2}{\partial q_j} + \vec{F}_3 \cdot \frac{\partial \vec{r}_3}{\partial q_j}$$

④ Usam-se as  $n$  equações de Lagrange:

- $$\frac{d}{dt} \left( \frac{\partial E_c}{\partial \dot{q}_j} \right) - \frac{\partial E_c}{\partial q_j} = Q_j \quad j=1, 2, \dots, n$$

obtemo-se  $n$  equações que relacionam as  $n$  acelerações generalizadas:  $\{\ddot{q}_1, \ddot{q}_2, \dots, \ddot{q}_n\}$

### FORÇAS CONSERVATIVAS

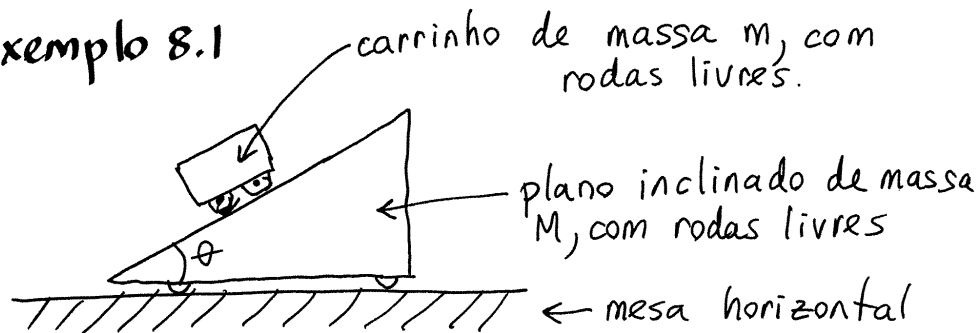
Se  $\vec{F}_2$ , por exemplo, é conservativa, com energia pot.  $U$ ,

$$Q_j = \vec{F}_1 \cdot \frac{\partial \vec{r}_1}{\partial q_j} - (\vec{\nabla} U) \cdot \frac{\partial \vec{r}_2}{\partial q_j} + \vec{F}_2 \cdot \frac{\partial \vec{r}_3}{\partial q_j} = \underbrace{\vec{F}_1 \cdot \frac{\partial \vec{r}_1}{\partial q_j} + \vec{F}_2 \cdot \frac{\partial \vec{r}_3}{\partial q_j}}_{Q_j^{n.c.} \text{ (força general. não conservativa)}} - \frac{\partial U}{\partial q_j}$$

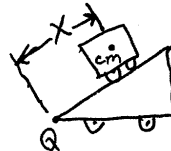
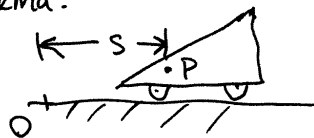
- As equações de Lagrange podem então ser escritas:

$$\boxed{\frac{d}{dt} \left( \frac{\partial E_c}{\partial \dot{q}_j} \right) - \frac{\partial E_c}{\partial q_j} + \frac{\partial U}{\partial q_j} = Q_j^{n.c.}}$$

### Exemplo 8.1



Resolução. Começa-se por ignorar a resistência do ar, o atrito nos eixos das rodas, e o momento de inércia das rodas (rodas pequenas). Como tal, a rotação das rodas não interessa e são necessárias unicamente duas variáveis,  $s$  e  $x$ , para determinar a posição do sistema:



$\Rightarrow$  2 coordenadas generalizadas:  $\{s, x\}$   
e 2 velocidades generalizadas:  $\{\dot{s}, \dot{x}\}$

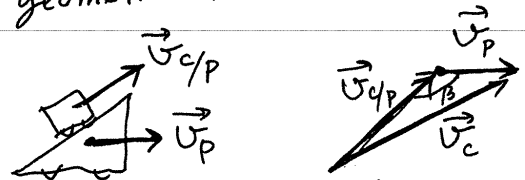
Energia cinética total:  $E_c = \frac{m}{2} v_c^2 + \frac{M}{2} v_p^2$

$v_p$  = velocidade do plano inclinado =  $\dot{s}$

$v_c$  = velocidade do carrinho

$\vec{v}_c = \vec{v}_p + \vec{v}_{c/p}$  ( $\vec{v}_{c/p}$  = velocidade do carrinho relativa ao plano.  $v_{c/p} = \dot{x}$ )

geometricamente:



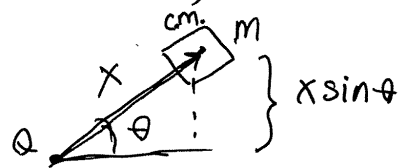
(ou em coordenadas:  
 $\vec{U}_c = (\dot{s}, 0) + (\dot{x} \cos \theta, \dot{x} \sin \theta)$ )

$$\beta = \pi - \theta \quad (\cos \beta = -\cos \theta)$$

$$U_c^2 = U_p^2 + U_{c/p}^2 - 2 U_p U_{c/p} \cos \beta$$

$$= \dot{s}^2 + \dot{x}^2 + 2 \dot{s} \dot{x} \cos \theta$$

$$\Rightarrow E_c = \frac{M}{2} \dot{s}^2 + \frac{m}{2} (\dot{s}^2 + \dot{x}^2 + 2 \dot{s} \dot{x} \cos \theta)$$

Energia potencial total:

$$U = mg x \sin \theta$$

(a energia potencial do plano não interessa porque permanece constante.)

2 Equações de Lagrange:

$$\textcircled{1} \quad \frac{\partial E_c}{\partial x} = 0, \quad \frac{\partial U}{\partial x} = mg \sin \theta, \quad \frac{\partial E_c}{\partial \dot{x}} = m(\dot{x} + \dot{s} \cos \theta)$$

$Q_x = 0$ , porque as únicas forças não conservativas são todas forças de ligação.

$$\Rightarrow \frac{d}{dt} (m(\dot{x} + \dot{s} \cos \theta)) + mg \sin \theta = 0$$

$$\boxed{m\ddot{x} + \dot{s} \cos \theta = -g \sin \theta}$$

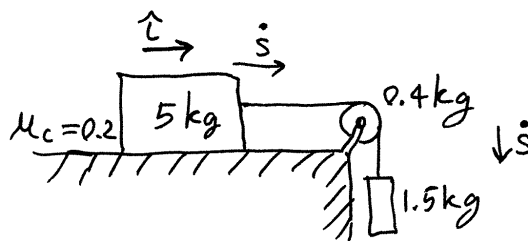
$$\textcircled{2} \quad \frac{\partial E_c}{\partial s} = 0, \quad \frac{\partial U}{\partial s} = 0, \quad \frac{\partial E_c}{\partial \dot{s}} = M\dot{s} + m(\dot{s} + \dot{x} \cos \theta)$$

$$\Rightarrow \boxed{M\ddot{s} + m(\ddot{s} + \ddot{x} \cos \theta) = 0}$$

$$\Rightarrow \begin{cases} \ddot{x} = -\frac{(M+m)g \sin \theta}{M + m \sin^2 \theta} & (\text{constante e negativa}) \\ \ddot{s} = \frac{mg \sin \theta \cos \theta}{M + m \sin^2 \theta} & (\text{constante e positiva}) \end{cases}$$

Aula 20, 29-4-2016

● Problema 5.12



Resolução:

$$E_c = \frac{5}{2} \dot{s}^2 + \frac{1.5}{2} \dot{s}^2 + \frac{1}{2} \left( \frac{0.4}{2} r^2 \right) \left( \frac{\dot{s}}{r} \right)^2 = \left( \frac{5}{2} + \frac{3}{4} + \frac{1}{10} \right) \dot{s}^2 = \frac{67}{20} \dot{s}^2$$

$$U = -1.5 \times 9.8 s = -14.7 s$$

● uma força não conservativa (atrito cinético no bloco):

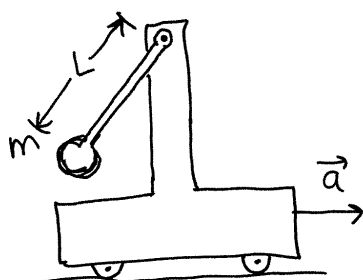
$$\vec{F} = -0.2 \times 5 \times 9.8 \hat{i} = -9.8 \hat{i}, \quad \vec{r}_a = (s+k_1) \hat{i} + k_2 \hat{j}$$

$$\frac{\partial \vec{r}_a}{\partial s} = \hat{i}, \quad Q_s = -2.94$$

$$\Rightarrow \frac{d}{dt} \left( \frac{\partial \left( \frac{67}{20} \dot{s}^2 \right)}{\partial \dot{s}} \right) - \frac{\partial \left( \frac{67}{20} \dot{s}^2 \right)}{\partial s} + \frac{\partial (-14.7 s)}{\partial s} = -9.8$$

$$\frac{67}{10} \ddot{s} = 14.7 - 9.8 \Rightarrow \ddot{s} = 0.7313 \frac{m}{s^2}$$

● Exemplo 8.4



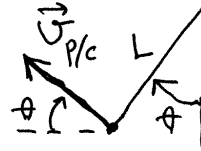
pêndulo de massa  $m$  e comprimento  $L$ , num carrinho com aceleração constante  $\vec{a}$ , horizontal.

● Resolução. velocidade do carrinho:  $\vec{v}_c = at \hat{i}$

- velocidade do pêndulo, em relação ao carrinho:

$$v_{p/c} = L \dot{\theta}$$

$$\vec{v}_{p/c} = L \dot{\theta} (-\cos\theta \hat{i} + \sin\theta \hat{j})$$



velocidade do pêndulo:

$$\vec{v}_p = \vec{v}_{p/c} + \vec{v}_c = (at - L\dot{\theta}\cos\theta)\hat{i} + L\dot{\theta}\sin\theta\hat{j}$$

- $$v_p^2 = a^2 t^2 + L^2 \dot{\theta}^2 - 2aL\dot{\theta}t\cos\theta$$

Considerando unicamente o pêndulo (o movimento do carrinho já está definido), há um grau de liberdade,  $\theta$ .

$$E_c = \frac{m}{2} (a^2 t^2 + L^2 \dot{\theta}^2 - 2aL\dot{\theta}t\cos\theta)$$

$$U = -mgL\cos\theta$$

$$\frac{\partial E_c}{\partial \dot{\theta}} = m(L^2 \dot{\theta} - aL t \cos\theta)$$

- $$\frac{d}{dt} \left( \frac{\partial E_c}{\partial \dot{\theta}} \right) = m(L^2 \ddot{\theta} - aL \cos\theta + aL t \dot{\theta} \sin\theta)$$

$$\frac{\partial E_c}{\partial \theta} = m a L t \dot{\theta} \sin\theta \quad \frac{\partial U}{\partial \theta} = mgL \sin\theta$$

$$\frac{d}{dt} \left( \frac{\partial E_c}{\partial \dot{\theta}} \right) - \frac{\partial E_c}{\partial \theta} + \frac{\partial U}{\partial \theta} = 0 \Rightarrow L^2 \ddot{\theta} - aL \cos\theta + gL \sin\theta = 0$$

$$\boxed{\ddot{\theta} = \frac{a}{L} \cos\theta - \frac{g}{L} \sin\theta}$$

- Pontos de equilíbrio:

$$\frac{a}{L} \cos\theta = \frac{g}{L} \sin\theta \Rightarrow \theta = \tan^{-1} \left( \frac{a}{g} \right)$$

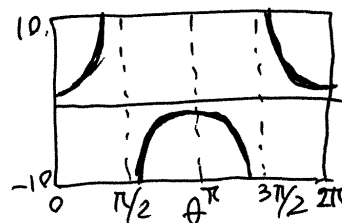
- $\frac{a}{g} > 0 \Rightarrow$  há dois pontos de equilíbrio,  $\theta_0$  entre  $0$  e  $\frac{\pi}{2}$ , e  $\theta_1 = \theta_0 + \pi$   
 A estabilidade dos pontos de equilíbrio determina-se analisando o sinal de:

$$\frac{\partial^2 \ddot{\theta}}{\partial \theta^2} = -\frac{a}{L} \sin \theta - \frac{g}{L} \cos \theta$$

como nos pontos de equilíbrio  $\frac{a}{L} = \frac{g}{L} \tan \theta$ , então,

$$\Rightarrow \frac{\partial^2 \ddot{\theta}}{\partial \theta^2} = -\frac{g}{L} (\sin \theta \tan \theta + \cos \theta)$$

- é negativa em  $\theta_0$  e positiva em  $\theta_1$ . Como tal,  $\theta_0$  é ponto de equilíbrio estável e  $\theta_1$  instável.



Aula 21. 12-5-2016

## SISTEMAS DINÂMICOS LINEARES

Cada uma das componentes da velocidade de fase é uma combinação linear das variáveis de estado. Em duas dimensões, um sistema linear tem então as equações de evolução seguintes:

$$\dot{X}_1 = A_{11}X_1 + A_{12}X_2$$

$$\dot{X}_2 = A_{21}X_1 + A_{22}X_2$$

onde  $A_{11}$ ,  $A_{12}$ ,  $A_{21}$  e  $A_{22}$  são quatro constantes reais. As equações podem ser escritas de forma matricial:

$$\frac{d}{dt} \begin{bmatrix} X_1 \\ X_2 \end{bmatrix} = \begin{bmatrix} A_{11} & A_{12} \\ A_{21} & A_{22} \end{bmatrix} \begin{bmatrix} X_1 \\ X_2 \end{bmatrix}$$

Ou ainda, de forma vetorial:

$$\frac{d\vec{r}}{dt} = A\vec{r}$$

onde  $A$  é um operador linear, que transforma cada vetor  $\vec{r}$ , do espaço de fase, em outro vetor. A velocidade de fase no ponto na posição  $\vec{r}$  é então

$$\vec{u} = A\vec{r}$$

### Pontos de equilíbrio

São todas as soluções do sistema de equações lineares:

$$\begin{bmatrix} A_{11} & A_{12} \\ A_{21} & A_{22} \end{bmatrix} \begin{bmatrix} X_1 \\ X_2 \end{bmatrix} = \begin{bmatrix} 0 \\ 0 \end{bmatrix}$$

Este sistema, homogêneo, tem sempre a solução trivial,

$x_1=0$ ,  $x_2=0$ . Se o determinante da matriz  $A$  for nulo, existem muitas outras soluções. No entanto, se o determinante fosse nulo, as duas equações de evolução seriam equivalentes e o sistema pode ser considerado de primeira ordem.

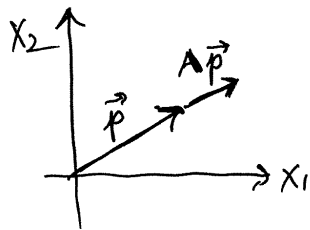
Como tal, nos sistemas lineares (com  $\det A \neq 0$ ) o único ponto de equilíbrio é a origem do espaço de fase.

**Vetores próprios.** Podem existir vetores próprios,  $\vec{p}$ , tal que  $A\vec{p}$  é outro vetor na mesma direção de  $\vec{p}$

ou seja,

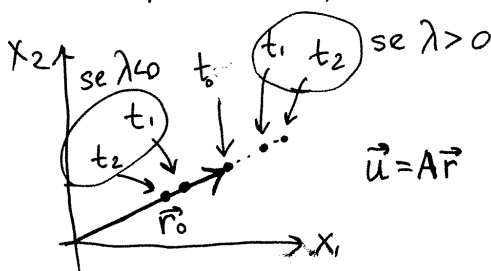
$$A\vec{p} = \lambda \vec{p}$$

$\lambda = \text{constante}$ , chamada VALOR PRÓPRIO.



Se  $\lambda > 0$ ,  $A\vec{p}$  tem o mesmo

sentido de  $\vec{p}$ . Se  $\lambda < 0$ ,  $A\vec{p}$  tem o sentido oposto. ( $\lambda$  não pode ser 0, a menos que  $\vec{p}$  fosse  $\vec{0}$ ).



Se o estado inicial, em  $t_0$ , fosse um vetor próprio de  $A$ , então o estado evoluiria ao longo da reta que passa

pela origem, na direção de  $r_0$ , afastando-se da origem (sistema repulsivo) se  $\lambda > 0$ , ou aproximando-se dela (sistema atrativo) se  $\lambda < 0$ .

$$\vec{r}_n \approx \vec{r}_{n-1} + \frac{\pm}{n} \lambda \vec{r}_{n-1} \approx \vec{r}_{n-2} (1 + \frac{\pm}{n} \lambda)^2 \approx \dots \approx (1 + \frac{\pm}{n} \lambda)^n \vec{r}_0$$

$$\vec{r}(t) = \lim_{n \rightarrow \infty} (1 + \frac{\pm}{n} \lambda)^n \vec{r}_0 = e^{\lambda t} \vec{r}_0$$



## ● Problemas de valores próprios

$$\begin{bmatrix} A_{11} & A_{12} \\ A_{21} & A_{22} \end{bmatrix} \begin{bmatrix} x_1 \\ x_2 \end{bmatrix} = \lambda \begin{bmatrix} x_1 \\ x_2 \end{bmatrix} \Leftrightarrow \begin{bmatrix} A_{11}-\lambda & A_{12} \\ A_{21} & A_{22}-\lambda \end{bmatrix} \begin{bmatrix} x_1 \\ x_2 \end{bmatrix} = 0$$

(sistema homogêneo)

A solução trivial,  $x_1 = x_2 = 0$ , não interessa. Para que existam outras soluções, é necessário e suficiente que o determinante seja nulo:

$$\begin{vmatrix} A_{11}-\lambda & A_{12} \\ A_{21} & A_{22}-\lambda \end{vmatrix} = 0 \Leftrightarrow (\lambda - A_{11})(\lambda - A_{22}) - A_{12}A_{21} = 0$$

$$\Leftrightarrow \lambda^2 - (A_{11} + A_{22})\lambda + A_{11}A_{22} - A_{12}A_{21} = 0$$

$$\Rightarrow \boxed{\lambda^2 - (\text{tr} A)\lambda + \det A = 0} \quad \text{equação dos valores próprios}$$

onde  $\text{tr} A = A_{11} + A_{22}$  é o **traço** da matriz  $A$   
e  $\det A = A_{11}A_{22} - A_{12}A_{21}$  é o seu **determinante**.

● **Exemplo.** Determine os valores e vetores próprios do sistema dinâmico linear:

$$\begin{aligned} \dot{x}_1 &= x_1 + 2x_2 \\ \dot{x}_2 &= 3x_1 + 4x_2 \end{aligned}$$

Resolução.

$$A = \begin{bmatrix} 1 & 2 \\ 3 & 4 \end{bmatrix} \quad \begin{aligned} \text{tr} A &= 5 \\ \det A &= 4 - 6 = -2 \end{aligned}$$

Os valores próprios  $\lambda_1$  e  $\lambda_2$  são os dois números tal que:  $(\lambda - \lambda_1)(\lambda - \lambda_2) = \lambda^2 - 5\lambda - 2 = 0$  (se  $\lambda = \lambda_1$  ou  $\lambda = \lambda_2$ )

- Ou seja, dois números com produto igual a  $-2$  e soma igual a  $5$ :

$$(\lambda - \lambda_1)(\lambda - \lambda_2) = \lambda^2 - (\lambda_1 + \lambda_2)\lambda + \lambda_1\lambda_2 = \lambda^2 - 5\lambda - 2$$

$$\Rightarrow \begin{cases} \lambda_1\lambda_2 = -2 \\ \lambda_1 + \lambda_2 = 5 \end{cases}$$

E podem escreverem-se,

$$\lambda_1 = \frac{5}{2} + \Delta \quad \left( \begin{array}{l} 5/2 \text{ é o} \\ \text{ponto meio} \\ \text{entre } \lambda_1 \text{ e } \lambda_2 \end{array} \right)$$

$$\lambda_2 = \frac{5}{2} - \Delta$$

$$\Rightarrow \lambda_1\lambda_2 = \left(\frac{5}{2} + \Delta\right)\left(\frac{5}{2} - \Delta\right) = \frac{25}{4} - \Delta^2 = -2$$

$$\Delta^2 = \frac{25}{4} + 2 = \frac{33}{4} \Rightarrow \Delta = \pm \frac{\sqrt{33}}{2}$$

$$\Rightarrow \boxed{\lambda_1 = \frac{5 + \sqrt{33}}{2}} \quad \boxed{\lambda_2 = \frac{5 - \sqrt{33}}{2}}$$

Vetores próprios associados a  $\lambda_1$ :

$$\begin{bmatrix} 1 - \frac{5 + \sqrt{33}}{2} & 2 \\ 3 & 4 - \frac{5 + \sqrt{33}}{2} \end{bmatrix} \begin{bmatrix} x_1 \\ x_2 \end{bmatrix} = \begin{bmatrix} 0 \\ 0 \end{bmatrix} \quad \begin{array}{l} \text{basta resolver uma} \\ \text{das duas equações,} \\ \text{porque são equivalentes} \end{array}$$

$$\Rightarrow \left(1 - \frac{5 + \sqrt{33}}{2}\right)x_1 + 2x_2 = 0 \Rightarrow \boxed{x_2 = \frac{\sqrt{33} + 3}{4}x_1}$$

reta com declive positivo passando pela origem.

Vetores próprios associados a  $\lambda_2$ :

$$\left(1 - \frac{5 - \sqrt{33}}{2}\right)x_1 + 2x_2 = 0 \Rightarrow \boxed{x_2 = \frac{3 - \sqrt{33}}{4}x_1}$$

reta com declive negativo, passando pela origem

Aula 22.13-5-2016

**Valores próprios complexos.**

Quando uma matriz  $A$  real tem um valor próprio complexo o seu complexo conjugado também é valor próprio.

$$\text{valores} \begin{cases} \lambda_1 = \alpha + i\Omega \\ \lambda_2 = \alpha - i\Omega \end{cases} \quad (\Omega > 0)$$

Se  $\vec{p}$  for um vetor próprio (complexo) correspondente a  $\lambda_1$ , então

$$\vec{z} = e^{(\alpha + i\Omega)t} \vec{p}$$

é uma solução, complexa, do sistema de equações

$$\begin{bmatrix} \dot{x}_1 \\ \dot{x}_2 \end{bmatrix} = \begin{bmatrix} A_{11} & A_{12} \\ A_{21} & A_{22} \end{bmatrix} \begin{bmatrix} x_1 \\ x_2 \end{bmatrix}$$

Há um teorema que garante que num sistema linear de equações diferenciais as partes real e imaginária de uma solução complexa são soluções (reais) do mesmo sistema.

$$\begin{aligned} e^{(\alpha + i\Omega)t} \vec{p} &= e^{\alpha t} (\cos(\Omega t) + i \sin(\Omega t)) (\vec{a} + i \vec{b}) \\ &= e^{\alpha t} (\cos(\Omega t) \vec{a} - \sin(\Omega t) \vec{b}) + i e^{\alpha t} (\sin(\Omega t) \vec{a} + \cos(\Omega t) \vec{b}) \end{aligned}$$

Assim sendo, a solução geral do sistema é:

$$\vec{r}(t) = e^{\alpha t} \sin(\Omega t) \vec{a} + e^{\alpha t} \cos(\Omega t) \vec{b}$$

Há 3 casos:

$$\textcircled{a} \quad \alpha = 0 \Rightarrow \vec{r}(t) = \sin(\Omega t) \vec{a} + \cos(\Omega t) \vec{b}$$

As duas variáveis de estado  $x_1$  e  $x_2$  repetem-se periodicamente com período:

$$\boxed{T = \frac{2\pi}{\Omega}}$$

- Ou seja, as soluções são **ciclos** e o ponto de equilíbrio na origem chama-se **CENTRO**.
- (b)  $\alpha > 0$ , As soluções são espirais que se afastam da origem, que é **FOCO REPULSIVO** (oscilações com amplitude crescente)
- (c)  $\alpha < 0$ , As soluções são espirais que se aproximam da origem: **FOCO ATRATIVO** (oscilações com amplitude decrescente)

Nos três casos:

- $\Omega = |\text{parte imaginária de } \lambda| = \text{frequência angular das oscilações}$

**Exemplo.** Determine que tipo de ponto de equilíbrio tem o sistema:

$$\dot{x} = -3x + 5y, \quad \dot{y} = -2x - 5y$$

e a forma geral das soluções.

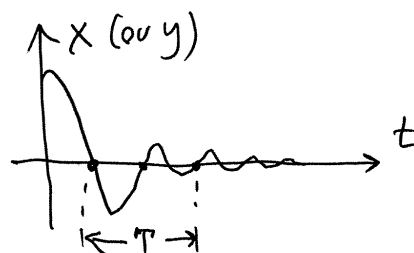
Resolução. No Maxima,

eigenvectors (matrix([-3, 5], [-2, -5]));

- $\hookrightarrow \left[ \left[ \begin{matrix} -3i-4 & 3i-4 \\ 1 & 1 \end{matrix} \right], \left[ \begin{matrix} 1 & 1 \end{matrix} \right], \left[ \left[ \begin{matrix} 1 & -\frac{3i+1}{5} \end{matrix} \right], \left[ \begin{matrix} 1 & \frac{3i-1}{5} \end{matrix} \right] \right] \right]$

$\lambda_1 \quad \lambda_2 \quad \underbrace{n_1 \quad n_2}_{\text{multiplicidades}} \quad \vec{p}_1 \quad \vec{p}_2$

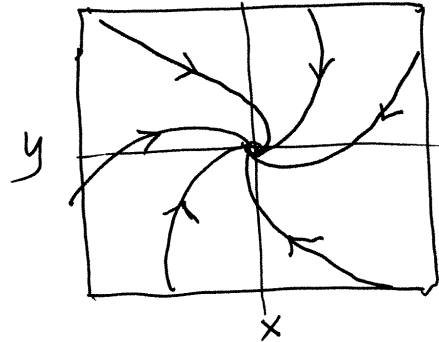
$$\Rightarrow \begin{bmatrix} x \\ y \end{bmatrix} = e^{-4t} \sin(3t) \begin{bmatrix} c_1 \\ c_2 \end{bmatrix} + e^{-4t} \cos(3t) \begin{bmatrix} c_3 \\ c_4 \end{bmatrix}$$



freq. angular =  $\Omega = 3$

período =  $T = \frac{2}{3} \pi$

- Retrato de fase:  $\text{plotdf}([-3*x+5*y, -2*x-5*y]);$



- CLASSIFICAÇÃO DOS PONTOS DE EQUILÍBRIO**

$$\lambda_1 + \lambda_2 = t \quad (\text{traço de } A)$$

$$\lambda_1 \lambda_2 = d \quad (\text{determinante de } A)$$

$$\lambda_1 = \frac{t}{2} + \Delta, \quad \lambda_2 = \frac{t}{2} - \Delta \Rightarrow \frac{t^2}{4} - \Delta^2 = d$$

$$\text{discriminante: } \Delta = \sqrt{\frac{t^2}{4} - d} = \frac{\sqrt{t^2 - 4d}}{2}$$

$$\Rightarrow \boxed{\lambda_{1,2} = \frac{t \pm \sqrt{t^2 - 4d}}{2}}$$

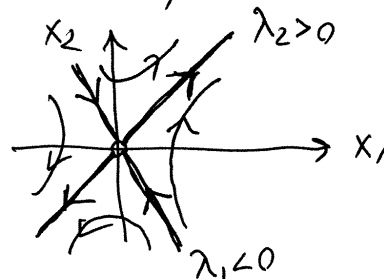
- ①  $t^2 > 4d \Rightarrow 2$  valores próprios reais, diferentes

$$\textcircled{a} \quad d < 0 \Rightarrow \sqrt{t^2 - 4d} \text{ é maior que } t$$

$\Rightarrow 2$  valores próprios reais, com sinais diferentes

**PONTO DE SELA**

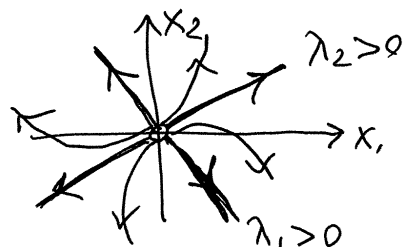
equilíbrio instável



- ⑥  $d > 0$ ,  $\lambda_1$  e  $\lambda_2$  reais, com o mesmo sinal

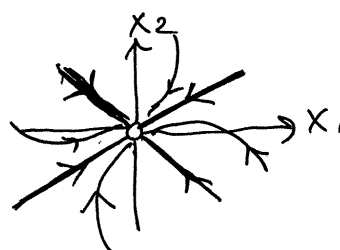
(i)  $t > 0 \Rightarrow \lambda_1, \lambda_2$  positivos

**NÓ REPULSIVO**  
(instável)



(ii)  $t < 0 \Rightarrow \lambda_1, \lambda_2$  negativos

**NÓ ATRATIVO**  
(estável)



- ②  $t^2 < 4d \Rightarrow$  2 valores complexos. Obtem-se os 3 casos já descritos acima
  - $t = 0 \rightarrow$  CENTRO (circles)
  - $t > 0 \rightarrow$  FOCO REPULSIVO (spirals out)
  - $t < 0 \rightarrow$  FOCO ATRATIVO (spirals in)

- ③  $t^2 = 4d \Rightarrow \sqrt{t^2 - 4d} = 0 \Rightarrow \lambda = \frac{t}{2}$   
 $\Rightarrow$  um único valor próprio  $\lambda$ , real.

④  $t > 0 \Rightarrow \lambda > 0$

**NÓ IMPRÓPRIO REPULSIVO**  
(instável)



⑤  $t < 0 \Rightarrow \lambda < 0$

**NÓ IMPRÓPRIO ATRATIVO**  
(estável)



Aula 23. 19-5-2016

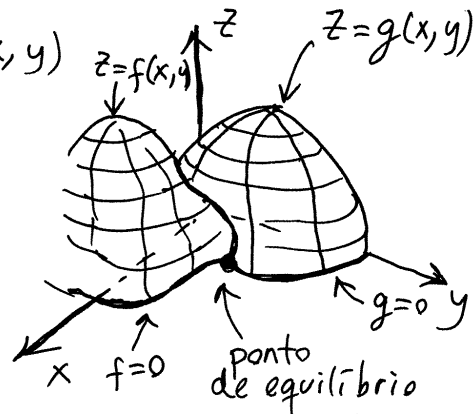
## SISTEMAS NÃO LINEARES

$$\dot{x} = f(x, y)$$

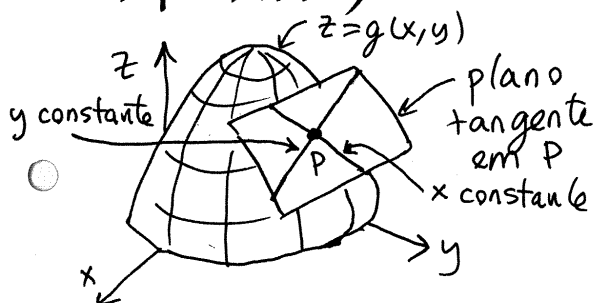
$$\dot{y} = g(x, y)$$

As duas funções  $f$  e  $g$ , contínuas, representam superfícies no espaço  $(x, y, z)$ .

As curvas  $f(x, y) = 0$ , no plano  $(x, y)$ , são as NULCLINAS de  $x$  e as curvas  $g(x, y) = 0$  são as NULCLINAS de  $y$ . Os pontos de equilíbrio são a interseção entre as nulclinas de  $x$  e de  $y$ .



### Aproximação linear



$g_P$  = valor de  $g$  no ponto  $P$  ( $P = (x_P, y_P)$ )

$$(x - x_P) \left( \frac{\partial g}{\partial x} \right)_P = \text{aumento}$$

de  $g$  entre  $P$  e um ponto  $(x, y_P)$ , no plano

$$(y - y_P) \left( \frac{\partial g}{\partial y} \right)_P = \text{aumento de } g \text{ entre } P \text{ e } (x_P, y)$$

O valor da função num ponto  $(x, y)$ , próximo de  $P$ , pode ser obtido, aproximadamente, deslocando-se no plano tangente:

$$g(x, y) \approx g_P + (x - x_P) \left( \frac{\partial g}{\partial x} \right)_P + (y - y_P) \left( \frac{\partial g}{\partial y} \right)_P$$

- E, de forma semelhante,

$$f(x, y) \approx f_p + (x - x_p) \left( \frac{\partial f}{\partial x} \right)_p + (y - y_p) \left( \frac{\partial f}{\partial y} \right)_p$$

Se  $P$  for um ponto de equilíbrio, então  $f_p = 0$ ,  $g_p = 0$  e as aproximações serão:

$$\begin{cases} f(x, y) \approx (x - x_p) \left( \frac{\partial f}{\partial x} \right)_p + (y - y_p) \left( \frac{\partial f}{\partial y} \right)_p \\ g(x, y) \approx (x - x_p) \left( \frac{\partial g}{\partial x} \right)_p + (y - y_p) \left( \frac{\partial g}{\partial y} \right)_p \end{cases}$$

- Deslocando a origem para o ponto  $P$ , ou seja, substituindo  $x$  e  $y$  pelas variáveis

$$x_1 = x - x_p, \quad x_2 = y - y_p$$

$$\Rightarrow \frac{dx_1}{dt} = \frac{dx}{dt}, \quad \frac{dx_2}{dt} = \frac{dy}{dt}$$

e as equações de evolução tomam a forma:

- $$\begin{cases} \dot{x}_1 \approx \left( \frac{\partial f}{\partial x} \right)_p x_1 + \left( \frac{\partial f}{\partial y} \right)_p x_2 \\ \dot{x}_2 \approx \left( \frac{\partial g}{\partial x} \right)_p x_1 + \left( \frac{\partial g}{\partial y} \right)_p x_2 \end{cases} \quad \left( \begin{pmatrix} \left( \frac{\partial f}{\partial x} \right)_p & \left( \frac{\partial f}{\partial y} \right)_p \\ \left( \frac{\partial g}{\partial x} \right)_p & \left( \frac{\partial g}{\partial y} \right)_p \end{pmatrix} \right)$$

(e  $\left( \frac{\partial g}{\partial y} \right)_p$  são constantes)

Que é um sistema dinâmico linear com matriz:

$$A = \begin{bmatrix} \left( \frac{\partial f}{\partial x} \right)_p & \left( \frac{\partial f}{\partial y} \right)_p \\ \left( \frac{\partial g}{\partial x} \right)_p & \left( \frac{\partial g}{\partial y} \right)_p \end{bmatrix}$$

A **matriz jacobiana** (função de  $x$  e  $y$ ) do sistema é:

- $$J(x, y) = \begin{bmatrix} \frac{\partial f}{\partial x} & \frac{\partial f}{\partial y} \\ \frac{\partial g}{\partial x} & \frac{\partial g}{\partial y} \end{bmatrix}$$

Ou seja, em cada ponto de equilíbrio o sistema aproxima-se a um sist. linear, com matriz igual a  $J$ , nesse ponto.



Exemplo. 
$$\begin{cases} \dot{x} = 6y(y^2 + x^2 - 1)^2 - 3x^2y^2 \\ \dot{y} = 2xy^3 - 6x(y^2 + x^2 - 1)^2 \end{cases}$$

$f: 6*y*(y^2 + x^2 - 1)^2 - 3*x^2*y^2$

$g: 2*x*y^3 - 6*x*(y^2 + x^2 - 1)^2$

Pontos de equilíbrio:

$p: \text{solve}([f, g]);$

Há 13 pontos, mas apenas 9 no plano real (os primeiros

7 e os dois últimos):  $\leftarrow$  elimina 6 últimos  $\leftarrow$  elimina 11 primeiros

$p: \text{append}(\text{rest}(p, -6), \text{res}(p, 11));$

Matriz jacobiana:  $J: \text{jacobian}([f, g], [x, y]);$

Matrizes dos 9 sistemas lineares (aproximações nos pontos de equil.)  $A: \text{makelist}(\text{subst}(q, J), q, p);$

Traços e determinantes das 9 matrizes:

$\text{map}(\text{mat\_trace}, A);$

$\text{map}(\text{determinant}, A);$

### Tipos de pontos de equilíbrio

- 3 centros  $\rightarrow P_1 = (0, 0), P_8 = (0.786, 0.963), P_9 = (0.786, 0.963)$   
(traço nulo e determinante positivo).

- 2 pontos de sela  $\rightarrow P_6 = (-0.529, 0.648), P_7 = (0.529, 0.648)$

- 4 PONTOS NÃO-HIPERBÓLICOS  $\leftarrow$  determinante  $< 0$

$P_2 = (0, -1), P_3 = (0, 1), P_4 = (-1, 0), P_5 = (1, 0)$

São os pontos onde o determinante da matriz é nulo, ou seja, a aproximação linear não é suficiente (sistema quadrático). São pontos diferentes aos encontrados nos sistemas lineares

## Retrato de fase

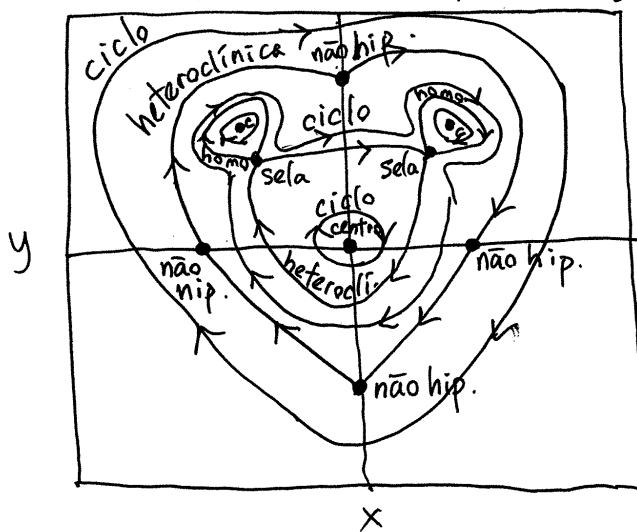
$\text{plotdf}([f,g],[x,y],[x,-2,2],[y,-2,2]);$

Ⓐ Órbita heteroclínica: entre os 4 pontos não hiperbólicos  
 (  $nsteps=70$ ,  $\text{trajectory\_at}=0.005 \text{ } -1.005$  )  
 (  $nsteps=110$ ,  $\text{trajectory\_at}=0.005 \text{ } 1.005$  )

Ⓑ 5 tipos de ciclos: à volta de cada um dos 3 centros e à volta dos 3 centros, dentro e fora da órbita heteroclínica.  
 $nsteps=300$ ,  $\text{fieldlines}=\text{black}$   
 $\text{trajectory\_at} \rightarrow \begin{cases} (0 \text{ } 0.8), (0 \text{ } 1.4), (0 \text{ } 0.5) \\ (0.9 \text{ } 0.1), (-0.9 \text{ } 1) \end{cases}$

Ⓒ 2 órbitas homoclínicas; nos dois pontos de sela  
 $nsteps=300$ ,  $\text{fieldlines}=\text{blue}$   
 $\text{trajectory\_at} \rightarrow (0.5773 \text{ } 0.6502), (-0.5773 \text{ } 0.6502)$

Ⓓ Outra órbita heteroclínica, entre os 2 pontos de sela  
 $nsteps=300$ ,  $\text{fieldlines}=\text{red}$ ,  $\text{trajectory\_at}=0.5179 \text{ } 0.625$



Aula 24. 20-5-2016

**O PÊNDULO**

Já foi obtida a equação de movimento para a aceleração angular  $\alpha$ , numa aula anterior:

$$\begin{cases} \dot{\theta} = \omega \\ \dot{\omega} = -\frac{g}{l} \sin \theta \end{cases} \quad \left( \begin{array}{l} l = \text{comprimento eficaz} \\ \theta = \text{ângulo medido desde} \\ \text{a posição mais baixa} \end{array} \right)$$

trata-se de um sistema dinâmico autônomo, não linear, de segunda ordem e conservativo.

Pontos de equilíbrio.  $\begin{cases} \omega = 0 \\ \sin \theta = 0 \Rightarrow \theta = n\pi \end{cases}$   
( $n = \text{número inteiro}$ )

Matriz jacobiana.

$$J(\theta, \omega) = \begin{bmatrix} \frac{\partial \omega}{\partial \theta} & \frac{\partial \omega}{\partial \omega} \\ \frac{\partial (-\frac{g}{l} \sin \theta)}{\partial \theta} & \frac{\partial (-\frac{g}{l} \sin \theta)}{\partial \omega} \end{bmatrix} = \begin{bmatrix} 0 & 1 \\ -\frac{g}{l} \cos \theta & 0 \end{bmatrix}$$

Nos pontos de equilíbrio  $(\theta, \omega) = (n\pi, 0)$  com  $n = 0, \pm 2, \pm 4, \dots$

$\Rightarrow \cos \theta = 1$  e a matriz do sistema linear

aproximado é:  $A_{n\text{par}} = \begin{bmatrix} 0 & 1 \\ -\frac{g}{l} & 0 \end{bmatrix}$

Com traço  $t = 0$  e determinante  $d = \frac{g}{l} > 0$

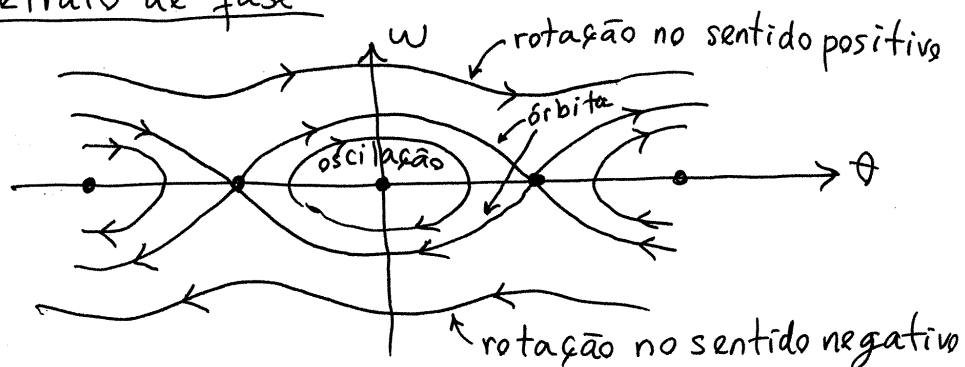
$\Rightarrow (n\pi, 0)$ , com  $n$  par, são centros.

Nos pontos  $(\theta, \omega) = (n\pi, 0)$ ,  $n = \pm 1, \pm 3, \pm 5, \dots$

$$\Rightarrow \cos \theta = -1 \Rightarrow A_{n \text{ ímpar}} = \begin{bmatrix} 0 & 1 \\ \frac{g}{L} & 0 \end{bmatrix}$$

$t=0$ ,  $d = -\frac{g}{L} < 0 \Rightarrow$  são pontos de sela

Retrato de fase



## ESPAÇOS DE FASE COM MAIS DE 2 VARIÁVEIS DE ESTADO

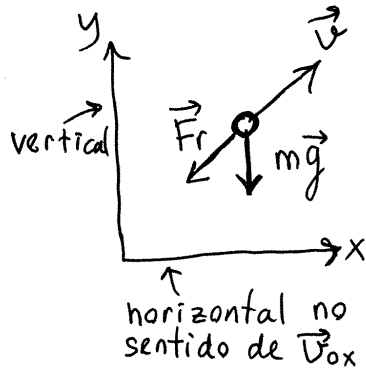
Exemplo 1. Um sistema com duas variáveis  $X_1(t)$  e  $X_2(t)$  e equações de evolução não autônomas pode ser escrito como sistema autônomo com 3 variáveis de estado:

$$\begin{cases} \dot{X}_1 = f_1(X_1, X_2, t) \\ \dot{X}_2 = f_2(X_1, X_2, t) \end{cases}$$

Considera-se  $t$  como terceira variável de estado e acrescenta-se uma terceira equação de evolução (derivada de  $t$ ):

$$\begin{cases} \dot{X}_1 = f_1(X_1, X_2, t) \\ \dot{X}_2 = f_2(X_1, X_2, t) \\ \dot{t} = 1 \quad (f_3(X_1, X_2, t) = 1) \end{cases}$$

- Exemplo 2. Lançamento de um projétil no ar



Força de resistência do ar, para um projétil esférico de raio  $R$ :

$$\vec{F}_r = -\frac{\pi}{4} \rho_{ar} R^2 |\vec{v}| \vec{v}$$

$\rho_{ar}$  = massa volúmica do ar  
 $\approx 1.2 \frac{\text{kg}}{\text{m}^3}$

$$\vec{a} = \frac{\vec{F}_r + m\vec{g}}{m}$$

$$|\vec{v}| \vec{v} = \sqrt{v_x^2 + v_y^2} (v_x \hat{i} + v_y \hat{j})$$

$$\vec{g} = -9.8 \hat{j} \quad (\text{SI})$$

$$\Rightarrow \begin{cases} a_x = -\frac{\pi \rho_{ar} R^2 v_x}{4m} \sqrt{v_x^2 + v_y^2} = \dot{v}_x \\ a_y = -\frac{\pi \rho_{ar} R^2 v_y}{4m} \sqrt{v_x^2 + v_y^2} - 9.8 = \dot{v}_y \end{cases}$$

- O sistema dinâmico tem 4 variáveis de estado:  $(x, y, v_x, v_y)$   
 A solução correspondente a um estado inicial  $(x_0, y_0, v_{0x}, v_{0y})$  pode ser aproximada por uma lista de estados, obtida no Maxima com o programa **rk** (método de Runge-Kutta de 4ª ordem).

**rk** (lista das componentes da veloc. de fase, lista de variáveis, estado inicial, intervalo)

intervalo  $\rightarrow [t, t_0, t_f, \Delta t]$   
 $\uparrow$  nome da variável independente  $\uparrow$  valores inicial e final  $\uparrow$  incrementos de  $t$  entre estados.

No caso de uma bola de t nis, com  $m=0.062\text{ kg}$  e  $R=3.25\text{ cm}$ , lan ada com velocidade inicial de  $12\text{ m/s}$ , inclinada  $45^\circ$  sobre a horizontal, a constante que aparece nas equa  es de movimento   (SI):

$$k: -\pi * 1.2 * 3.25e-2^2 / 4 / 0.062$$

e conv m definir a express o para  $v$ :

$$v: \sqrt{v_x^2 + v_y^2}$$

Uma lista (que chamaremos *track*) com os valores de  $x, y, v_x$  e  $v_y$  em diferentes instantes, entre  $t_0=0$  at   $t_f=2$  (segundos), obt m-se com o comando:

`track: rk([vx,vy,k*v*vx, k*v*vy-9.8]`

`[x,y,vx,vy],[0,0,12*cos(%pi/4),12*sin(%pi/4]`

`[t,0,2,0.1])`

Car m ver o  ltimo ponto na lista:

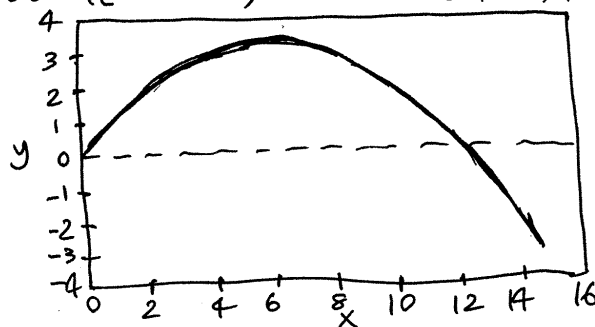
`last(track);`  $\rightarrow [2.0, 14.72, -3.19, 6.31, -10.59]$

$t_f \quad x_f \quad y_f \quad v_{xf} \quad v_{yf}$

Os valores negativos de  $y_f$  e  $v_{yf}$  indicam que a bola j  bateu no ch o. Repete-se o mesmo comando `rk`, com intervalos de  $\Delta t$  menores, at  obter valores convergentes em `last(track)`; neste caso, com  $\Delta t=0.05$  j  se obt m precis o de 5 casas decimais!

O gr fico da trajet ria ( $x$  vs  $y$ ) obt m-se com:

`plot2d([discrete,makelist([p[2],p[3]],p,track)]);`



(N o   uma par bola!)

Aula 25. 27-5-2016

**CICLOS LIMITE**

As curvas de evolução podem aproximar-se assintoticamente (em  $t \rightarrow \infty$  ou  $t \rightarrow -\infty$ ) de um ponto de equilíbrio, mas também, em alguns casos, de uma curva fechada, chamada CICLO LIMITE.

**Exemplo.** 
$$\begin{cases} \dot{x} = x(1-2x^2-3y^2) - y \\ \dot{y} = y(1-2x^2-3y^2) + x \end{cases}$$

$u: [x*(1-2*x^2-3*y^2)-y, y*(1-2*x^2-3*y^2)+x] \$$

$p: \text{solve}(u); \rightarrow [0,0]$

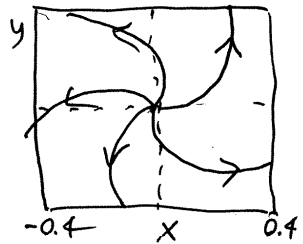
$J: \text{jacobian}(u, [x,y]) \$$

$A: \text{subst}(p[1], J); \rightarrow \begin{bmatrix} 1 & -1 \\ 1 & 1 \end{bmatrix}$

$\text{eigenvalues}(A); \rightarrow \lambda = 1 \pm i$

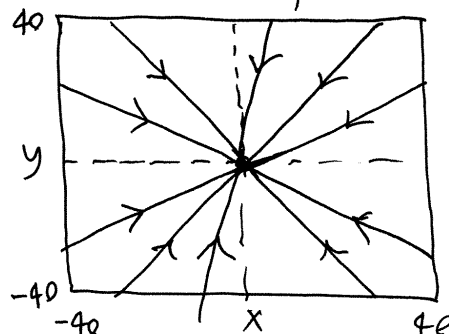
O sistema tem um único ponto de equilíbrio, foco repulsivo, na origem do espaço de fase:

$\text{plotdf}(u, [x,y], [x,-0.4,0.4], [y,-0.4,0.4]);$

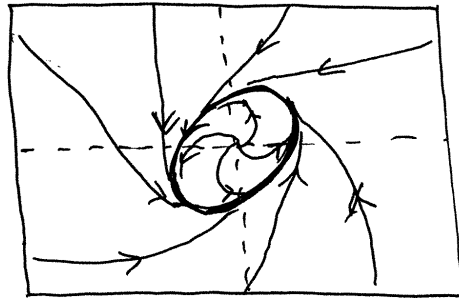


No entanto, o sistema é realmente estável, como mostra uma parte mais alargada do retrato de fase:

$\text{plotdf}(u, [x,y],$   
 $[x,-40,40],$   
 $[y,-40,40])$



- No primeiro gráfico, parece que todas as curvas de evolução afastam-se da origem, mas o segundo gráfico mostra que todas as curvas se aproximam da origem. O que acontece é que há uma curva fechada (ciclo limite) que delimita as duas regiões, em que as curvas se afastam ou se aproximam da origem:  
 $\text{plotdf}(u, [x, y], [x, -1, 1], [y, -1, 1]);$



O ciclo limite corresponde a uma oscilação com amplitude bem definida. Neste caso é um ciclo limite atrativo

## Sistemas com ciclos limite

- relógio de pêndulo



a roda dentada regula a amplitude do pêndulo e as oscilações do pêndulo regulam a velocidade angular da roda

corda de violino

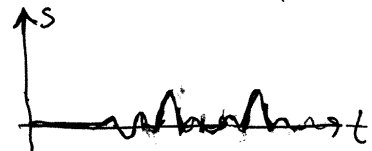


A fricção das cordas do arco obriga as cordas a repetirem um movimento oscilatório com amplitude que depende da pressão e velocidade do arco.

coração



As oscilações do coração seguem um ciclo limite próprio





### Como Encontrar ciclos limite.

a) As curvas dentro dos ciclos limite atrativo têm que partir dum ponto de equilíbrio e as curvas dentro de um ciclo limite repulsivo têm de terminar num ponto de equilíbrio. Como tal, para existirem ciclos limite é necessário que existam pontos de equilíbrio, atrativos ou repulsivos (nós ou focos). Em torno de cada nó ou foco podem existir ciclos limite.

b) Transformando as variáveis de estado,  $(x, y)$ , em coordenadas polares, com origem no ponto de equilíbrio  $(x_e, y_e)$ :

$$\begin{cases} x = x_e + r \cos \theta \\ y = y_e + r \sin \theta \end{cases} \Rightarrow \begin{cases} r = \sqrt{(x - x_e)^2 + (y - y_e)^2} \\ \theta = \tan^{-1} \left( \frac{y - y_e}{x - x_e} \right) \end{cases}$$

consegue-se descobrir mais facilmente a existência de ciclos limite.

No caso do exemplo das duas páginas anteriores,

$$[x_p, y_p] : [r \cdot \cos(q), r \cdot \sin(q)]$$

$$\text{grdef}(r, t, v)$$

$$\text{grdef}(q, t, w)$$

$$\text{subst}([x = x_p, y = y_p], [\text{diff}(x_p, t) = u[1], \text{diff}(y_p, t) = u[2]])$$

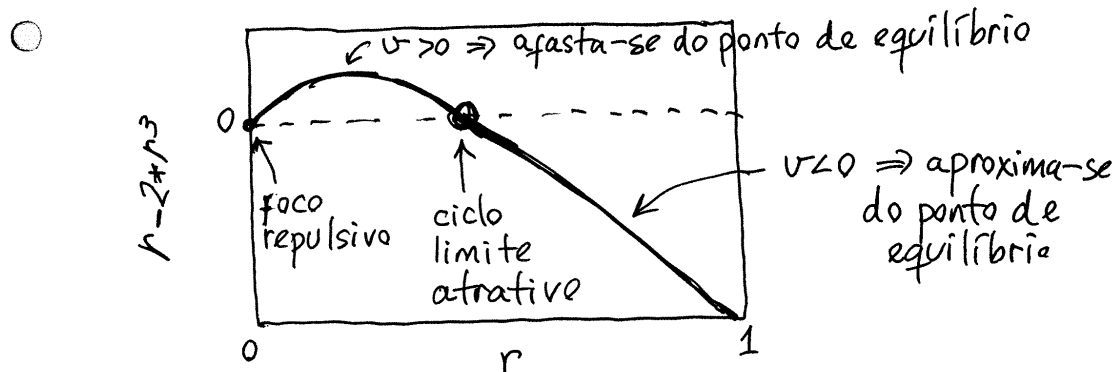
$$\text{solve}(\%, [v, w]);$$

$$\text{trigsimp}(\%);$$

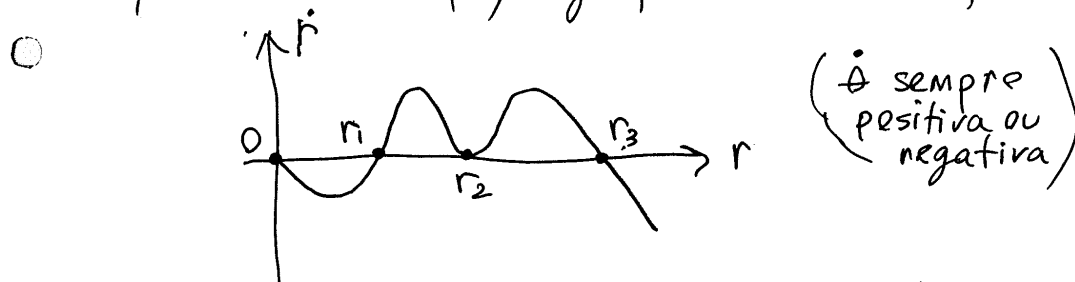
$$\rightarrow [[v = (\cos^2(q) - 3)r^3 + r, w = 1]]$$

- A velocidade angular constante e positiva,  $\dot{\theta} = 1$ , mostra que o estado roda, no sentido anti-horário, à volta do ponto de equilíbrio, a uma taxa constante. Enquanto o estado roda, para determinar se se afasta ou se aproxima do ponto de equilíbrio, observa-se o gráfico de  $V$  vs.  $r$  (para um valor qualquer de  $\theta$ ).

`plot2d(subst(q=0, rhs(%[1] [1])), [r, 0, 1]);`



Se, num outro exemplo, o gráfico de  $\dot{r}$  vs  $r$  fosse:



( $\dot{\theta}$  sempre positiva ou negativa)

- Conclui-se então que o ponto de equilíbrio é um foco atrativo e existem 3 ciclos limite, nas vizinhanças de  $r \approx r_1$  (ciclo repulsivo),  $r \approx r_2$  (nem atrativo nem repulsivo) e  $r \approx r_3$  (ciclo limite atrativo).

Aula 26. 2-6-2016

**DINÂMICA POPULACIONAL**

$x(t)$  = população no instante  $t$ , admitindo que possa ter qualquer valor real,  $x \geq 0$  (positivo)

aumento (ou diminuição) da população:  $\dot{x} = f(x, t)$

Quando a população é extinta,  $x=0$ ,  $\dot{x}$  deve ser também nula. Como tal, a função  $f$  deve verificar:

$$f(0, t) = 0$$

$$\frac{f(x, t)}{x} = \text{taxa de modificação da população} \\ = \text{taxa de natalidade} - \text{taxa de mortalidade}$$

**① Modelo de Malthus**

$$\frac{f(x, t)}{x} = a = \text{constante positiva}$$

$$\Rightarrow \frac{dx}{dt} = f(x, t) = ax \quad (\text{equação de variáveis separáveis})$$

$$\int_{x_0}^x \frac{dx}{x} = \int_0^t a dt \Rightarrow \ln\left(\frac{x}{x_0}\right) = at$$

$$\boxed{x(t) = x_0 e^{at}} \quad \text{aumento exponencial da população.}$$

**② Modelo logístico (ou de Verhulst)**

$$\frac{f(x, t)}{x} = a - bx$$

- taxa de natalidade constante
- taxa de mortalidade aumenta linearmente com o aumento da população

( $a$  e  $b$  constantes positivas)

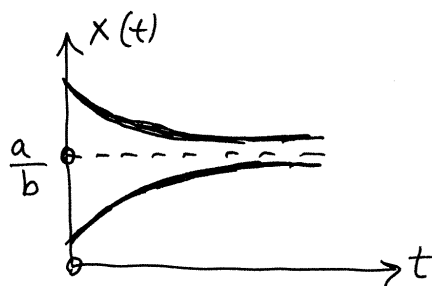
$$\Rightarrow \dot{x} = x(a - bx)$$

- pontos de equilíbrio:  $x(a-bx)=0 \Rightarrow x_1=0, x_2=\frac{a}{b}$

$$\frac{\partial \dot{x}}{\partial x} = a-2bx \quad \text{positiva em } x \in [0, \frac{a}{2b}[$$

$$\text{negativa em } x \in ]\frac{a}{2b}, +\infty[$$

$\Rightarrow x_1=0$  é instável e  $x_2=\frac{a}{b}$  é estável.



a população aproxima-se sempre do valor  $\frac{a}{b}$

## SISTEMAS DE DUAS ESPÉCIES

Dois variáveis de estado,  $x$  e  $y$ , que representam as populações de duas espécies que interagem

$$\begin{aligned} \dot{x} &= f(x, y) & x(t) \geq 0, y(t) \geq 0 \\ \dot{y} &= g(x, y) & f(0, y) = g(x, 0) = 0 \end{aligned}$$

Matriz jacobiana:

$$J(x, y) = \begin{bmatrix} \frac{\partial f}{\partial x} & \frac{\partial f}{\partial y} \\ \frac{\partial g}{\partial x} & \frac{\partial g}{\partial y} \end{bmatrix}$$

$\frac{\partial f}{\partial x}$  : aumento próprio da 1ª espécie

$\frac{\partial f}{\partial y}$  : aumento/diminuição da 1ª espécie, devido à 2ª.

$\frac{\partial g}{\partial y}$  : aumento próprio da 2ª espécie

$\frac{\partial g}{\partial x}$  : aumento/diminuição da 2ª espécie, devido à 1ª

- Há 3 tipos de sistemas de duas espécies:
  - ① Sistema com cooperação.  $\frac{\partial f}{\partial y} > 0, \frac{\partial g}{\partial x} > 0$
  - ② Sistema com competição.  $\frac{\partial f}{\partial y} < 0, \frac{\partial g}{\partial x} < 0$
  - ③ Sistema predador presa. Se  $x$  são predadores e  $y$  presas  $\Rightarrow \frac{\partial f}{\partial y} > 0, \frac{\partial g}{\partial x} < 0$

### SISTEMA DE LOTKA-VOLTERRA

$$\dot{x} = x(a - cy) \quad \dot{y} = y(bx - d)$$

é um sistema predador ( $y$ ) presa ( $x$ ).

- A população de presas aumenta sem limite se não existirem predadores
- A população de predadores extingue-se se não existirem presas.

Pontos de equilíbrio: 
$$\begin{cases} p_1 = (0, 0) \\ p_2 = (\frac{d}{b}, \frac{a}{c}) \end{cases}$$

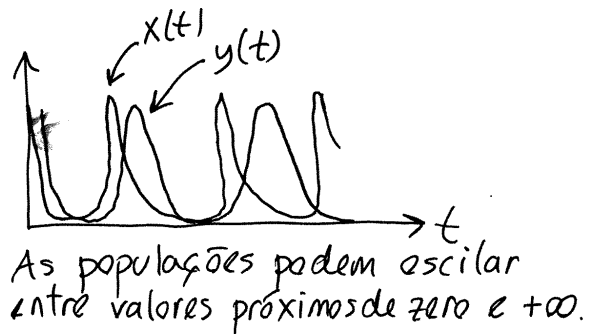
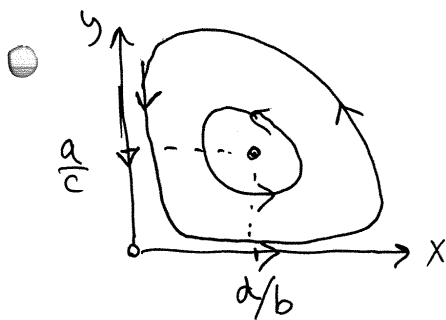
Matriz jacobiana: 
$$J(x, y) = \begin{bmatrix} a - cy & -cx \\ by & bx - d \end{bmatrix}$$

$$A_1 = \begin{bmatrix} a & 0 \\ 0 & -d \end{bmatrix} \quad \lambda_1 = a > 0, \lambda_2 = -d < 0 \Rightarrow p_1 \text{ é ponto de sela}$$

$$A_2 = \begin{bmatrix} 0 & \frac{cd}{b} \\ \frac{ab}{c} & 0 \end{bmatrix} \quad \lambda_1 = i\sqrt{ad}, \lambda_2 = -i\sqrt{ad}$$

$\Rightarrow p_2$  é um centro

$\Rightarrow$  se  $x_0 \neq 0, y_0 \neq 0$ , a curva de evolução é um ciclo.



Um modelo mais realista deverá ter ciclos limite, em vez de ciclos, como no caso do modelo de Holling-Tanner:

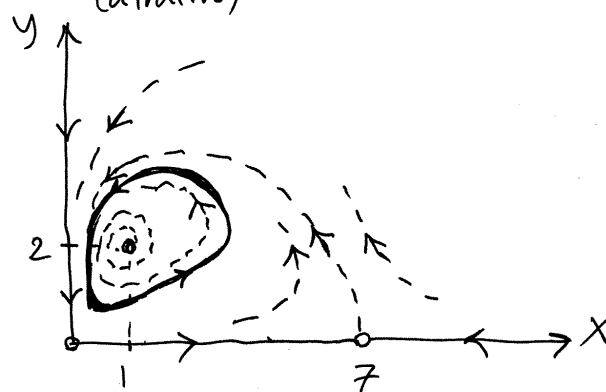
$$\dot{x} = x \left( 1 - \frac{x}{7} \right) - \frac{6xy}{7+7x}$$

$$\dot{y} = \frac{y}{5} \left( 1 - \frac{y}{2x} \right)$$

$x \rightarrow$  presas,  $y \rightarrow$  predadores

3 pontos de equilíbrio:  $p_1 = (0,0)$ ,  $p_2 = (7,0)$ ,  $p_3 = (1,2)$

Um ciclo limite em torno de  $p_3$  (foco repulsivo) (atrativo)



As duas populações acabam sempre oscilando entre valores determinados pelos parâmetros do sistema.

# Capítulo 2

## Exames

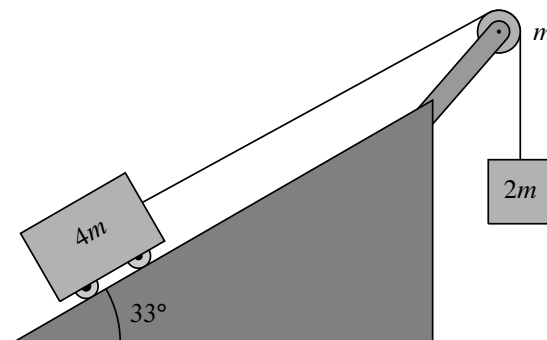
### 2.1 Exame de época normal

O exame realizou-se no dia 21 de junho de 2016. Compareceram 145 estudantes e a nota média foi 10.3 valores. A seguir mostra-se o enunciado de uma das cinco versões. Nas outras versões mudam os valores numéricos, a ordem das perguntas e alguns pormenores que não alteram significativamente as perguntas.

Nome: \_\_\_\_\_

**Duração 2 horas. Prova com consulta de formulário e uso de computador.** O formulário pode ocupar apenas uma folha A4 (frente e verso) e o computador pode ser usado unicamente para realizar cálculos e não para consultar apontamentos ou comunicar com outros! Use  $g = 9.8 \text{ m/s}^2$ .

1. (4 valores) Um bloco de massa  $2m$  está pendurado por um fio vertical que está ligado no outro extremo a um carrinho de massa  $4m$ , passando por uma roldana de massa  $m$ , onde  $m = 100 \text{ g}$ . O carrinho encontra-se na superfície de um plano inclinado  $33^\circ$  em relação à horizontal e a roldana é um disco homogêneo de raio  $R$  (momento de inércia  $I_{\text{cm}} = m R^2/2$ ). A massa do fio e das rodas do carrinho são desprezáveis. O fio faz rodar a roldana, sem deslizar sobre ela. Determine o valor da aceleração do carrinho, ignorando as forças não conservativas (resistência do ar e atrito nos eixos das rodas e da roldana) e o sentido dessa aceleração (para cima ou para baixo do plano inclinado?).



2. (4 valores) Determine a posição dos pontos de equilíbrio e o tipo de cada um desses pontos, no sistema dinâmico com as seguintes equações de evolução:

$$\dot{x} = y^3 - 4x \quad \dot{y} = y^3 - y - 3x$$

Diga se o sistema corresponde ou não às seguintes categorias de sistemas: (a) autónomo, (b) linear, (c) conservativo, (d) pedador presa (todas as suas respostas devem ser argumentadas corretamente).

**PERGUNTAS.** Respostas certas, 0.8 valores, erradas, -0.2, em branco, 0.

3. O sistema de Lotka-Volterra consegue explicar muito bem a evolução de um sistema predador presa mas tem uma grande desvantagem que outros sistemas tentam corrigir. Qual é essa desvantagem?
- (A) Cada uma das populações pode aumentar indefinidamente.  
(B) Nenhuma das duas populações atinge nunca um valor constante.  
(C) Nenhuma das duas populações pode chegar a extinguir-se totalmente.  
(D) Cada uma das populações oscila indefinidamente.  
(E) Cada uma das populações pode oscilar entre um valor muito baixo e um valor muito elevado.

Resposta:

4. Determine o valor da componente normal da aceleração dum ponto, no instante em que o seu vetor velocidade é  $3\hat{i} + 6\hat{j}$  e o vetor aceleração é  $-5\hat{i} + 6\hat{j}$  (unidades SI).

- (A)  $7.6 \text{ m/s}^2$  (C)  $21.0 \text{ m/s}^2$  (E)  $48.0 \text{ m/s}^2$   
(B)  $3.13 \text{ m/s}^2$  (D)  $7.16 \text{ m/s}^2$

Resposta:

5. As equações dum sistema dinâmico com variáveis de estado  $(x, y)$  foram transformadas para coordenadas polares  $(r, \theta)$ , obtendo-se as equações:  $\dot{\theta} = -2$   $\dot{r} = 3r - r^2$ . Como tal, conclui-se que o sistema tem um ciclo limite:

- (A) atrativo com  $r = 2$  (D) atrativo com  $r = 3$   
(B) repulsivo com  $r = 2$  (E) repulsivo com  $r = 3$   
(C) atrativo com  $r = 0$

Resposta:

6. Um corpo de  $18 \text{ kg}$  desloca-se ao longo do eixo dos  $x$ . A força resultante sobre o corpo é conservativa, com energia potencial dada pela expressão  $3 + 5x^2$  (SI). Se o corpo passa pela origem com velocidade  $9\hat{i}$ , com que energia cinética chegará ao ponto  $x = 7 \text{ m}$ ?

- (A)  $2420.0 \text{ J}$  (C)  $145.2 \text{ J}$  (E)  $4114.0 \text{ J}$   
(B)  $1210.0 \text{ J}$  (D)  $484.0 \text{ J}$

Resposta:

7. Aplica-se uma força  $5\hat{i} + 4\hat{j}$  num ponto com vetor posição  $4\hat{i} - 1\hat{j}$  (unidades SI). Determine o módulo do momento dessa força, em relação à origem.

- (A)  $33 \text{ N}\cdot\text{m}$  (C)  $16 \text{ N}\cdot\text{m}$  (E)  $11 \text{ N}\cdot\text{m}$   
(B)  $21 \text{ N}\cdot\text{m}$  (D)  $24 \text{ N}\cdot\text{m}$

Resposta:

8. A matriz dum sistema dinâmico linear é (unidades SI):

$$\begin{bmatrix} 2 & 4 \\ -5 & -2 \end{bmatrix}$$

Como é a evolução das variáveis de estado em função do tempo?

- (A) Oscilam com período  $\pi$  e amplitude decrescente.  
(B) Oscilam com período igual a  $\pi$  e amplitude constante.  
(C) Oscilam com período  $\pi/2$  e amplitude constante.  
(D) Oscilam com período  $\pi/2$  e amplitude decrescente.  
(E) Oscilam com período  $\pi/2$  e amplitude crescente.

Resposta:



9. Uma partícula desloca-se numa trajetória circular sob a ação duma força tangencial resultante  $F_t = 3 \cos(\theta)$ , onde  $\theta$  é o ângulo medido ao longo do círculo. Qual dos valores de  $\theta$  na lista seguinte corresponde a um ponto de equilíbrio instável?

(A)  $\pi/2$  (C) 0 (E)  $3\pi/2$   
(B)  $2\pi$  (D)  $\pi$

Resposta:

10. A projeção  $x$  da aceleração duma partícula aumenta em função do tempo, de acordo com a expressão  $a_x = 3t$  (unidades SI). No instante  $t = 0$  a projeção  $x$  da velocidade é nula e a componente da posição é  $x = 4$  m. Determine a projeção  $x$  da posição em  $t = 6$  s.

(A) 112.0 m (C) 56.0 m (E) 336.0 m  
(B) 694.4 m (D) 280.0 m

Resposta:

11. Uma partícula de massa  $m$  desloca-se ao longo da curva  $y = x^2/2$ , no plano horizontal  $xy$ . Assim sendo, basta uma única variável generalizada para descrever o movimento; escolhendo a variável  $x$ , a expressão da energia cinética é  $E_c = \frac{m\dot{x}^2}{2} (1 + x^2)$ . Encontre a expressão para a força generalizada  $Q_x$  responsável pelo movimento da partícula.

(A)  $m\ddot{x}(1 + x^2) + 2mx\dot{x}$   
(B)  $\frac{m\ddot{x}}{2}(1 + x^2) + 1mx\dot{x}^2$   
(C)  $\frac{m\ddot{x}}{2}(1 + x^2) - 2mx^3\dot{x}^2$   
(D)  $\frac{m\ddot{x}}{2}(1 + x^2) - 2mx\dot{x}$   
(E)  $m\ddot{x}(1 + x^2) + 1mx\dot{x}^2$

Resposta:

12. O vetor velocidade do objeto 1, em função do tempo, é:  $\vec{v}_1 = (1 - 6t)\hat{i} + 8t\hat{j}$  (unidades SI) e o vetor velocidade do objeto 2, no mesmo referencial, é:  $\vec{v}_2 = 3t\hat{i} + (1 - 5t)\hat{j}$ . Determine o vetor aceleração do objeto 1 em relação ao objeto 2.

(A)  $3\hat{i} + 3\hat{j}$  (D)  $9\hat{i} + 3\hat{j}$   
(B)  $9\hat{i} - 3\hat{j}$  (E)  $-3\hat{i} + 13\hat{j}$   
(C)  $-9\hat{i} + 13\hat{j}$

Resposta:

13. Se  $x \geq 0$  e  $y \geq 0$ , qual dos seguintes sistemas é um sistema de duas espécies com competição?

(A)  $\dot{x} = x^2 + xy$   $\dot{y} = y^2 + xy$   
(B)  $\dot{x} = y^2 - xy$   $\dot{y} = x^2 - xy$   
(C)  $\dot{x} = x^2 - xy$   $\dot{y} = y^2 - xy$   
(D)  $\dot{x} = xy - x^2$   $\dot{y} = y^2 - x^2$   
(E)  $\dot{x} = y^2 - xy$   $\dot{y} = x^2 + xy$

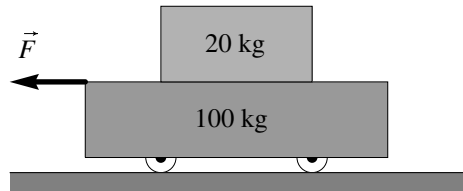
Resposta:

14. O vetor velocidade duma partícula, em função do tempo, é:  $2t^2\hat{i} + 2t^3\hat{j}$  (unidades SI). Encontre a expressão para o módulo da aceleração.

(A)  $6t^2$  (D)  $\sqrt{36t^4 + 16t^2}$   
(B)  $4t$  (E)  $6t^2 + 4t$   
(C)  $\sqrt{6t^2 + 4t}$

Resposta:

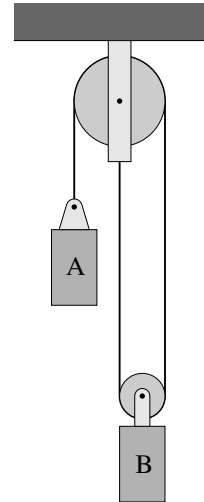
15. A força  $\vec{F}$ , com módulo de 54 N, faz acelerar os dois blocos na figura, sobre uma mesa horizontal, sem que o bloco de cima deslize em relação ao outro bloco. As forças de atrito nas rodas podem ser desprezadas. Calcule o módulo da força de atrito entre os dois blocos.



(A) 8 N (C) 9 N (E) 7 N  
(B) 5 N (D) 6 N

Resposta:

16. Na figura, a roldana fixa tem raio de 6 cm, a roldana móvel tem raio de 3 cm e o fio faz rodar as roldanas sem deslizar sobre elas. No instante em que o bloco A desce, com velocidade de valor 18 cm/s, qual o valor da velocidade angular da roldana móvel?



(A) 12 rad/s (C) 6 rad/s (E) 3 rad/s  
(B) 18 rad/s (D) 9 rad/s

Resposta:

17. A equação diferencial:

$$\ddot{x} - x^2 + x + 6 = 0$$

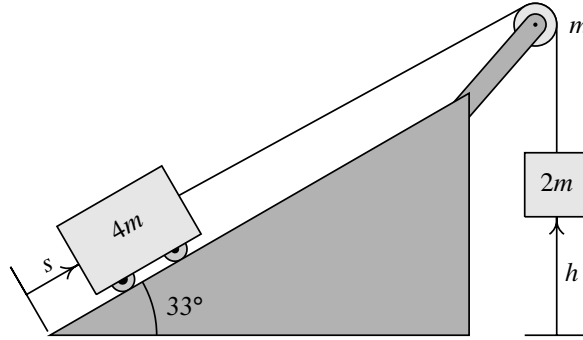
é equivalente a um sistema dinâmico com espaço de fase  $(x, \dot{x})$ . Qual dos pontos na lista é ponto de equilíbrio desse sistema?

(A)  $(-3, 0)$  (C)  $(1, 0)$  (E)  $(0, 0)$   
(B)  $(-1, 0)$  (D)  $(3, 0)$

Resposta:

### 2.1.2 Resolução

**Problema 1.** Para descrever o movimento do sistema são necessárias três variáveis. Duas variáveis  $s$  e  $h$ , para determinar as posições do carrinho e do bloco, que podem ser definidas como mostra a figura seguinte, e um ângulo  $\theta$  que determina a rotação da roldana.



Como o fio faz rodar a roldana sem deslizar nela, o ângulo que a roldana roda (no sentido dos ponteiros do relógio) está relacionado com a posição do carrinho:  $\theta = s/R + \text{constante}$  e, como tal, a velocidade angular da roldana é:

$$\omega = \frac{v}{R}$$

onde  $v = \dot{s}$  é a velocidade do carrinho. O comprimento do fio é igual a

$$L = \text{constante} - s - h$$

e, como permanece constante, a velocidade do bloco é igual a menos a velocidade do carrinho:

$$\dot{h} = -v$$

Assim sendo, o sistema tem um único grau de liberdade,  $s$ , e uma única velocidade generalizada,  $v$ .

**Resolução por mecânica de Lagrange.** A expressão da energia cinética total dos três objetos é:

$$E_c = \frac{1}{2}(4m)\dot{s}^2 + \frac{1}{2}(2m)\dot{h}^2 + \frac{1}{2}\left(\frac{mR^2}{2}\right)\omega^2 = 2m v^2 + m v^2 + \frac{1}{4}m v^2 = \frac{13}{4}m v^2$$

E a expressão da energia potencial gravítica (ignorando a da roldana que permanece constante) é:

$$U = 4mgs \sin(33^\circ) + 2mgh = 4mgs \sin(33^\circ) - 2mgs + \text{constante}$$

A equação de movimento obtém-se a partir da equação de Lagrange:

$$\frac{d}{dt} \left( \frac{\partial E_c}{\partial v} \right) - \frac{\partial E_c}{\partial s} + \frac{\partial U}{\partial s} = \frac{13}{2} m a + 4 m g \sin(33^\circ) - 2 m g = 0$$

E a aceleração do carrinho é então,

$$a = \frac{4g}{13} (1 - 2 \sin(33^\circ)) = -0.2692 \frac{m}{s^2}$$

O sinal negativo indica que a aceleração é para baixo do plano inclinado (a velocidade do carrinho,  $v$ , é uma variável de estado que pode ser positiva ou negativa, ou seja, para cima ou para baixo).

**Resolução por mecânica vetorial.** A figura ao lado mostra o diagrama de corpo livre do carrinho. A soma das componentes das forças normais ao plano deve ser nula e a soma das componentes das forças tangentes ao plano é igual a:

$$T_1 - 4 m g \sin(33^\circ) = 4 m a \implies T_1 = 4 m (a + g \sin(33^\circ)) \quad (2.1)$$

A figura ao lado mostra o diagrama de corpo livre do bloco. Como na equação do carrinho admitiu-se que a aceleração  $a$  era para cima do plano, então a aceleração do bloco é  $a$ , para baixo, e a equação de movimento é:

$$2 m g - T_2 = 2 m a \implies T_2 = 2 m (g - a) \quad (2.2)$$

Na roldana atuam as tensões nos dois lados do fio, o seu peso e uma força de contato no eixo (diagrama ao lado). A soma dessas forças deve ser nula e a soma dos momentos, em relação ao eixo, é:

$$T_2 R - T_1 R = \left( \frac{m R^2}{2} \right) \alpha \implies T_2 - T_1 = \frac{m}{2} a$$

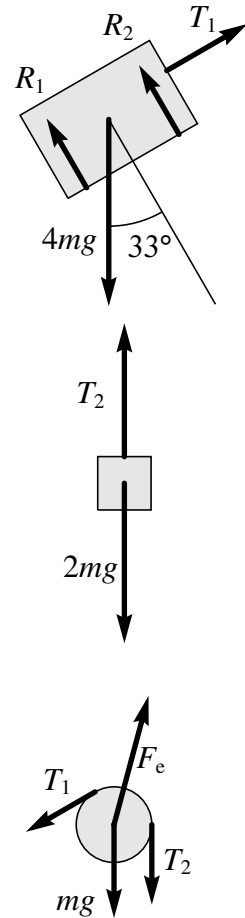
Substituindo nesta expressão as equações (2.1) e (2.2), obtém-se a mesma expressão da aceleração obtida pelo método de mecânica de Lagrange.

**Problema 2.** Os pontos de equilíbrio são as soluções das duas equações:

$$y^3 - 4x = 0 \quad y^3 - y - 3x = 0$$

Subtraindo as duas equações obtém-se  $y = x$ , ou seja,

$$x^3 - 4x = x(x^2 - 4) = x(x+2)(x-2) = 0$$



Como tal, há três pontos de equilíbrio  $(x, y)$ :

$$P_1 = (0, 0) \quad P_2 = (2, 2) \quad P_3 = (-2, -2)$$

Derivando as duas expressões das equações de evolução, obtém-se a matriz jacobiana:

$$\mathbf{J} = \begin{bmatrix} -4 & 3y^2 \\ -3 & 3y^2 - 1 \end{bmatrix}$$

No ponto  $P_1$ , a matriz da aproximação linear é então,

$$\mathbf{A}_1 = \begin{bmatrix} -4 & 0 \\ -3 & -1 \end{bmatrix}$$

que tem valores próprios  $-4$  e  $-1$  e, como tal,  $P_1$  é um nó atrativo.

Nos pontos  $P_2$  e  $P_3$  obtém-se a mesma matriz para a aproximação linear,

$$\mathbf{A}_2 = \mathbf{A}_3 = \begin{bmatrix} -4 & 12 \\ -3 & 11 \end{bmatrix}$$

Que tem determinante igual a  $-8$ . Conclui-se então que  $P_2$  e  $P_3$  são ambos pontos de sela.

(a) O sistema é autónomo, porque as expressões das equações de evolução não dependem explicitamente do tempo. (b) Não é um sistema linear, porque a matriz jacobiana não é constante. (c) Não é sistema conservativo, porque o traço da matriz jacobiana, igual a  $3y^2 - 5$ , não é nulo. (d) Não pode ser sistema predador presa, porque não é um sistema de duas espécies, já que  $y^3 - 4x$  não se aproxima de zero quando  $x$  se aproxima de zero e  $y^3 - y - 3x$  não se aproxima de zero quando  $y$  se aproxima de zero.

### Perguntas

- |       |       |
|-------|-------|
| 3. E  | 11. E |
| 4. D  | 12. C |
| 5. D  | 13. C |
| 6. D  | 14. D |
| 7. B  | 15. C |
| 8. C  | 16. E |
| 9. E  | 17. D |
| 10. A |       |

### 2.1.3 Cotações

#### Problema 1

Mecânica de Lagrange.

- Determinação do grau de liberdade e relações entre as velocidades e acelerações 0.8
- Expressão para a energia cinética do sistema \_\_\_\_\_ 0.8
- Expressão para a energia potencial do sistema \_\_\_\_\_ 0.8
- Aplicação da equação de Lagrange para obter a equação de movimento \_\_\_\_\_ 0.8
- Valor da aceleração do carrinho, com unidades corretas \_\_\_\_\_ 0.4
- Indicação do sentido da aceleração do carrinho \_\_\_\_\_ 0.4

Mecânica vetorial.

- Determinação do grau de liberdade e relações entre as velocidades e acelerações 0.8
- Diagrama de corpo livre e equação de movimento do carrinho \_\_\_\_\_ 0.8
- Diagrama de corpo livre e equação de movimento do bloco \_\_\_\_\_ 0.8
- Diagrama de corpo livre e equação de movimento da roldana \_\_\_\_\_ 0.8
- Valor da aceleração do carrinho, com unidades corretas \_\_\_\_\_ 0.4
- Indicação do sentido da aceleração do carrinho \_\_\_\_\_ 0.4

#### Problema 2

- Determinação dos 3 pontos de equilíbrio \_\_\_\_\_ 0.4
- Obtenção da matriz jacobiana \_\_\_\_\_ 0.4
- Caracterização do ponto de equilíbrio na origem \_\_\_\_\_ 0.4
- Caracterização dos dois pontos de equilíbrio fora da origem \_\_\_\_\_ 0.4
- Alínea *a* \_\_\_\_\_ 0.6
- Alínea *b* \_\_\_\_\_ 0.6
- Alínea *c* \_\_\_\_\_ 0.6
- Alínea *d* \_\_\_\_\_ 0.6

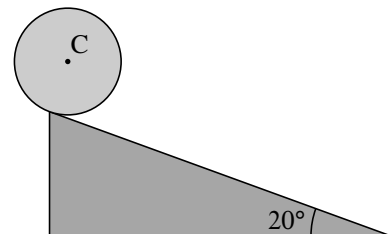
## **2.2 Exame de época de recurso**

O exame realizou-se no dia 12 de julho de 2016. Compareceram 66 estudantes e a nota média foi 9.3 valores. A seguir mostra-se o enunciado de uma das cinco versões. Nas outras versões mudam os valores numéricos, a ordem das perguntas e alguns pormenores que não alteram significativamente as perguntas.

Nome: \_\_\_\_\_

**Duração 2 horas. Prova com consulta de formulário e uso de computador.** O formulário pode ocupar apenas uma folha A4 (frente e verso) e o computador pode ser usado unicamente para realizar cálculos e não para consultar apontamentos ou comunicar com outros! Use  $g = 9.8 \text{ m/s}^2$ .

1. (4 valores) Um berlinde de vidro, esférico e homogéneo, tem raio  $R = 5 \text{ mm}$  e pesa  $13.3 \text{ mN}$ . O berlinde desce uma rampa muito comprida, inclinada  $20^\circ$  em relação à horizontal, rodando sem derrapar. A resistência do ar produz uma força igual a  $\pi \rho R^2 v^2 / 4$ , onde  $v$  é a velocidade do centro da esfera e  $\rho$  é a massa volúmica do ar, igual a  $1.2 \text{ kg/m}^3$ ; essa força atua no sentido oposto da velocidade e à altura do centro C da esfera. Determine a expressão da aceleração do centro da esfera em função da sua velocidade  $v$  (o momento de inércia duma esfera homogénea é  $I_{\text{cm}} = 2 m R^2 / 5$ ). Determine a velocidade máxima que atingirá o berlinde após descer vários metros (velocidade terminal).



2. (4 valores) (a) A expressão da aceleração tangencial dum objeto é:

$$a_t = 4 - s^2 - 5 \dot{s} + s \ddot{s}$$

onde  $s$  é a sua posição na trajetória. Determine os pontos de equilíbrio do sistema, no espaço de fase, e demonstre que tipo de pontos são (foco, nó, etc., atrativo ou repulsivo). (b) Ignorando os termos que dependem de  $\dot{s}$  obtém-se  $a_t = 4 - s^2$ , que corresponde a um sistema conservativo. Determine a expressão da energia potencial deste sistema, por unidade de massa (ou seja, admitindo  $m = 1$ ). Trace o gráfico dessa função e com base nele identifique os pontos de equilíbrio deste sistema conservativo e explique se tem ciclos ou órbitas homoclínicas ou heteroclínicas.

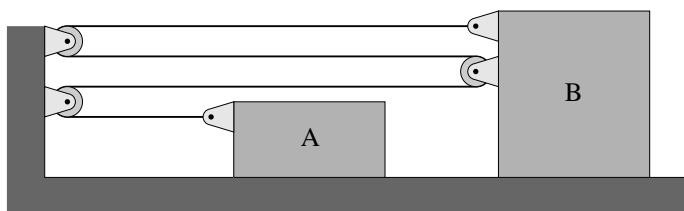
**PERGUNTAS.** Respostas certas, 0.8 valores, erradas, -0.2, em branco, 0.

3. Um projétil é lançado desde um telhado a  $5.6 \text{ m}$  de altura, com velocidade de  $12 \text{ m/s}$ , inclinada  $30^\circ$  por cima da horizontal. Desprezando a resistência do ar, calcule o tempo que o projétil demora até bater no chão.

- (A) 0.93 s                      (C) 1.59 s                      (E) 2.24 s  
(B) 1.84 s                      (D) 1.22 s

Resposta:

4. Se o bloco B se desloca para a direita com velocidade de valor  $v$ , qual é o valor da velocidade (para a esquerda) do bloco A?



- (A)  $v/3$                       (C)  $v$                       (E)  $v/2$   
(B)  $2v$                       (D)  $3v$

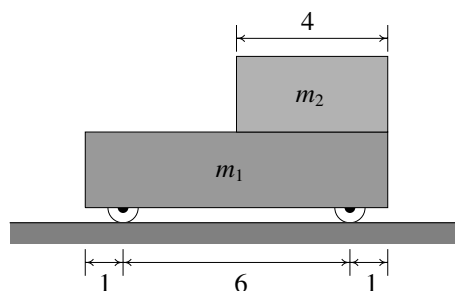
Resposta:

5. O momento de inércia dum disco homogéneo de  $10 \text{ cm}$  de raio é  $5.2 \times 10^{-3} \text{ kg}\cdot\text{m}^2$ . Determine o valor da força tangencial que deve ser aplicada na periferia do disco, para produzir uma aceleração angular de  $-6 \text{ rad/s}^2$ .

- (A) 1.25 N                      (C) 0.62 N                      (E) 0.12 N  
(B) 0.31 N                      (D) 0.21 N

Resposta:

6. As distâncias na figura são em cm e o sistema está em repouso. O carrinho, incluindo as rodas, tem massa  $m_1 = 100 \text{ g}$ , distribuída uniformemente, e o bloco de cima tem massa  $m_2 = 315 \text{ g}$ , também distribuída uniformemente. Determine o valor da reação normal total nas rodas do lado esquerdo.



- (A) 0.678 N                      (C) 1.005 N                      (E) 1.356 N  
(B) 1.543 N                      (D) 2.034 N

Resposta:

7. A força tangencial resultante sobre uma partícula é  $F_t = (s + 1)(s - 1)(3 - s)$ . Qual das seguintes afirmações é verdadeira, em relação aos pontos de equilíbrio da partícula?

- (A)  $s = -1$  é instável e  $s = 3$  é estável.  
(B)  $s = -1$  é estável e  $s = 3$  é instável.  
(C)  $s = -1$  e  $s = 1$  são instáveis.  
(D)  $s = 1$  é estável e  $s = 3$  é instável.  
(E)  $s = 1$  é instável e  $s = 3$  é estável.

Resposta:

8. O sistema dinâmico não linear:

$$\dot{x} = xy - 4x + y - 4 \quad \dot{y} = xy + x - 1y - 1$$

tem um ponto de equilíbrio em  $x = 1, y = 4$ . Qual é o sistema linear que aproxima o sistema não linear na vizinhança desse ponto de equilíbrio?

- (A)  $\dot{x} = -5y \quad \dot{y} = -2x$  (D)  $\dot{x} = -2y \quad \dot{y} = 5x$   
 (B)  $\dot{x} = 5y \quad \dot{y} = -2x$  (E)  $\dot{x} = 2y \quad \dot{y} = 5x$   
 (C)  $\dot{x} = 5y \quad \dot{y} = 2x$

Resposta: ☐

9. Qual das seguintes equações poderia ser uma das equações de evolução num sistema predador presa?

- (A)  $\dot{y} = 2y - 5y^2$  (D)  $\dot{y} = 6y + xy$   
 (B)  $\dot{y} = x + xy^2$  (E)  $\dot{y} = 6y - y^2$   
 (C)  $\dot{y} = 2y^2 - 3y$

Resposta: ☐

10. A aceleração tangencial dum objeto verifica a expressão  $a_t = 3s^4$  (unidades SI), em que  $s$  é a posição na trajetória. Se o objeto parte do repouso em  $s = 1$  m, determine o valor absoluto da sua velocidade em  $s = 2$  m.

- (A) 6.1 m/s (C) 4.27 m/s (E) 9.8 m/s  
 (B) 2.45 m/s (D) 7.95 m/s

Resposta: ☐

11. Um ciclista demora 44 s a percorrer 400 m, numa pista reta e horizontal, com velocidade uniforme. Sabendo que o raio das rodas da bicicleta é 27.2 cm e admitindo que as rodas não deslizam sobre a pista, determine o valor da velocidade angular das rodas.

- (A) 33.4 rad/s (C) 16.7 rad/s (E) 20.9 rad/s  
 (B) 29.2 rad/s (D) 25.1 rad/s

Resposta: ☐

12. Coloca-se um carrinho numa rampa a uma altura inicial  $h$  e deixa-se descer livremente, a partir do repouso, chegando ao fim da rampa (altura zero) com velocidade  $v$ . Admitindo que a energia mecânica do carrinho permanece constante (forças dissipativas desprezáveis, massa das rodas desprezável, etc) desde que altura inicial na rampa deveria ser largado o carrinho para que chegasse ao fim com velocidade  $3v$ ?

- (A)  $9h$  (C)  $3h$  (E)  $6h$   
 (B)  $h/3$  (D)  $h/9$

Resposta: ☐

13. As equações de evolução dum sistema linear são:

$$\dot{x} = x + 2y \quad \dot{y} = x + y$$

Que tipo de ponto de equilíbrio é o ponto  $(x, y) = (0, 0)$ ?

- (A) Ponto de sela. (D) Centro.  
 (B) Foco atrativo. (E) Nó repulsivo.  
 (C) Foco repulsivo.

Resposta: ☐

14. Quando se liga um PC, o disco rígido demora 3.6 s, a partir do repouso, até alcançar a velocidade normal de operação de 7200 rotações por minuto. Admitindo aceleração angular constante durante esse intervalo, determine o valor da aceleração angular

- (A) 419 rad/s<sup>2</sup> (C) 279 rad/s<sup>2</sup> (E) 838 rad/s<sup>2</sup>  
 (B) 209 rad/s<sup>2</sup> (D) 182 rad/s<sup>2</sup>

Resposta: ☐

15. O espaço de fase dum sistema dinâmico é o plano  $xy$ . Em coordenadas polares, as equações de evolução são  $\dot{\theta} = -3$ ,  $\dot{r} = r^3 + 3r^2 + 2r$ . Quantos ciclos limite tem o sistema?

- (A) 1 (C) 2 (E) 3  
 (B) 4 (D) 0

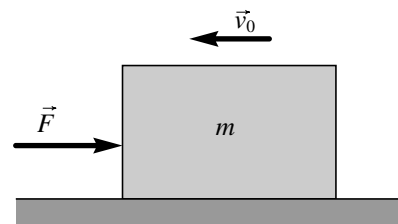
Resposta: ☐

16. As expressões das energias cinética e potencial dum sistema conservativo com dois graus de liberdade,  $x$  e  $\theta$ , são:  $E_c = 7\dot{x}^2 + 5\dot{\theta}^2$  e  $U = -11x\theta$ . Encontre a expressão da aceleração  $\ddot{\theta}$ .

- (A)  $\frac{11}{7}x\theta$  (C)  $\frac{11}{10}\theta$  (E)  $\frac{11}{10}x\theta$   
 (B)  $\frac{11}{10}x$  (D)  $\frac{11}{7}x$

Resposta: ☐

17. O bloco na figura, com massa igual a 2 kg, desloca-se para a esquerda, com velocidade inicial  $\vec{v}_0$ , sobre uma superfície horizontal. Sobre o bloco atua uma força externa  $\vec{F}$ , horizontal e constante, com módulo igual a 10 N. O coeficiente de atrito cinético entre o bloco e a superfície é igual a 0.25. Calcule o módulo da aceleração do bloco.



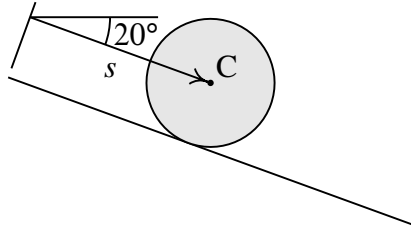
- (A) 5.1 m/s<sup>2</sup> (C) 2.55 m/s<sup>2</sup> (E) 14.9 m/s<sup>2</sup>  
 (B) 5.8 m/s<sup>2</sup> (D) 7.45 m/s<sup>2</sup>

Resposta: ☐



### 2.2.2 Resolução

**Problema 1.** Para descrever o movimento do centro C do berlinde basta uma variável,  $s$ , que pode ser a distância desde o topo do plano inclinado:



Como o berlinde roda sem derrapar, a sua velocidade angular  $\omega$  é no sentido dos ponteiros do relógio e com valor igual à velocidade do seu centro,  $v = \dot{s}$ , dividida pelo raio  $R$ :

$$\omega = \frac{v}{R}$$

O sistema tem então um único grau de liberdade,  $s$ , e uma única velocidade generalizada,  $v$ .

**Resolução por mecânica de Lagrange.** A expressão da energia cinética do berlinde é:

$$E_c = \frac{m}{2} v^2 + \frac{1}{2} \left( \frac{2 m R^2}{5} \right) \omega^2 = \frac{7 m}{10} v^2$$

E a expressão da energia potencial gravítica (arbitrando 0 quando  $s = 0$ ) é:

$$U = -m g s \sin(20^\circ)$$

A expressão da força de resistência do ar é:

$$\vec{F}_r = -\frac{\pi}{4} \rho R^2 v^2 \hat{e}_t$$

onde  $\hat{e}_t$  é o versor tangencial, no sentido em que  $s$  aumenta. O ponto de aplicação dessa força pode ser considerado igual à posição do centro C do berlinde, que em função do grau de liberdade é igual a:

$$\vec{r}_C = s \hat{e}_t$$

Como tal, a força generalizada é então:

$$Q = \vec{F}_r \cdot \frac{\partial \vec{r}_C}{\partial s} = \left( -\frac{\pi}{4} \rho R^2 v^2 \hat{e}_t \right) \cdot \hat{e}_t = -\frac{\pi}{4} \rho R^2 v^2$$

E a equação de Laplace é:

$$\frac{d}{dt} \left( \frac{\partial E_c}{\partial v} \right) - \frac{\partial E_c}{\partial s} + \frac{\partial U}{\partial s} = Q \implies \frac{7m}{5} a_t - mg \sin(20^\circ) = -\frac{\pi}{4} \rho R^2 v^2$$

A expressão da aceleração do berlinde é então,

$$a_t = \frac{5g}{7} \sin(20^\circ) - \frac{5\pi \rho R^2}{28m} v^2$$

E substituindo os valores (em unidades SI) de  $g = 9.8$ , da massa  $m = 0.0133/9.8$ , do raio  $R = 0.005$  e da massa volúmica do ar,  $\rho = 1.2$ , obtém-se a expressão

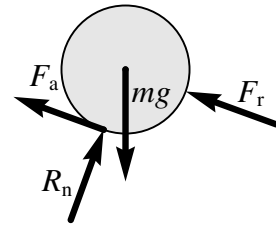
$$a_t = 2.394 - 1.240 \times 10^{-2} v^2$$

Como tal, a velocidade terminal (quando a aceleração tangencial for nula) é igual a:

$$v = \sqrt{\frac{2.394}{1.240 \times 10^{-2}}} = 13.9 \frac{\text{m}}{\text{s}}$$

Quando a velocidade do centro do berlinde é menor que a velocidade terminal, a aceleração tangencial é positiva e a velocidade aumenta. Se a velocidade fosse maior do que a velocidade terminal, a aceleração tangencial seria negativa e a velocidade diminuiria. Após um percurso suficientemente comprido, a velocidade do centro do berlinde atingirá sempre um valor igual à velocidade terminal.

**Resolução por mecânica vetorial.** A figura ao lado mostra o diagrama de corpo livre do berlinde, onde  $R_n$  é a reação normal,  $F_a$  a força de atrito estático e  $F_r = \pi \rho R^2 v^2 / 4$  a força de resistência do ar. A expressão da soma das componentes das forças, na direção tangencial, é:



$$mg \sin(20^\circ) - F_a - \frac{\pi}{4} \rho R^2 v^2 = m a_t$$

A única força que produz momento em relação ao centro de massa, no sentido dos ponteiros do relógio, é a força de atrito estático. Como tal, a expressão da soma dos momentos em relação ao centro de massa é:

$$F_a R = \left( \frac{2mR^2}{5} \right) \alpha \implies F_a = \frac{2}{5} m R \alpha$$

Substituindo esta última expressão na equação anterior, e tendo em conta que como o berlinde não roda então  $R \alpha = a_t$ , obtém-se a mesma expressão da aceleração já obtida pelo método de mecânica de Lagrange.

**Problema 2.** (a) As equações de evolução são o seguinte sistema de equações:

$$\dot{s} = v \quad \dot{v} = 4 - s^2 - 5v + sv$$

E os pontos de equilíbrio são as soluções das duas equações:

$$v = 0 \quad 4 - s^2 = 0$$

Como tal, há dois pontos de equilíbrio  $(s, v)$ :

$$P_1 = (-2, 0) \quad P_2 = (2, 0)$$

Derivando as duas expressões das equações de evolução, obtém-se a matriz jacobiana:

$$\mathbf{J} = \begin{bmatrix} 0 & 1 \\ -2s & -5 + s \end{bmatrix}$$

No ponto  $P_1$ , a matriz da aproximação linear é então,

$$\mathbf{A}_1 = \begin{bmatrix} 0 & 1 \\ 4 & -7 \end{bmatrix}$$

que tem determinante igual a  $-4$ , ou seja,  $P_1$  é ponto de sela.

No ponto  $P_2$ , a matriz da aproximação linear é:

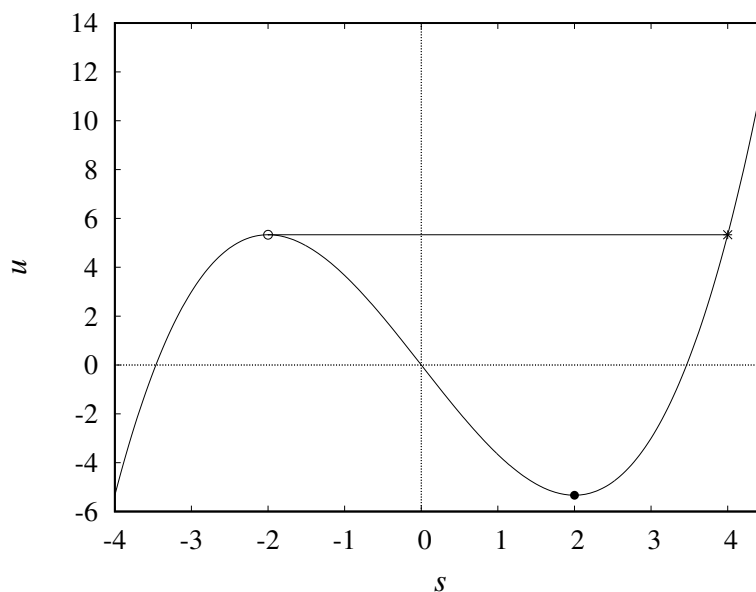
$$\mathbf{A}_2 = \begin{bmatrix} 0 & 1 \\ -4 & -3 \end{bmatrix}$$

E a respetiva equação de valores próprios é  $\lambda^2 + 3\lambda + 4 = 0$ . Conclui-se então que os valores próprios são  $-3/2 \pm i\sqrt{7}/2$  e  $P_2$  é foco atrativo.

(b) A energia potencial, por unidade de massa, obtém-se a partir da expressão:

$$u = \frac{U}{m} = - \int a_t ds = \int (s^2 - 4) ds = \frac{s^3}{3} - 4s$$

Os pontos de equilíbrio encontram-se em  $s_1 = -2$  e  $s_2 = 2$ . O gráfico da função  $u$ , mostrando os dois pontos de equilíbrio, é o seguinte:



O ponto  $s_1$ , máximo local, é instável (ponto de sela) e o ponto  $s_2$ , mínimo local, é estável (centro). Existem ciclos quando a energia mecânica, por unidade de massa, estiver compreendida entre  $-16/3$  e  $16/3$  (valores de  $u$  em  $s_2$  e  $s_1$ ). A reta horizontal apresentada no gráfico, entre o ponto de sela e um ponto de retorno, corresponde a uma órbita homoclínica. Ou seja, este sistema não tem nenhuma órbita heteroclínica, tem uma única órbita homoclínica e infinitos ciclos: todas as curvas de evolução dentro da órbita homoclínica, no espaço de fase.

### Perguntas

- |       |       |
|-------|-------|
| 3. B  | 11. A |
| 4. D  | 12. A |
| 5. B  | 13. A |
| 6. C  | 14. B |
| 7. E  | 15. D |
| 8. E  | 16. B |
| 9. D  | 17. D |
| 10. A |       |

### 2.2.3 Cotações

#### Problema 1

Mecânica de Lagrange.

- Determinação do grau de liberdade e relação entre  $v$  e  $\omega$  \_\_\_\_\_ 10% (0.4)
- Expressão da energia cinética \_\_\_\_\_ 20% (0.8)
- Expressão da energia potencial \_\_\_\_\_ 20% (0.8)
- Expressão da força generalizada \_\_\_\_\_ 20% (0.8)
- Aplicação da equação de Lagrange para obter a equação de movimento 10% (0.4)
- Valor da aceleração, com unidades corretas \_\_\_\_\_ 10% (0.4)
- Obtenção da velocidade terminal \_\_\_\_\_ 10% (0.4)

Mecânica vetorial.

- Diagrama de corpo livre \_\_\_\_\_ 20% (0.8)

- Expressão da soma de forças tangenciais \_\_\_\_\_ 20% (0.8)
- Expressão da soma de momentos \_\_\_\_\_ 20% (0.8)
- Determinação da relação entre  $a_t$  e  $\alpha$  \_\_\_\_\_ 10% (0.4)
- Obtenção da expressão da força de atrito \_\_\_\_\_ 10% (0.4)
- Valor da aceleração, com unidades corretas \_\_\_\_\_ 10% (0.4)
- Obtenção da velocidade terminal \_\_\_\_\_ 10% (0.4)

**Problema 2**

- Obtenção das equações de evolução \_\_\_\_\_ 10% (0.4)
- Determinação dos 2 pontos de equilíbrio \_\_\_\_\_ 10% (0.4)
- Obtenção da matriz jacobiana \_\_\_\_\_ 10% (0.4)
- Caracterização do primeiro ponto de equilíbrio \_\_\_\_\_ 10% (0.4)
- Caracterização do segundo ponto de equilíbrio \_\_\_\_\_ 10% (0.4)
- Obtenção da expressão da energia potencial por unidade de massa \_\_\_\_\_ 20% (0.8)
- Gráfico da energia potencial por unidade de massa \_\_\_\_\_ 10% (0.4)
- Interpretação do gráfico (pontos de equilíbrio, ciclos e órbitas) \_\_\_\_\_ 20% (0.8)



# Bibliografia

- Acheson, D. (1997). *From calculus to chaos*. Oxford, UK: Oxford University Press.
- Alonso, M., & Finn, E. J. (1999). *Física*. Reading, MA, USA: Addison-Wesley.
- Antunes, F. (2012). *Mecânica Aplicada. Uma Abordagem Prática*. Lisboa, Portugal: Lidel, edições técnicas, Lda.
- Arnold, V. I. (1987). *Métodos Matemáticos da Mecânica Clássica*. Editora Mir: Moscovo, Rússia.
- Banks, B. W. (2000). *Differential Equations with Graphical and Numerical Methods*. Upper Saddle River, NJ, USA: Pearson.
- Beer, F. P., & Johnston Jr, E. R. (2006). *Mecânica vetorial para engenheiros: Dinâmica* (7a ed.). Rio de Janeiro, Brasil: McGraw-Hill editora.
- Blanchard, P., Devaney, R. L., & Hall, G. R. (1999). *Ecuaciones diferenciales*. México, DF, México: International Thomson Editores.
- Borelli, R. L., & S, C. C. (1998). *Differential equations: a modeling perspective*. México, DF, México: John Wiley & Sons, Inc.
- Devaney, R. L. (1992). *A first course in chaotic dynamical systems: theory and experiment*. USA: Westview Press.
- Edwards, C. H., & Penney, D. E. (2004). *Differential equations. computing and modeling* (3a ed.). Pearson Education, Inc.: New Jersey, USA.
- Farlow, S. J. (1994). *An introduction to Differential Equations and their Applications*. Singapore: McGraw-Hill.
- Fiedler-Ferrara, N., & Prado, C. P. C. (1994). *Caos: uma introdução*. São Paulo, Brasil: Editora Edgard Blücher.
- French, A. P. (1971). *Newtonian mechanics*. New York, NY, USA: W. W. Norton & Company.
- Galilei, G. (1638). *Dialogue Concerning Two New Sciences*. Itália: Publicado em: [http://galileoandeinstein.physics.virginia.edu/tns\\_draft/](http://galileoandeinstein.physics.virginia.edu/tns_draft/). (Tradução de 1914,

por H. Crew e A. de Salvio)

- Garcia, A. L. (2000). *Numerical methods for physics*. Englewood Cliffs, NJ, USA: Prentice-Hall.
- Gerthsen, C., Kneser, & Vogel, H. (1998). *Física* (2a ed.). Lisboa, Portugal: Fundação Calouste Gulbenkian.
- Gregory, R. D. (2006). *Classical mechanics*. Cambridge, UK: Cambridge University Press.
- Guckenheimer, J., & Holmes, P. (2002). *Nonlinear Oscillations, Dynamical Systems, and Bifurcations of Vector Fields*. Berlim, Alemanha: Springer-Verlag.
- Hand, L. N., & Finch, J. D. (1998). *Analytical mechanics*. Cambridge, UK: Cambridge University Press.
- José, J. V., & Saletan, E. J. (1998). *Classical dynamics: a contemporary approach*. Cambridge University Press: Cambridge, UK.
- Kallaher, M. J. (Ed.). (1999). *Revolutions in Differential Equations. Exploring ODEs with Modern Technology*. The Mathematical Association of America: Washington, DC, USA.
- Kibble, T. W. B., & Berkshire, F. H. (1996). *Classical Mechanics* (4a ed.). Essex, UK: Addison Wesley Longman.
- Kittel, C., Knight, W. D., & Ruderman, M. A. (1965). *Mechanics. berkeley physics course, volume 1*. New York, NY, USA: McGraw-Hill.
- Lynch, S. (2001). *Dynamical systems with applications using MAPLE*. Boston, MA, USA: Birkhäuser.
- Maxima Development Team. (2015). *Maxima Manual* (5.37.0 ed.).
- Meriam, J. L., & Kraige, L. G. (1998). *Engineering mechanics: Dynamics* (4a ed.). New York, NY, USA: John Wiley & Sons, Inc.
- Monteiro, L. H. A. (2002). *Sistemas Dinâmicos*. São Paulo, Brasil: Livraria da Física.
- Nayfeh, A. H., & Balachandran, B. (2004). *Applied nonlinear dynamics*. Weinheim, Alemanha: WILEY-VCH Verlag GmbH & Co.
- Newton, I. (1687). *Princípios Matemáticos da Filosofia Natural*. Lisboa, Portugal: Fundação Calouste Gulbenkian. (Tradução de J. R. Rodrigues, 2010)
- Redfern, D., Chandler, E., & Fell, R. N. (1997). *Macsyma ODE lab book*. Boston, MA, USA: Jones and Bartlett Publishers.
- Sanchez, D. A., Allen Jr., R. C., & Kyner, W. T. (1988). *Differential equations* (2a ed.). USA: Addison-Wesley.



- Solari, H. G., Natiello, M. A., & Mindlin, G. B. (1996). *Nonlinear dynamics*. Institute of Physics Publishing: Bristol, UK.
- Spiegel, M. R., Lipschutz, S., & Spellman, D. (2009). *Vector analysis*. New York, NY, USA: Mc Graw-Hill.
- Strogatz, S. H. (2000). *Nonlinear Dynamics and Chaos: With Applications to Physics, Biology, Chemistry and Engineering*. Cambridge, MA, USA: Perseus Books.
- Taylor, J. R. (2005). *Classical mechanics*. Sausalito, CA, USA: University Science Books.
- Thornton, S. T., & Marion, J. B. (2004). *Classical dynamics of particles and systems* (5a ed.). Belmont, USA: Thomson, Brooks/Cole.
- Villate, J. E. (2007). *Introdução aos sistemas dinâmicos: uma abordagem prática com máxima*. Porto, Portugal: Edição do autor.
- Villate, J. E. (2016). *Dinâmica e sistemas dinâmicos* (4a ed.). Porto, Portugal: Edição do autor.